

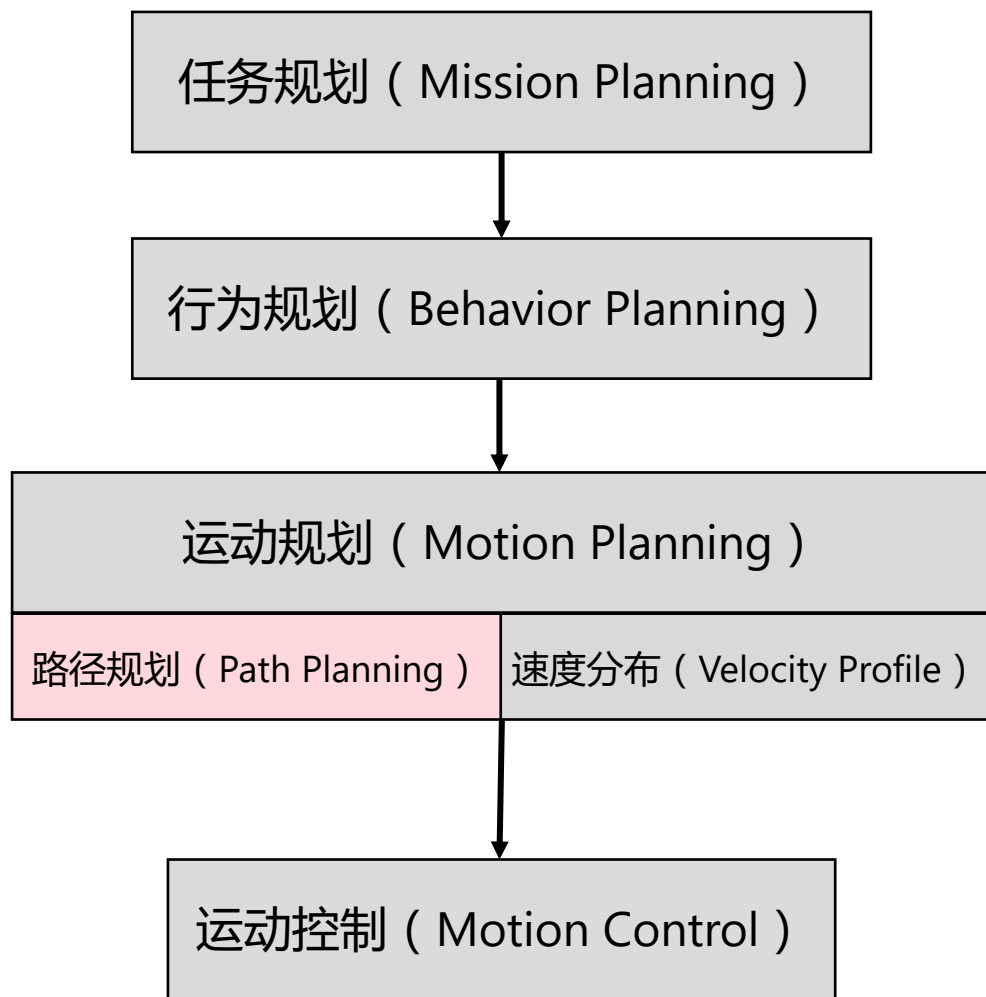


CS7355

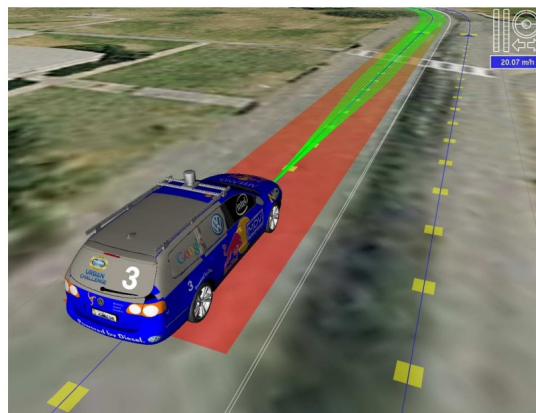
自动驾驶前沿技术

2024年4月24日

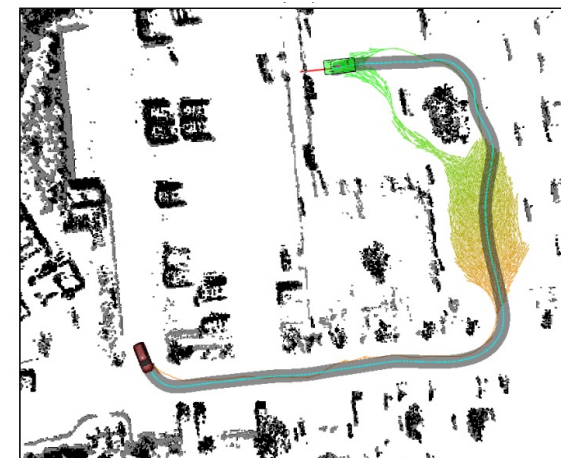
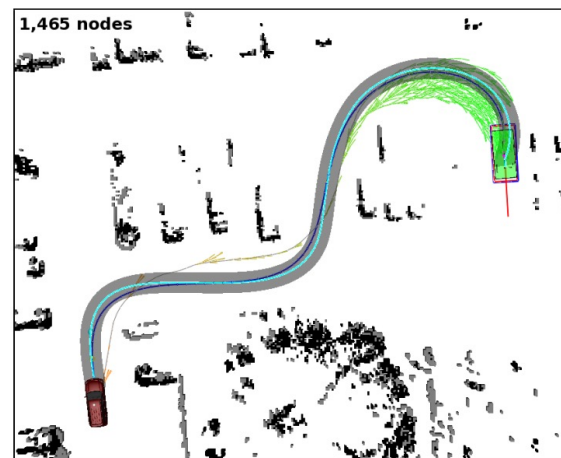
自动驾驶路径规划



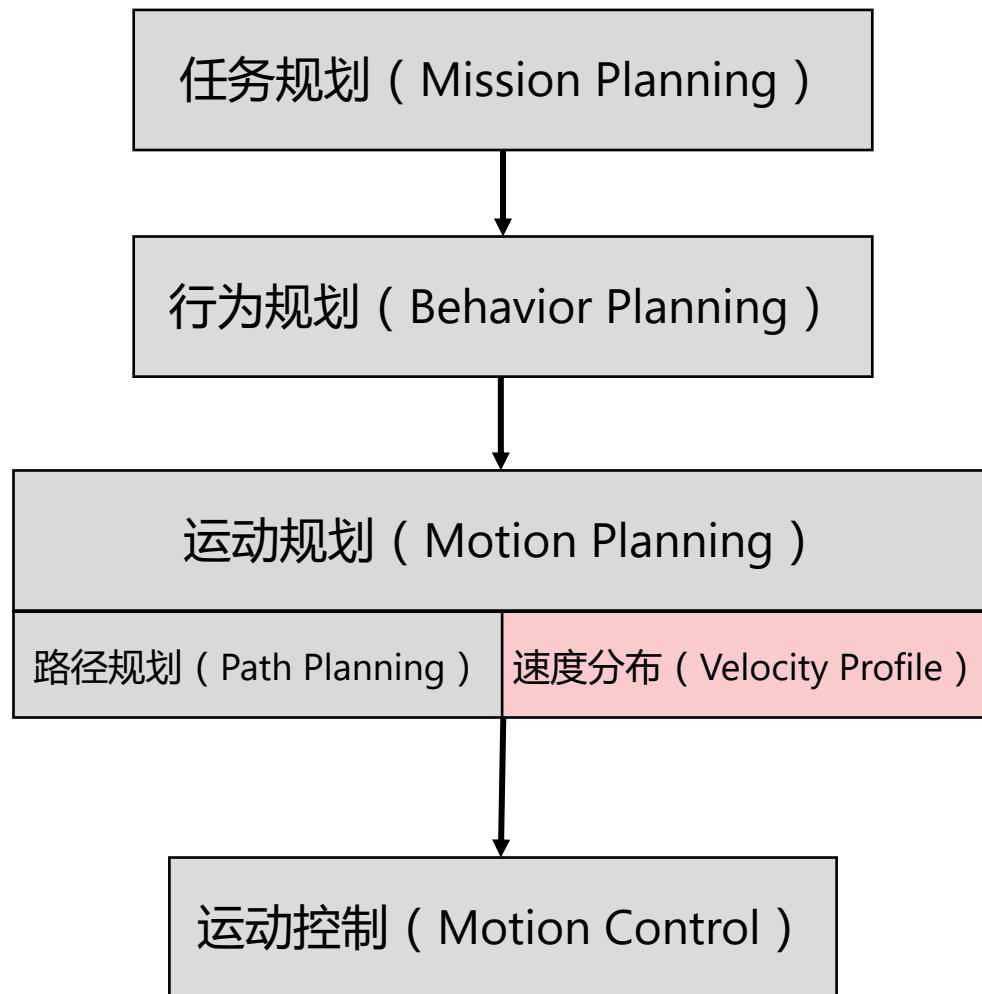
结构化场景 -> Conformal Lattice Planner



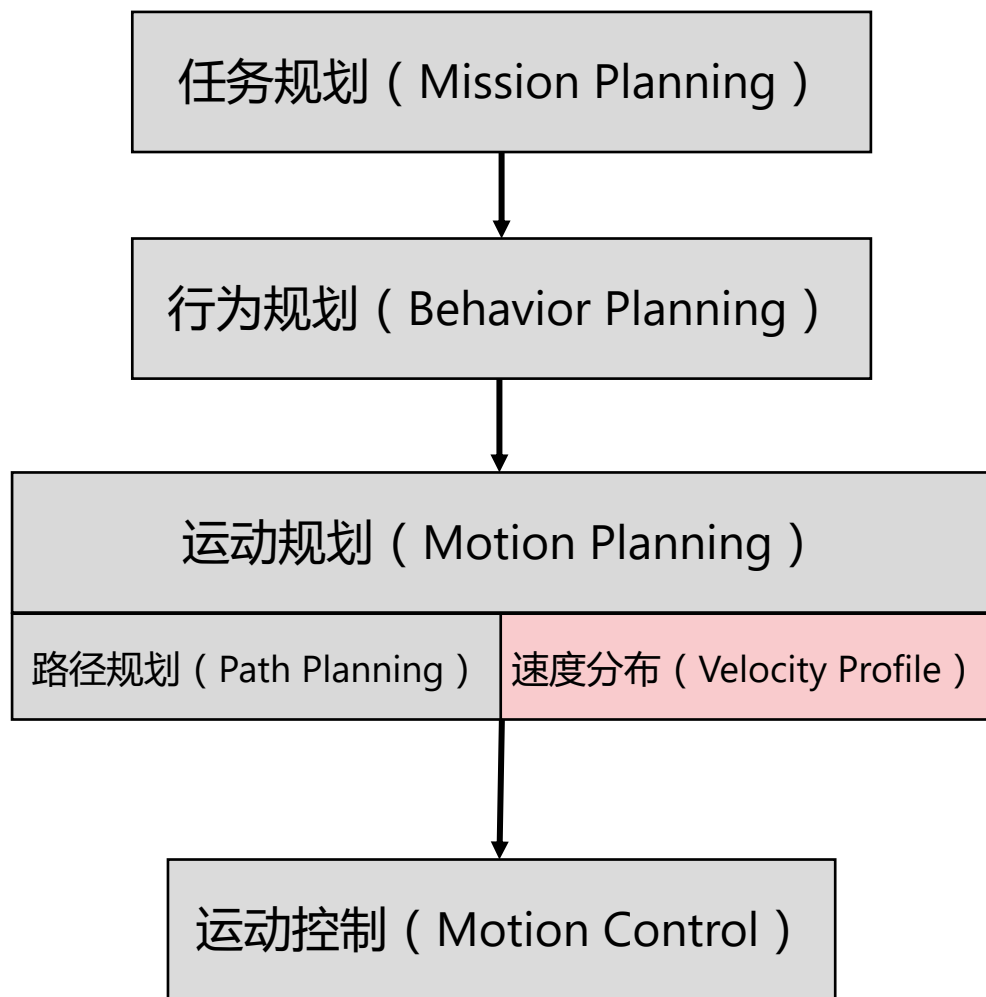
非结构化场景 -> Hybrid A* + 复合 heuristics



自动驾驶速度分布生成



自动驾驶速度分布生成



结构化场景

停车



启动



跟车、变道时与前车交互



结构化场景中的目标速度 – 影响因素 I

④ 参考速度 v_{ref}

- 由用户指定：“请开到 80 km/h”
- 受到道路限速的限制
- 收到交通管制装置的约束

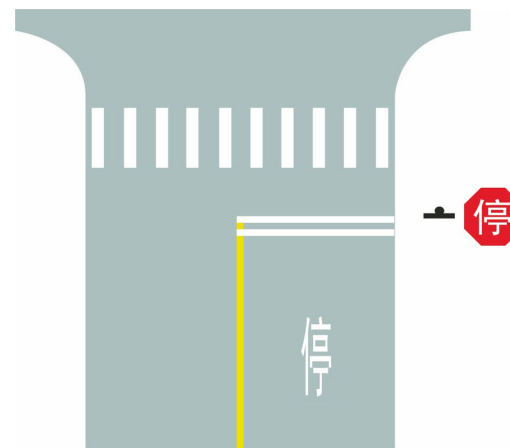
$$v_{ref} \leq 60 \text{ km/h}$$



$$v_{ref} = 0 \text{ km/h}$$



$$v_{ref} = 0 \text{ (持续2s)}$$



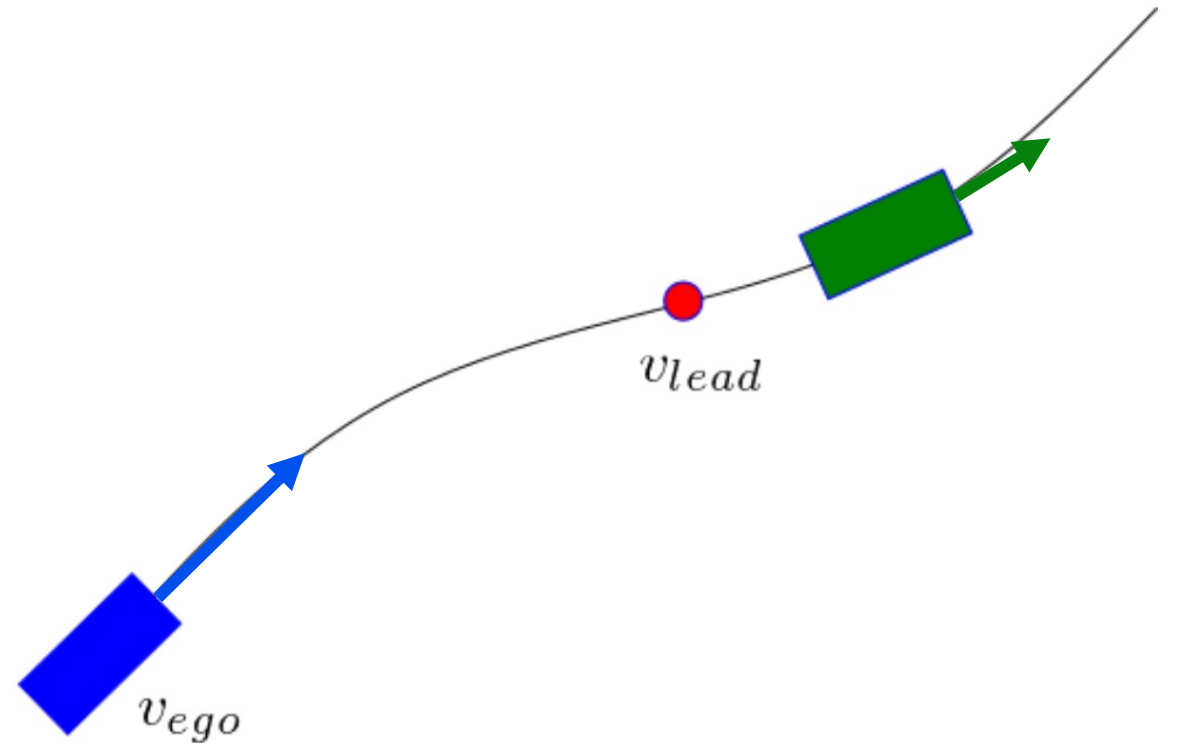
结构化场景中的目标速度 - 影响因素 II

④ 前车速度 v_{lead}

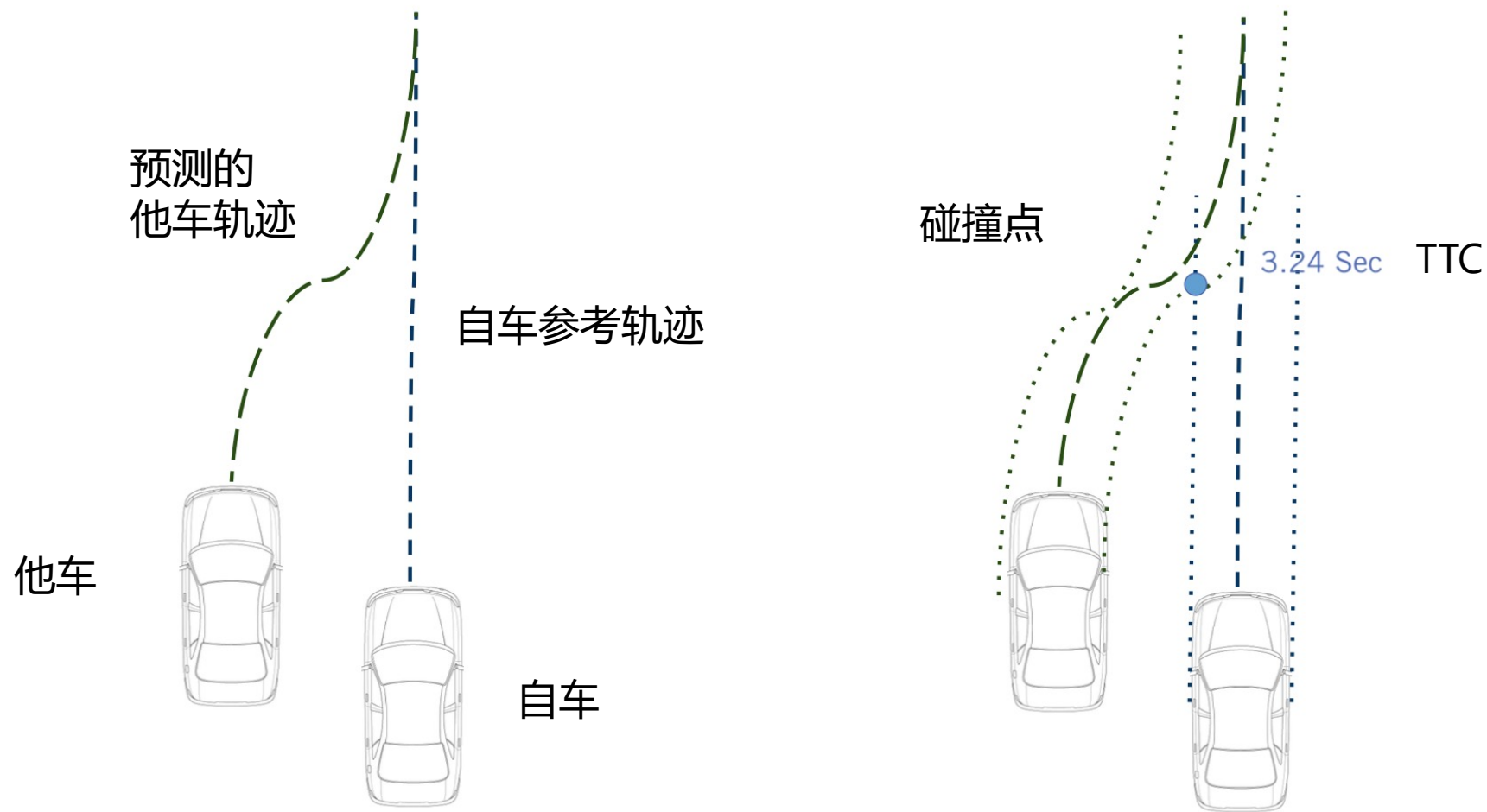
- 在自车到达前车尾部附近时，自车速度必须降到前车速度相同或者之下

④ 红点：

- 碰撞位置 (collision point)



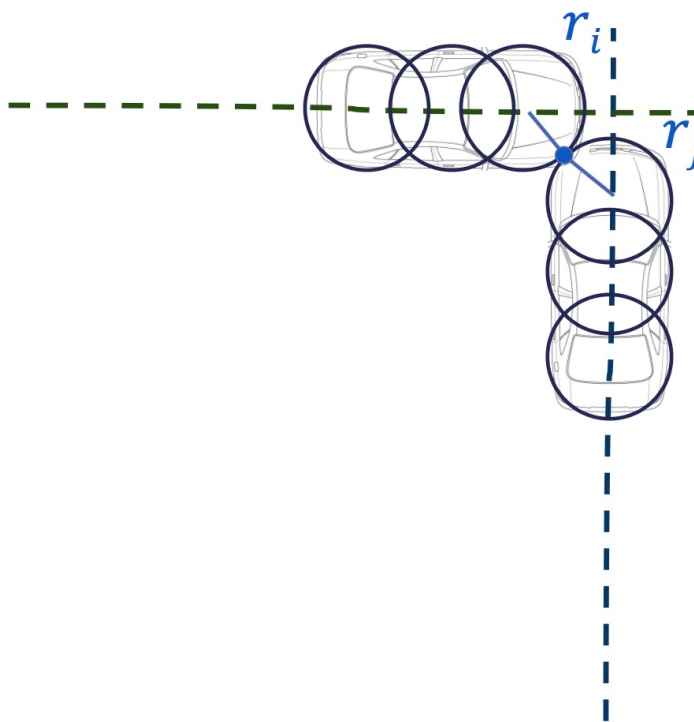
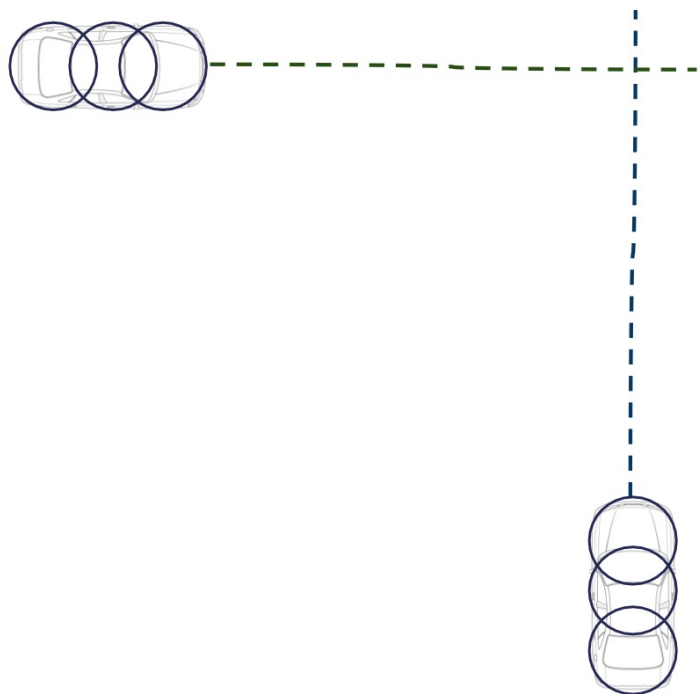
碰撞点 (Collision Point) 与碰撞时间 (Time-To-Collision)



碰撞点 (Collision Point) 与碰撞时间 (Time-To-Collision)

- ① 将车辆模拟成3个圆盘，按照预测轨迹向前模拟车的未来状态
- ② 在每一个时间步，进行碰撞检测
- ③ 当碰撞发生时，记录碰撞时间、碰撞点

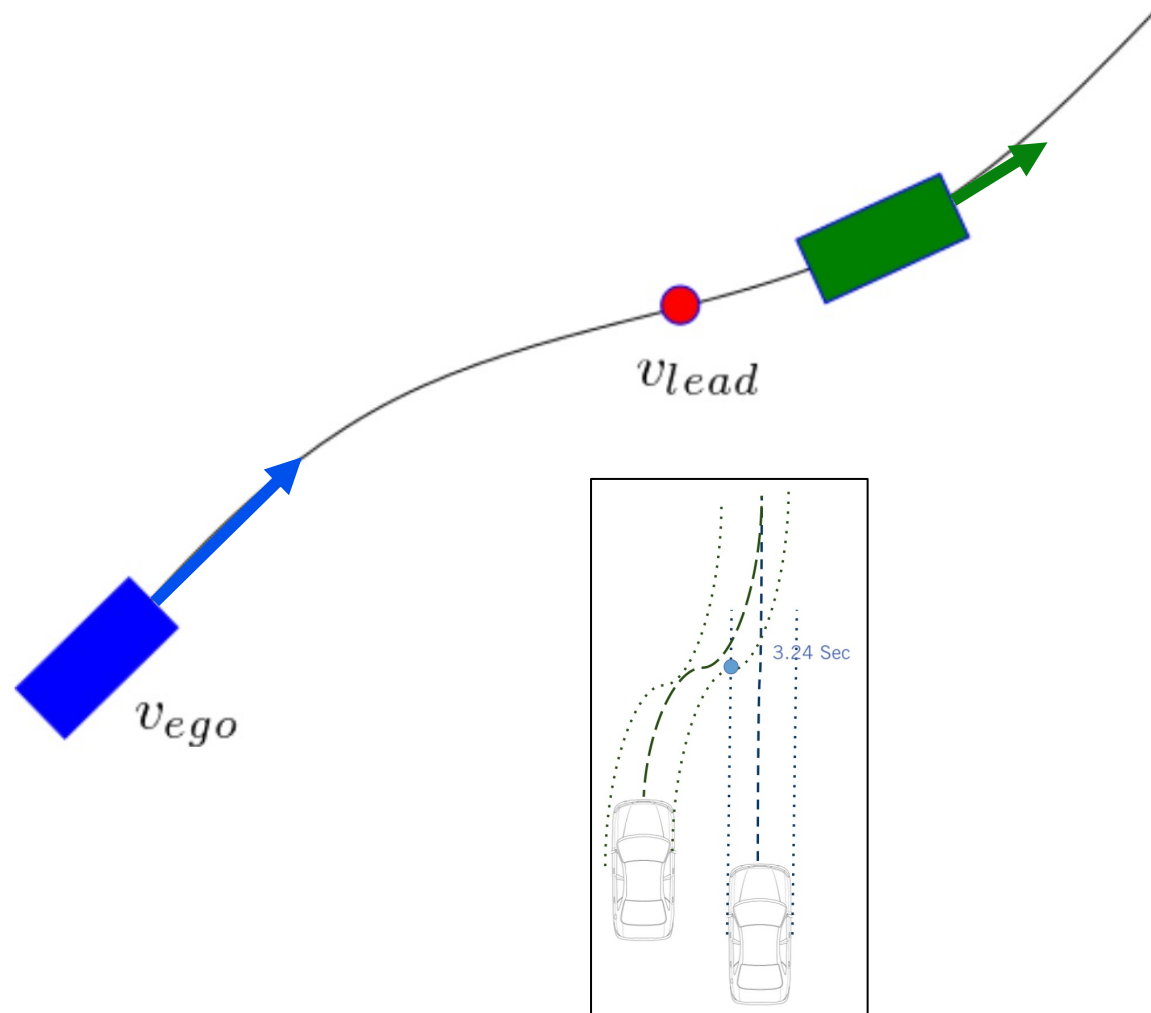
$$C_x = \frac{(x_i * r_j) + (x_j * r_i)}{(r_i + r_j)}, \quad C_y = \frac{(y_i * r_j) + (y_j * r_i)}{(r_i + r_j)}$$



结构化场景中的目标速度

① 前车速度 v_{lead}

- 在到达路径上的**碰撞点（红点）**时，自车速度必须降到与前车速度相同或者之下



结构化场景中的目标速度 – 影响因素 III

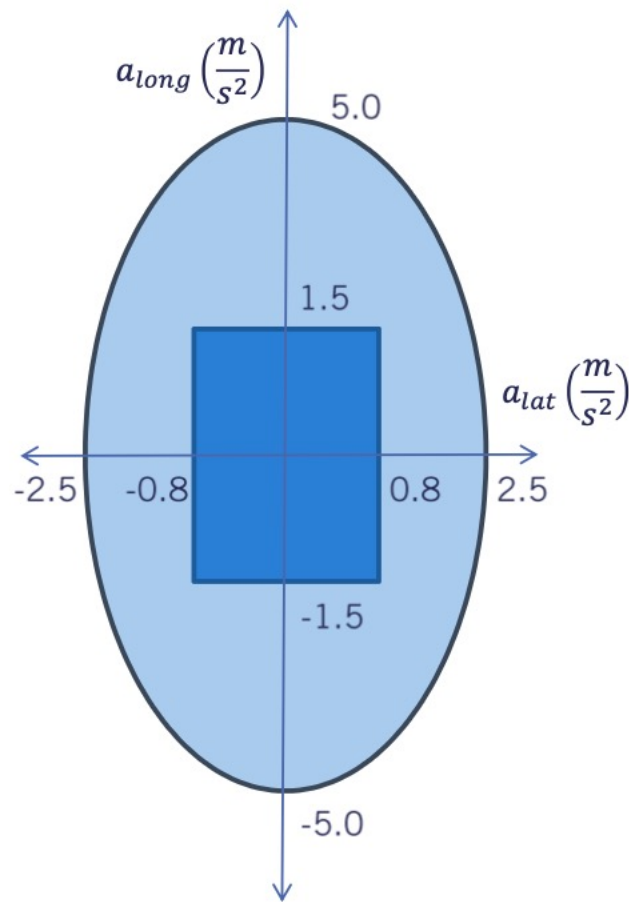
④ 运动学与动力学限制的最大速度 v_k

- **摩擦力椭圆**：车辆加速度在椭圆内不会导致打滑
- **舒适矩形**：车辆加速度在矩形内，乘客感到舒适
- 横向加速度限制 -> 纵向速度限制：
 - 车辆横向加速度与速度、转弯半径的关系：

$$a_{lat} = \frac{v^2}{r}, \quad a_{lat} \leq a_{lat_{max}}$$

- 根据曲率定义： $\kappa = \frac{1}{r}$

- 于是： $v^2 \leq \frac{a_{lat_{max}}}{\kappa}$



结构化场景中的目标速度分布

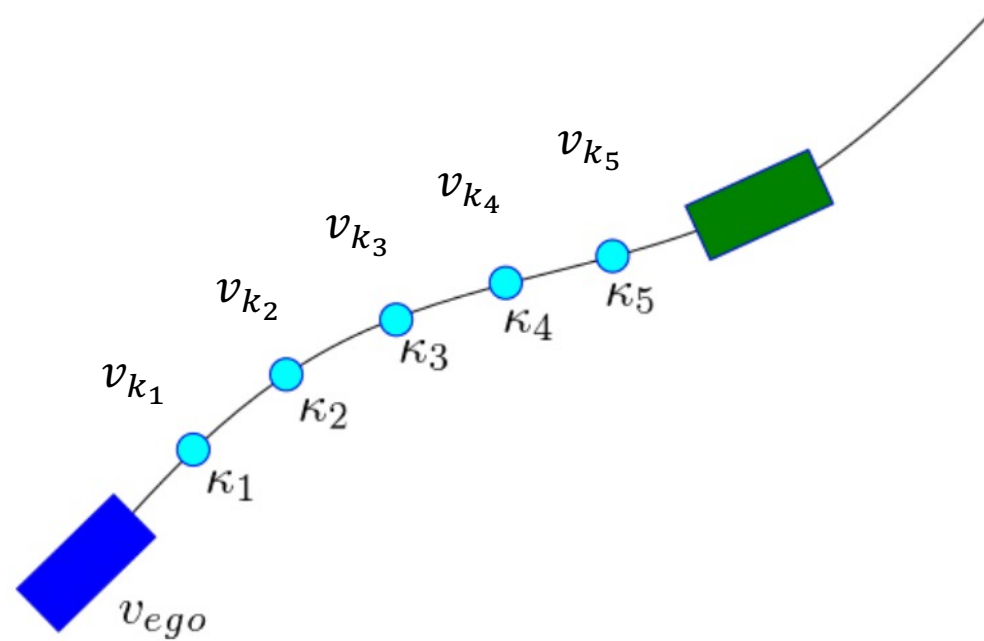
④ 运动学与动力学限制的最大速度 v_k

- 在轨迹上任意一个点，若当时的曲率是 κ_i ，那么：

$$v_k \leq \sqrt{\frac{a_{lat}}{\kappa_i}}$$

- 车辆在运动到第 i 个离散点时，必须满足：

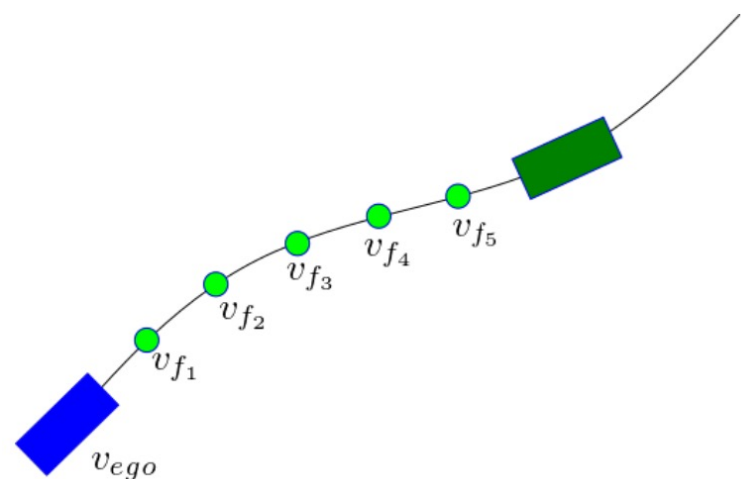
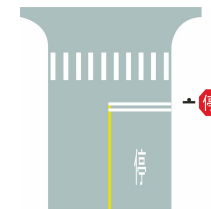
$$v \leq v_{k_i}$$



结构化场景中的目标速度分布

结合以上三项因素，可以算出最终目标速度 v_f ：

$$v_f = \min(v_{ref}, v_{lead}, v_k)$$

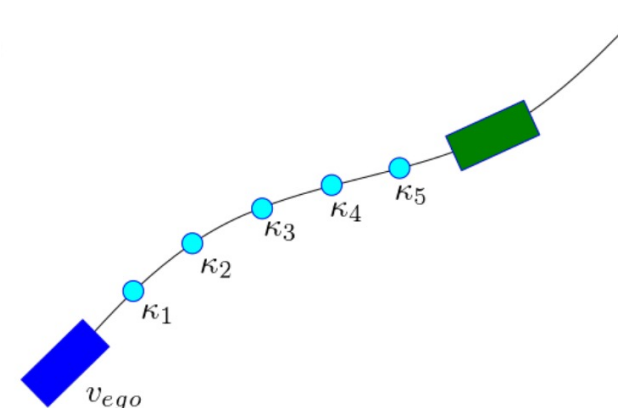
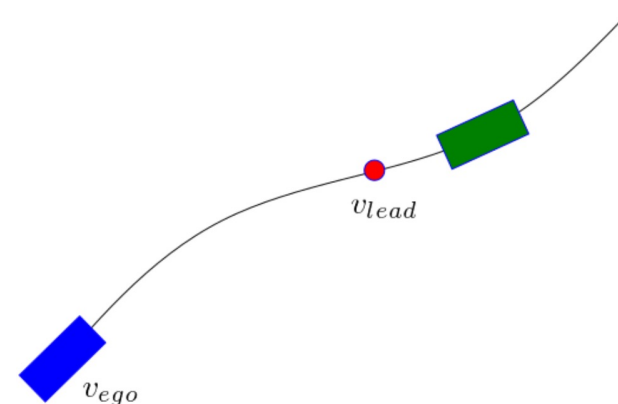


min

v_{ref}

v_{lead}

v_k



结构化场景中的速度曲线生成

① 在当前路径段内，将速度从 v_0 变化到 v_f

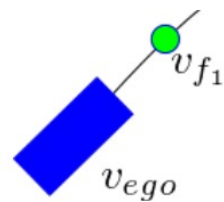
② **方法1**：线性斜坡曲线 (Linear Ramp Profile)

- 将 v_0 与 v_f 沿着弧长维度线性插值
- 需要的加速度可以计算为：

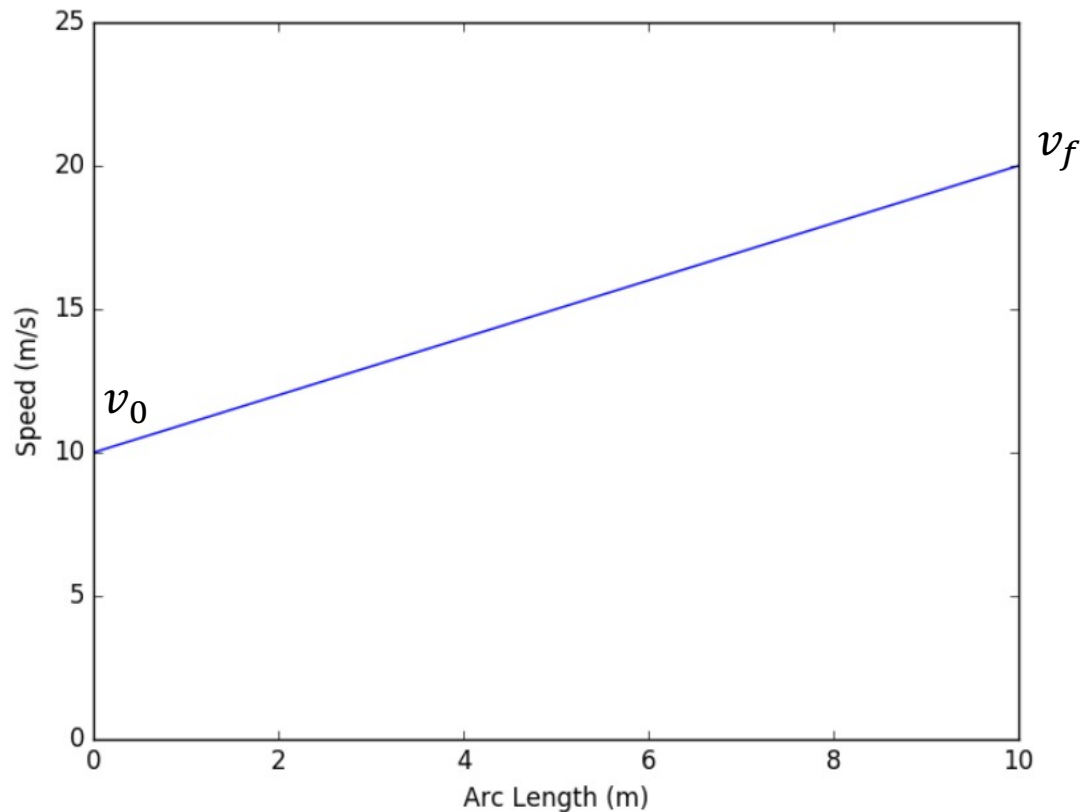
$$\frac{v_f^2 - v_0^2}{2s} = a$$

- 若达到最大加速度限制，则不一定能达到 v_f ：

$$\sqrt{2as + v_0^2} = v_f$$

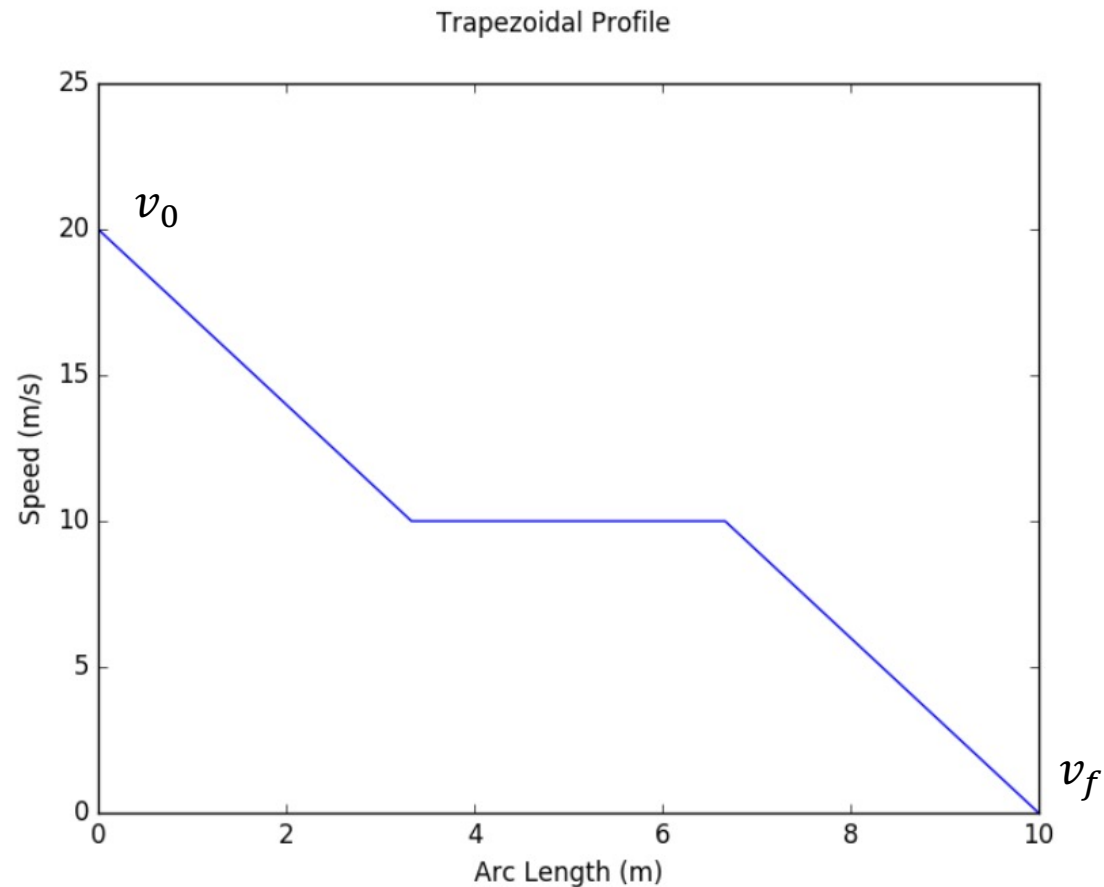


Linear Ramp Profile



结构化场景中的速度曲线生成

- ④ 在当前路径段内，将速度从 v_0 变化到 v_f
- ④ **方法2**：梯形曲线 (Trapezoidal Profile)
 - 匀加/减速-匀速-匀加/减速
 - 停车时适用



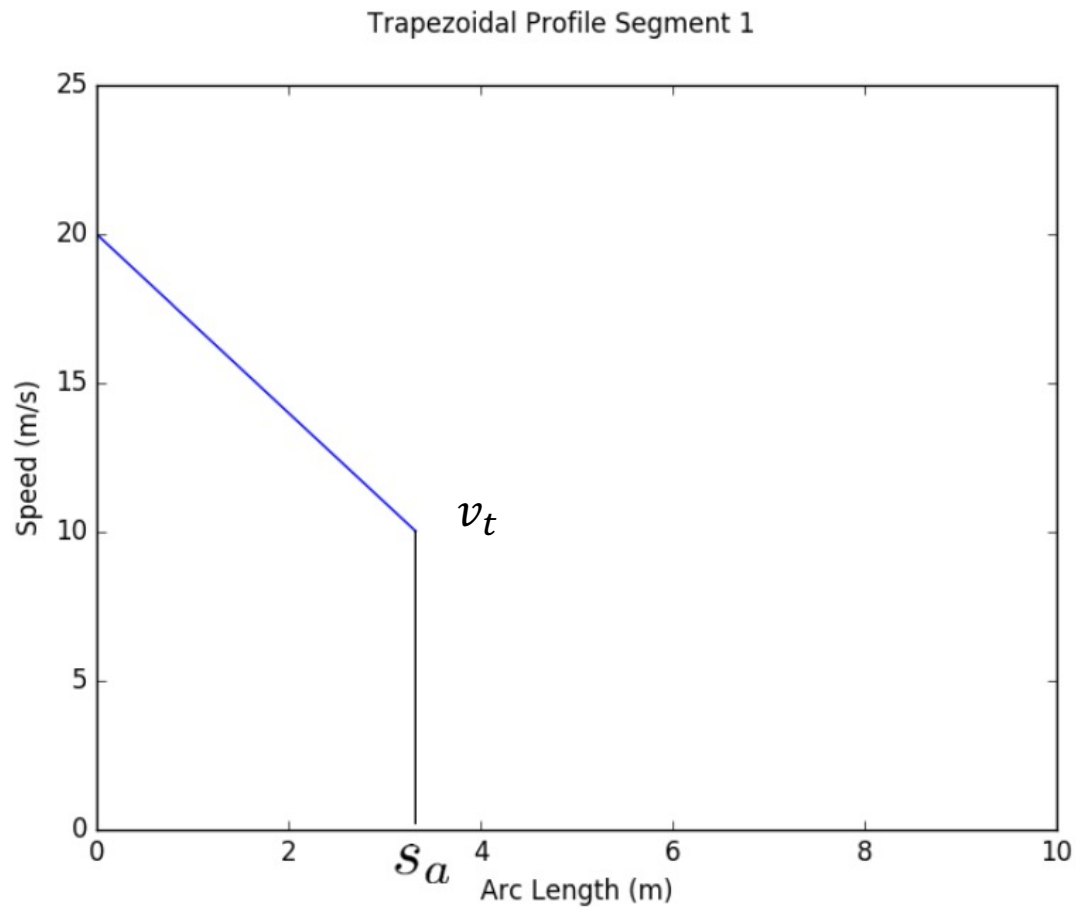
结构化场景中的速度曲线生成

① 在当前路径段内，将速度从 v_0 变化到 v_f

② **方法2**：梯形曲线 (Trapezoidal Profile)

- **第一段**：执行匀加速度 s_0 达到临时速度 v_t

$$\frac{v_t^2 - v_0^2}{2a_0} = s_a$$



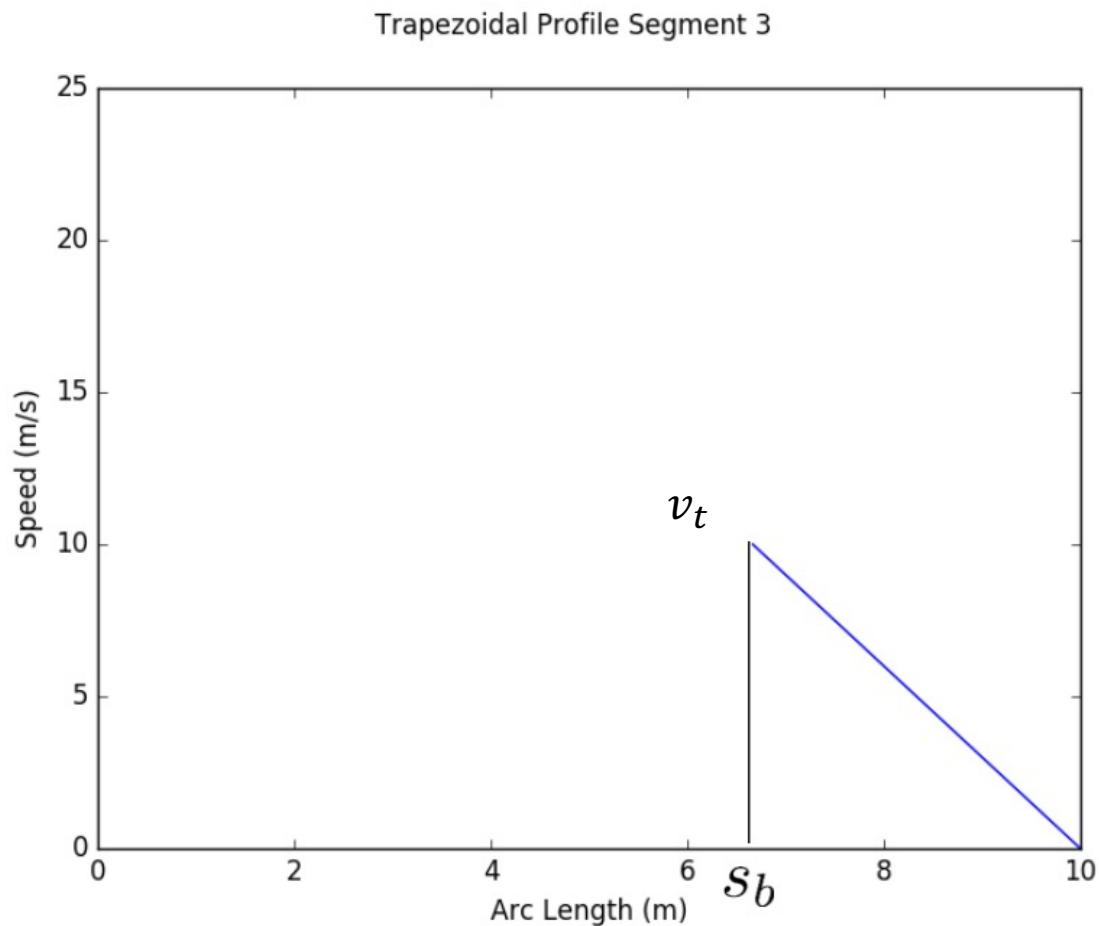
结构化场景中的速度曲线生成

④ 在当前路径段内，将速度从 v_0 变化到 v_f

④ **方法2**：梯形曲线 (Trapezoidal Profile)

- **第一段**：执行匀加速度 s_0 达到临时速度 v_t
- **第三段**：执行匀加速度 s_0 达到最终速度 0

$$\frac{0 - v_t^2}{2a_0} = s_f - s_b$$



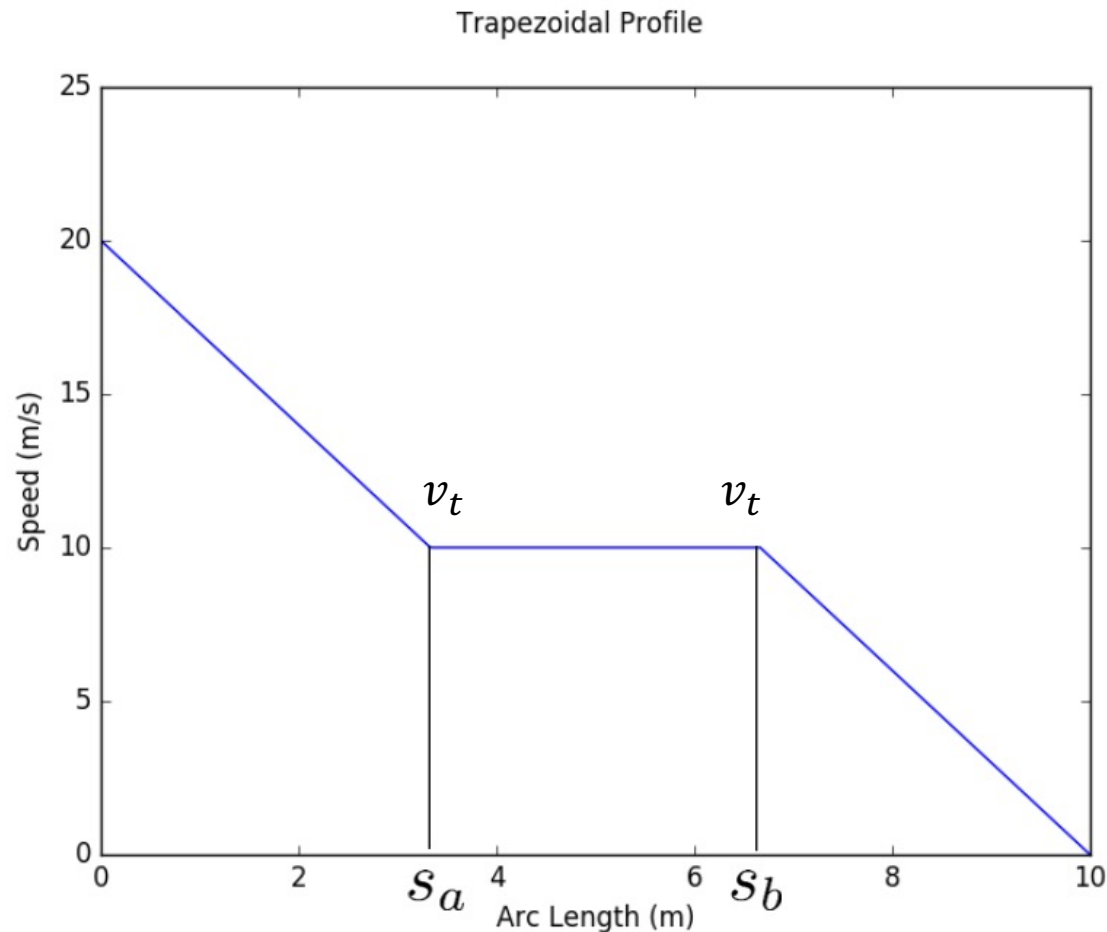
结构化场景中的速度曲线生成

④ 在当前路径段内，将速度从 v_0 变化到 v_f

④ **方法2**：梯形曲线 (Trapezoidal Profile)

- **第一段**：执行匀加速度 s_0 达到临时速度 v_t
- **第二段**：执行匀速运动
- **第三段**：执行匀加速度 s_0 达到最终速度 0

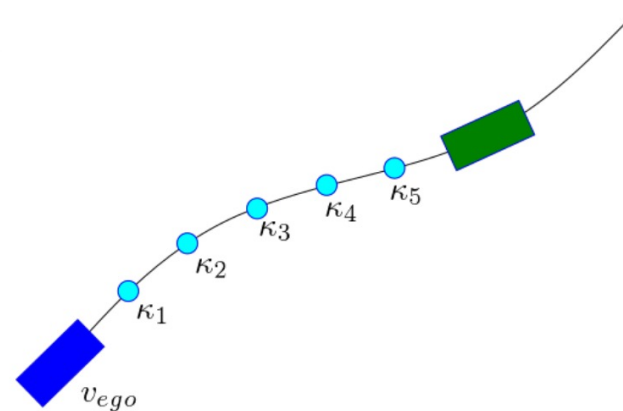
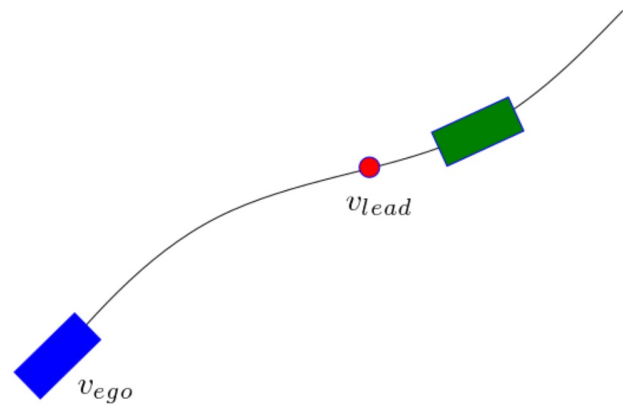
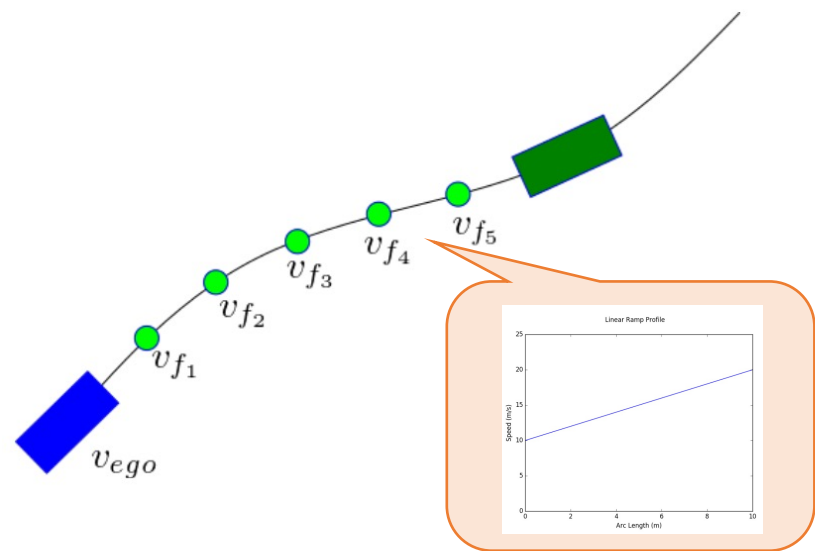
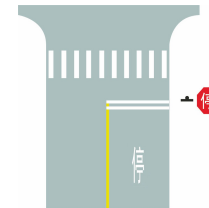
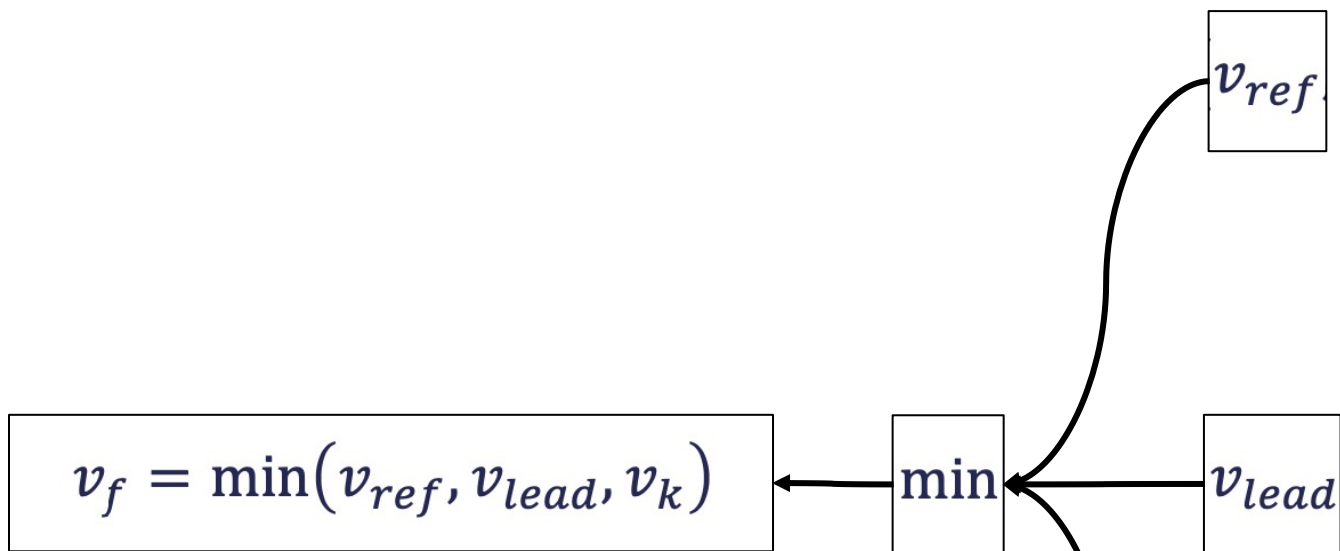
$$v_{fi} = \begin{cases} \sqrt{2a_0s_i + v_i^2}, & s_i \leq s_a \\ v_t, & s_a \leq s_i \leq s_b \\ \sqrt{2a_0(s_i - s_b) + v_i^2}, & s_b \leq s_i \leq s_f \end{cases}$$



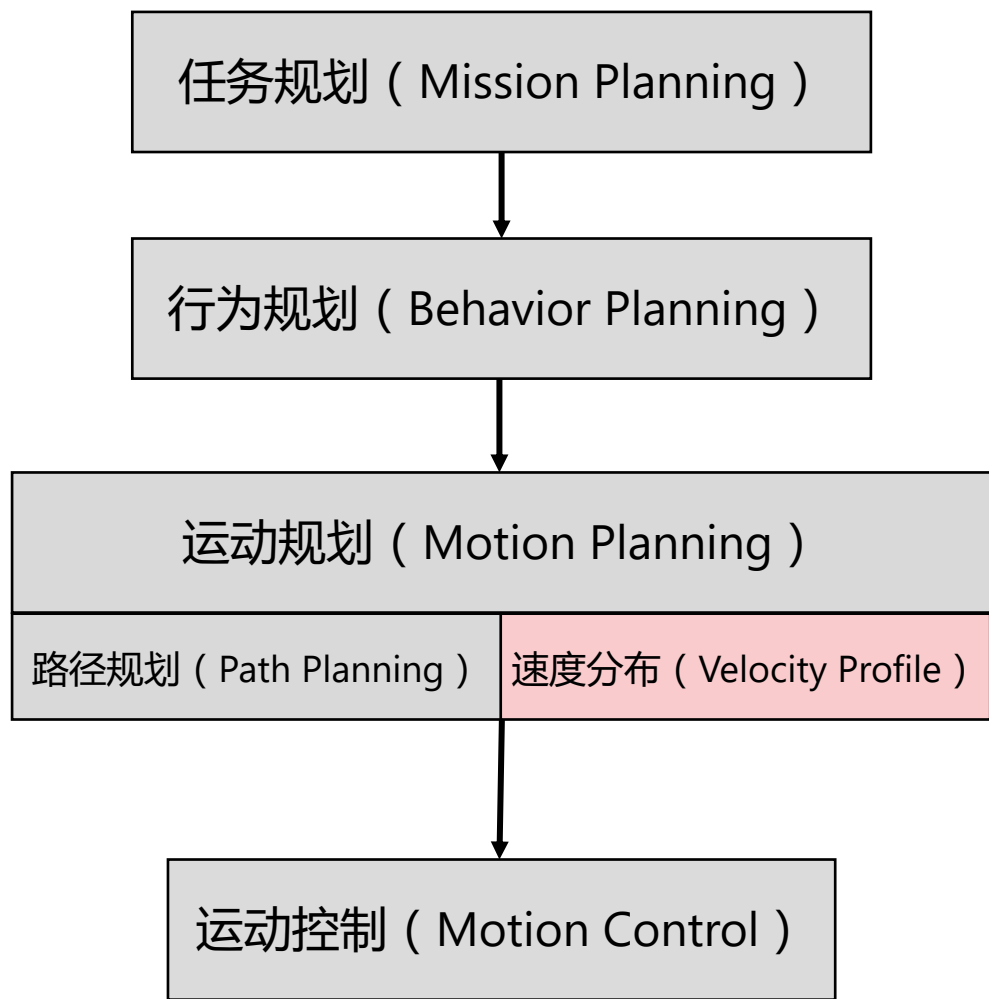
$$\frac{v_t^2 - v_0^2}{2a_0} = s_a$$

$$\frac{0 - v_t^2}{2a_0} = s_f - s_b$$

结构化场景中的速度曲线



自动驾驶速度分布生成



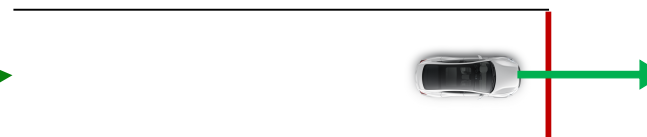

结构化场景

非结构化场景

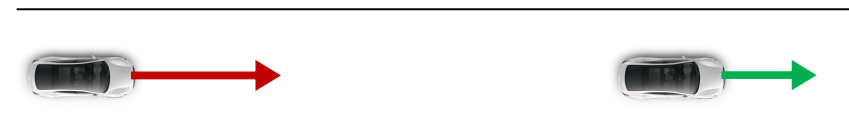
停车



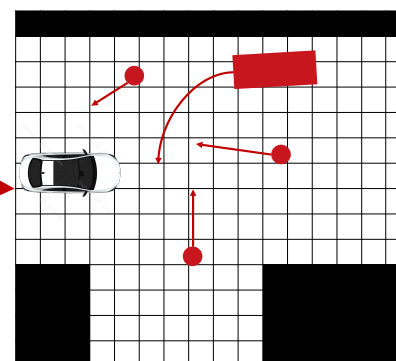
启动



跟车、变道时与前车交互



复杂动态交互



Recap : Hybrid A* 时空搜索

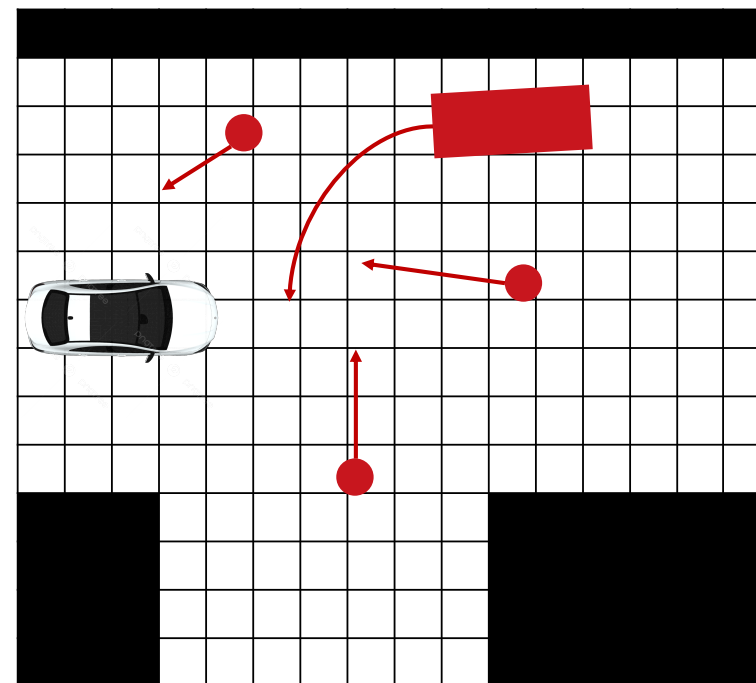
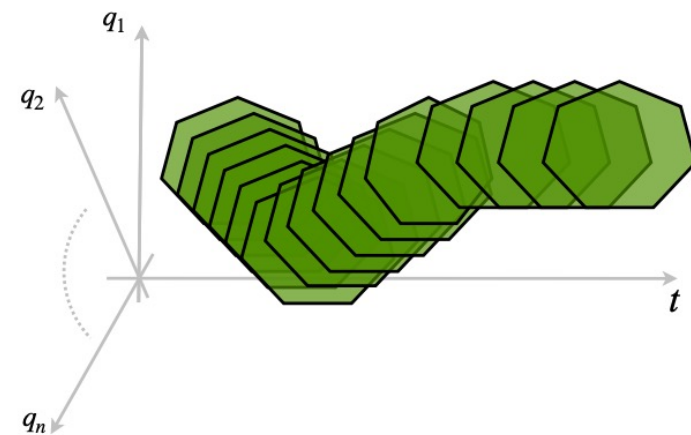
⑤ 5D 时空栅格 : $\langle x, y, \theta, dir, t \rangle$

速度!

⑤ 自车轨迹扩展 : $\langle q', t + 1 \rangle = \langle f(q, u), t \rangle$

- 他人/车轨迹预测 : $\langle q'_{exo}, t + 1 \rangle = m(h_{exo}, h, c, t)$
- 碰撞检测 :
 - 对于所有 t' , $\langle q', t' \rangle$ 与 $\langle q'_{exo}, t' \rangle$ 的几何是否发生重叠?

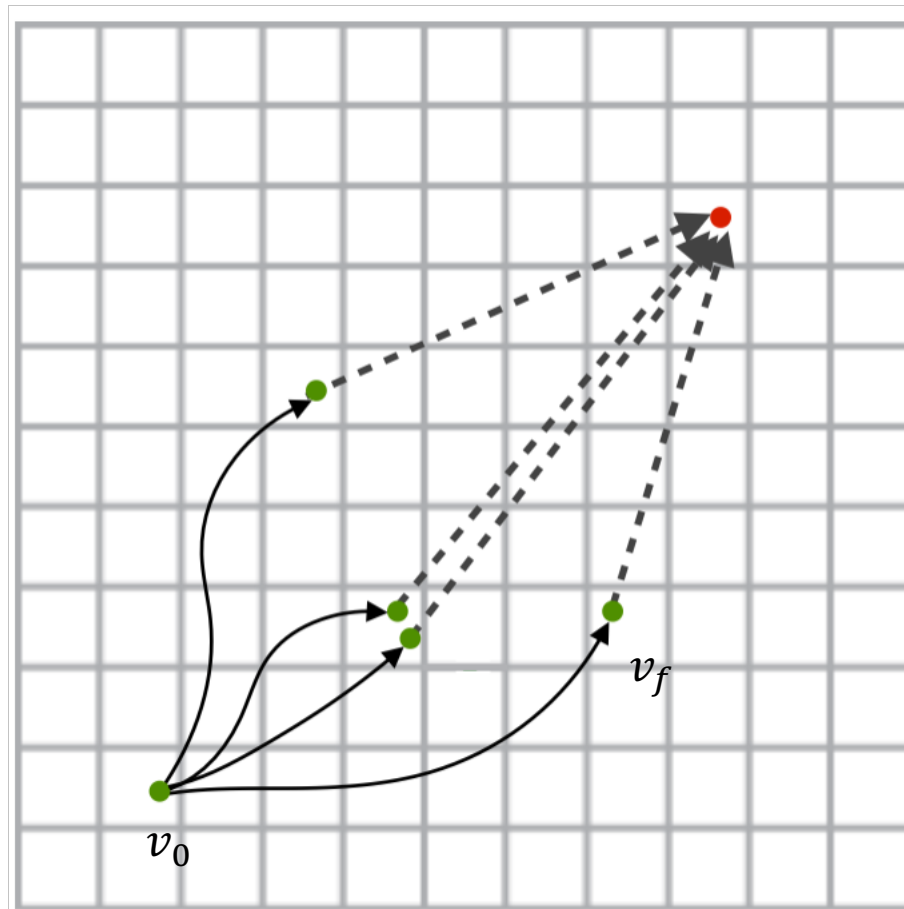
⑤ 在搜索中如何引入速度信息?



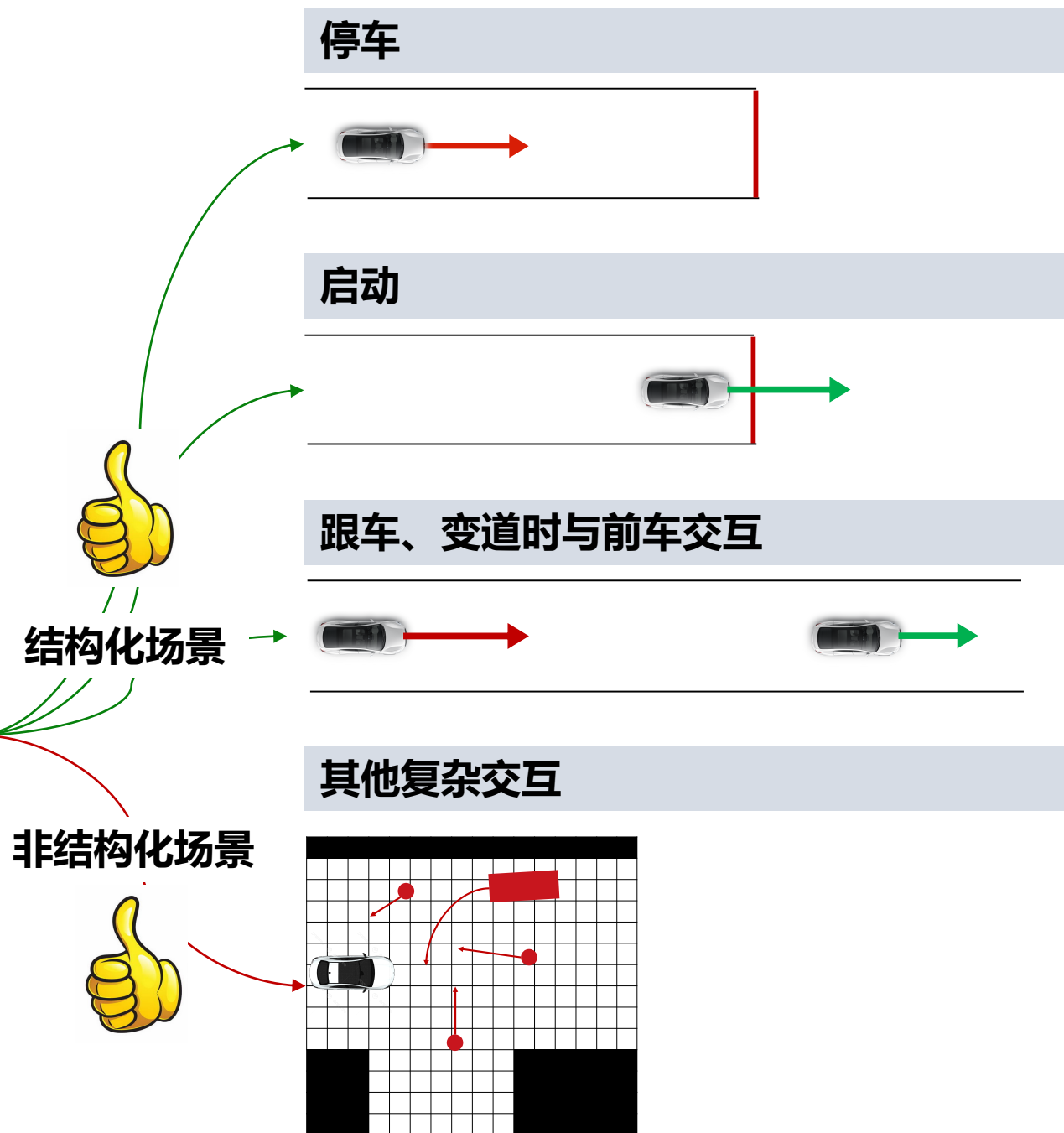
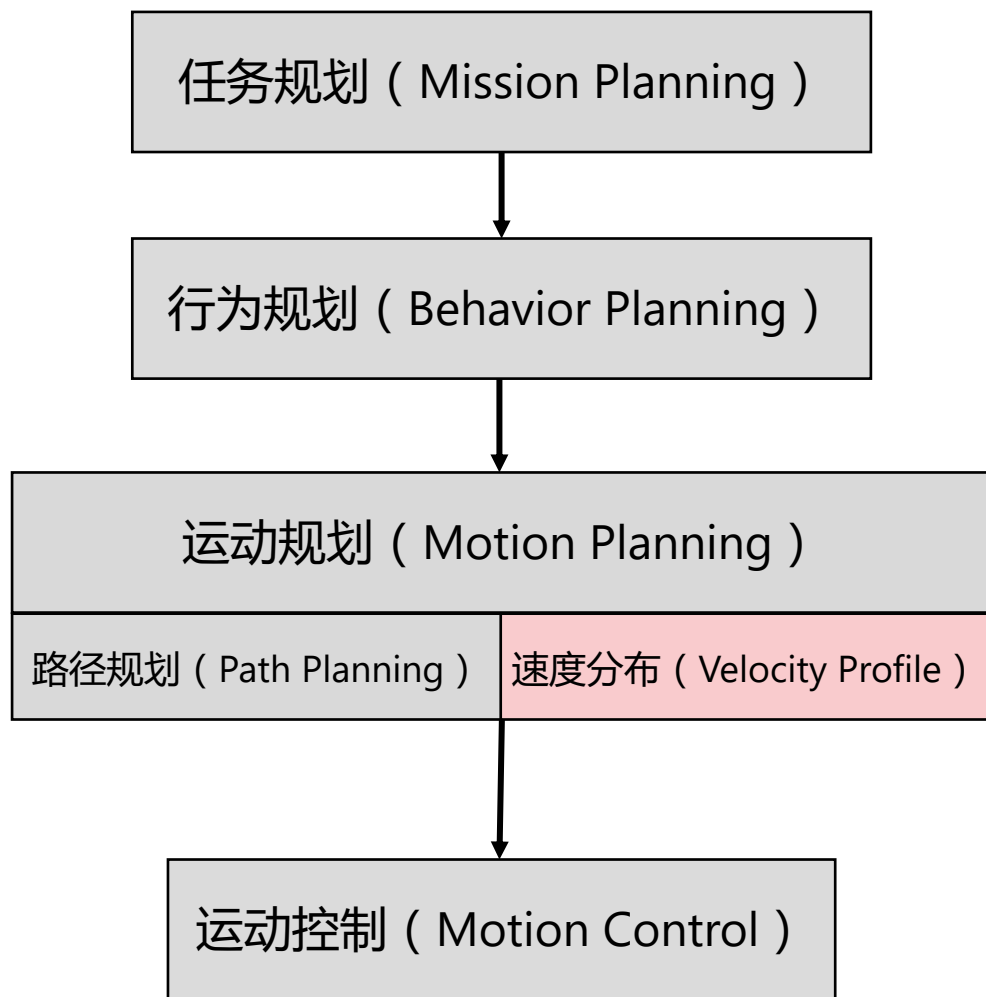
Hybrid A* 时空搜索 + 速度控制

④ 轨迹扩展控制输入： $u = \langle \phi, v_f \rangle$

- ϕ = 方向盘角度 或 ϕ = 方向盘的变化率
- v_f = 终点速度
- v_f 也需要受到多方面的限制：
 - 交通限速 (≤ 60)、红绿灯 ($=0$)
 - 曲率限制 (与方向盘角度相关)

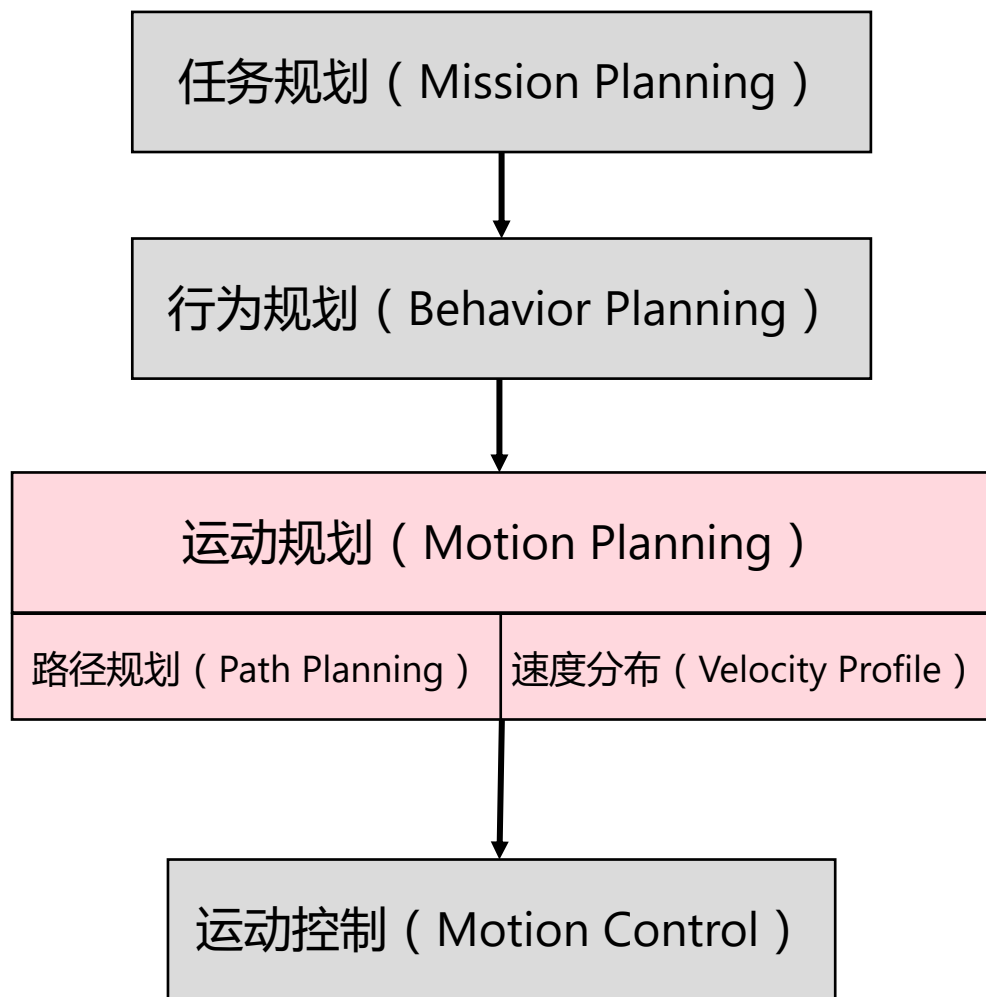


自动驾驶速度分布生成

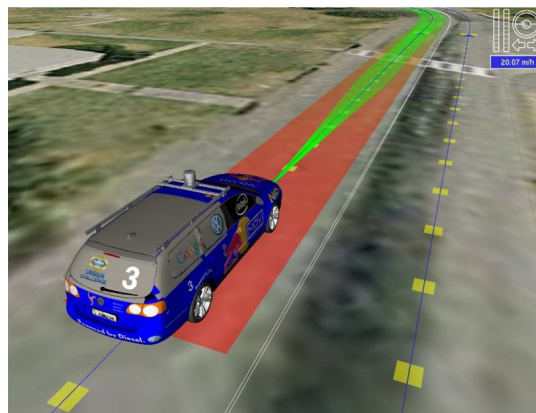


自动驾驶运动规划实用方法

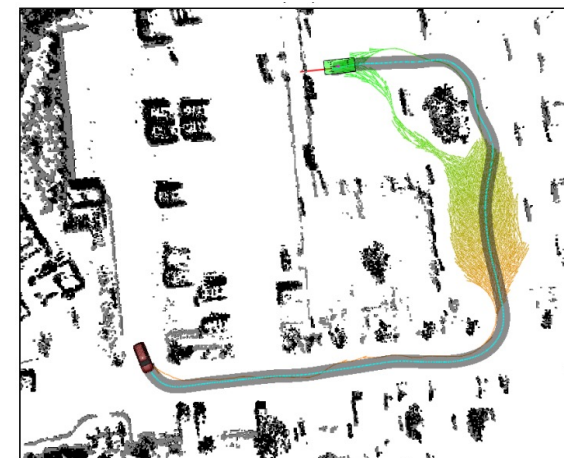
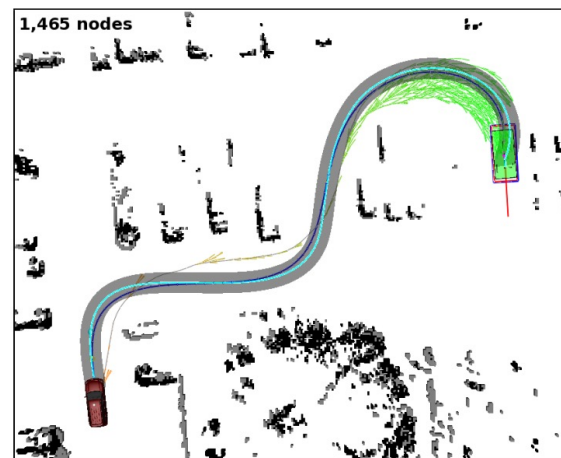
没有完备性、最优性等理论性质！



结构化场景 -> Conformal Lattice Planner



非结构化场景 -> Hybrid A* + 复合 heuristics + 速度输入



自动驾驶运动规划实用方法的理论性质

④ **完备性**：当解存在时，算法可以保证在有限时间内找到解；当解不存在时，算法也可以在有限时间内报告不存在

- Conformal lattice planner 不具备完备性
 - 无法考虑所有可能的行车轨迹
- Hybrid A* 不具备完备性
 - 扩展时只考虑有限的、固定时长的控制输入

④ **最优性**：当有解存在时，算法可以保证在有限时间内找到最优解

- 最优性需建立在完备性的基础上
- Conformal lattice planner 与 Hybrid A* 都不具备最优性

是否存在理论性质好的运动规划算法？

自动驾驶与机器人学

自动驾驶技术



有限应用

领域内拓展

机器人学

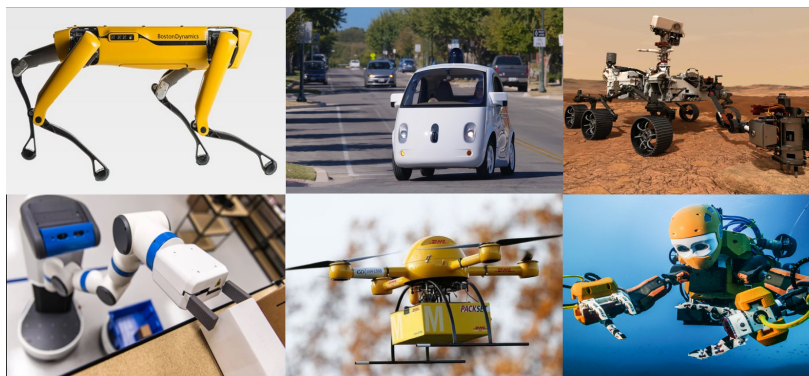
系统架构

感知

控制

运动规划

策略规划



机器人运动规划



看起来很不一样？
其实不然

如何为所有机器人设计通用的运动规划算法？

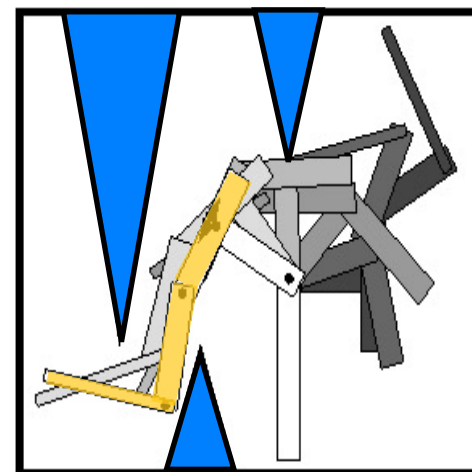
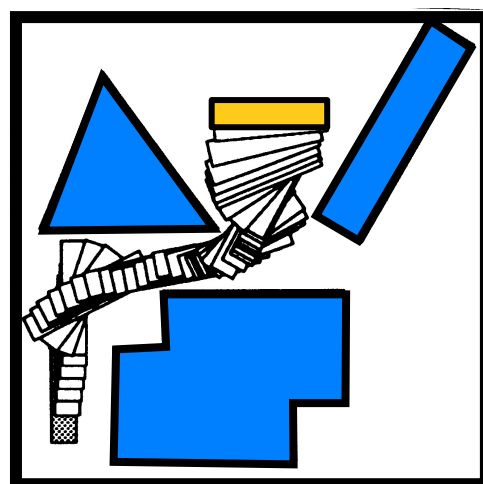
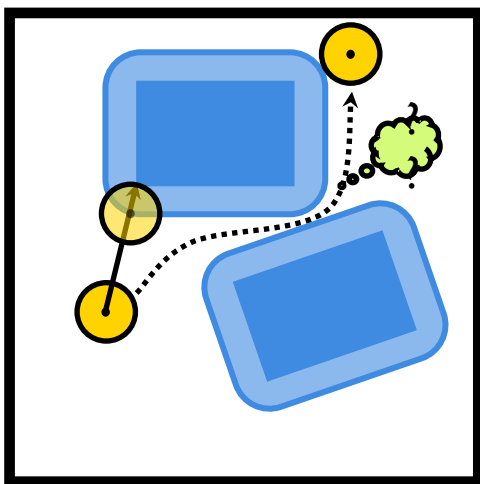
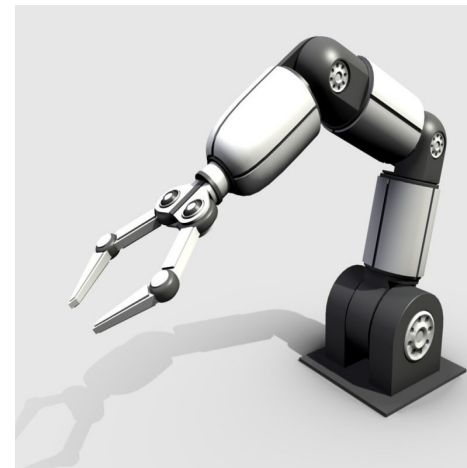
扫地机器人
是一个圆盘



自动驾驶汽车
形状不完美对称



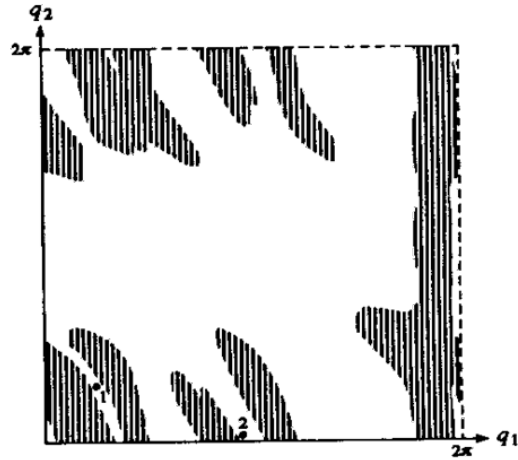
关节机器人
复杂的运动学结构



如何为所有机器人设计通用的运动规划算法？

① 配置空间 (Configuration Space)

- 配置空间中所有机器人都可以被当做一个点



Tomas Lozano-Perez
Professor, MIT

配置与配置空间

④ 机器人的配置 (configuration)

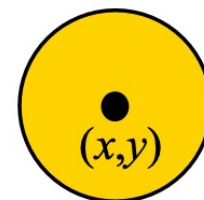
- 是一组能够完全确定机器人身上每个点的位置的参数 q
 $= (q_1, q_2, \dots, q_n)$

④ 配置空间 C (Configuration space or C-space)

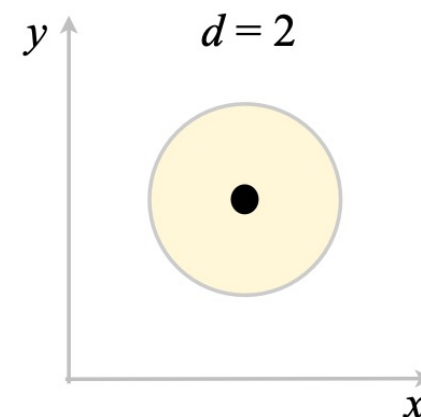
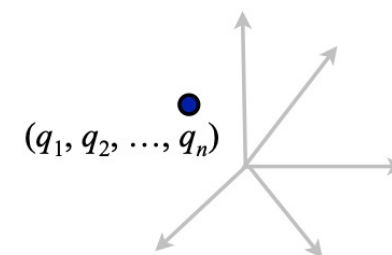
- 是机器人所有可能配置构成的集合，也就是说，任何配置都是配置空间中的一个点

④ 配置空间维度 d

- 是可以确定机器人配置的最小参数量，也叫做机器人的自由度 (Degrees of freedom, DOF)



The coordinates for the disc center specify the configuration of a translation-only disc.



车辆配置空间

车辆的配置 (configuration)

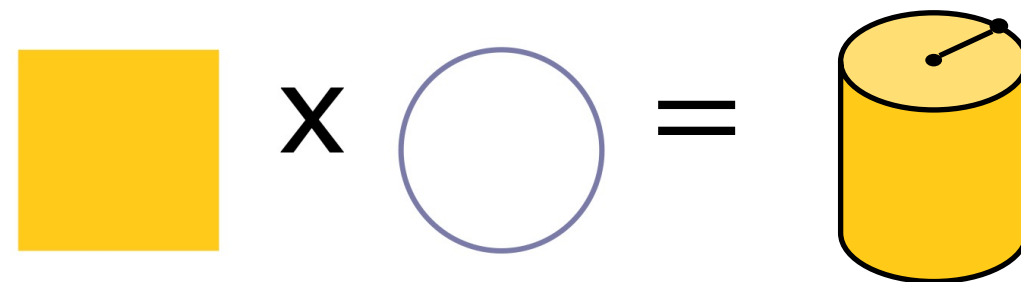
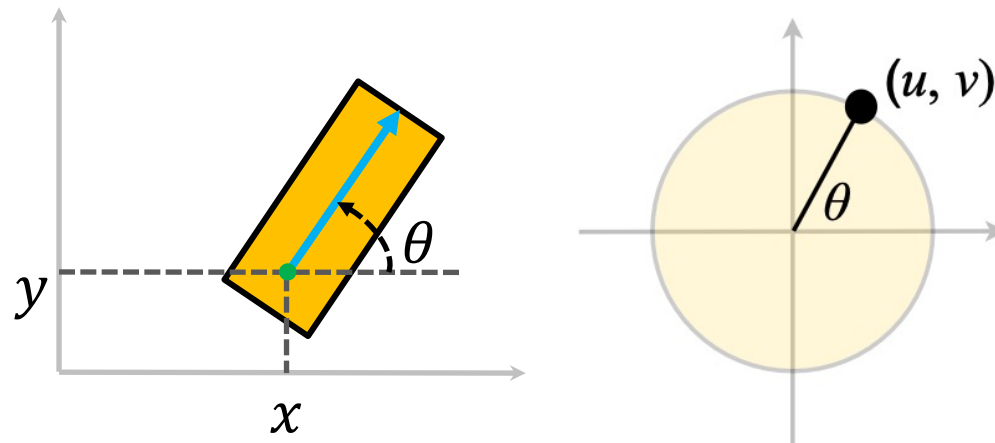
- $q = (x, y, \theta)$?
- $q = (x, y, u, v)$?

车辆的配置空间维度 d

- $\text{DOF} = 3$

配置空间 C (Configuration space or C-space)

- 柱体 $C = R^2 \times S^1$



车辆的配置空间（非平坦路面）

① 车辆的配置 (configuration)

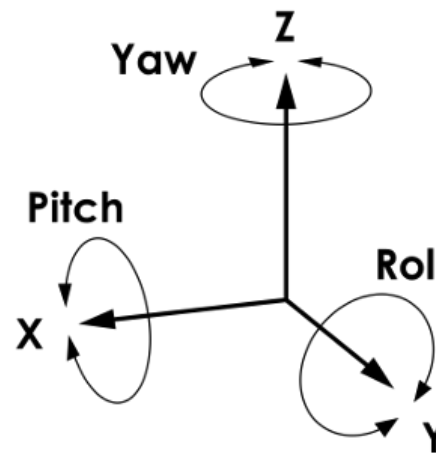
- $q = (x, y, z, \theta_x, \theta_y, \theta_z)$

② 配置空间 C (Configuration space or C-space)

- 3D刚体变换群： $C = SE(3) = R^3 \times SO(3)$

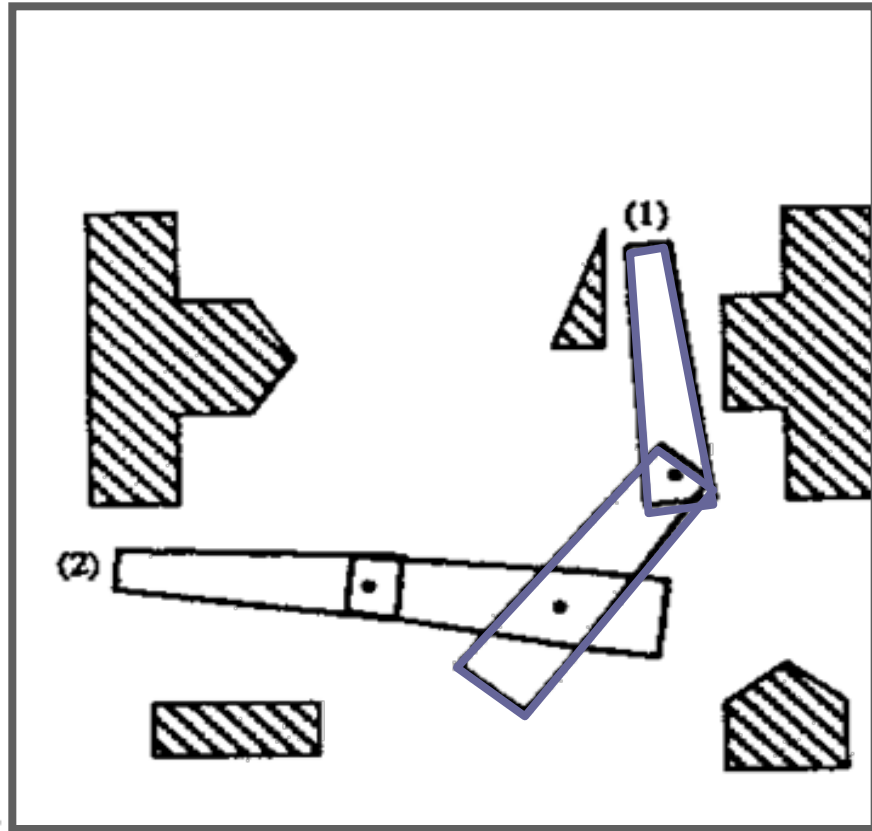
③ 车辆的配置空间维度 d

- $DOF = 6$

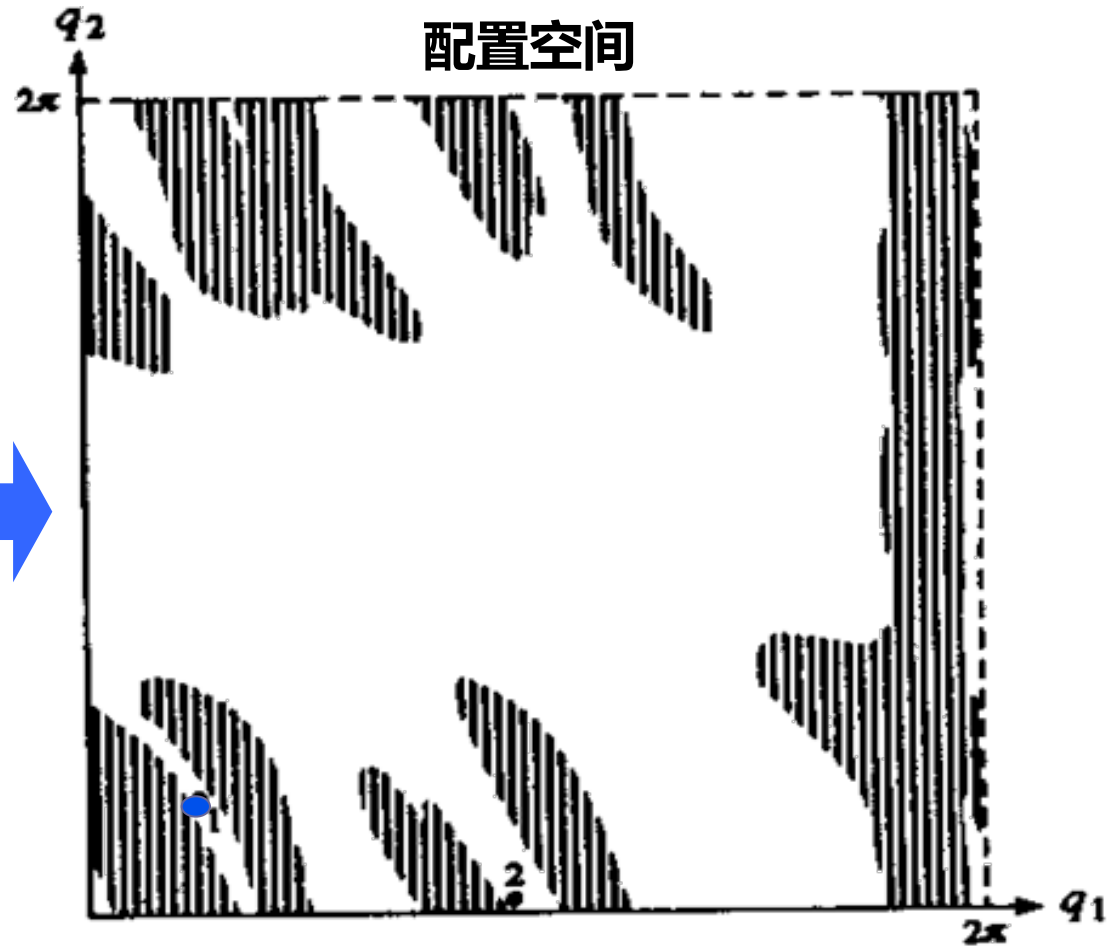


机器人如何成为一个点？

工作空间

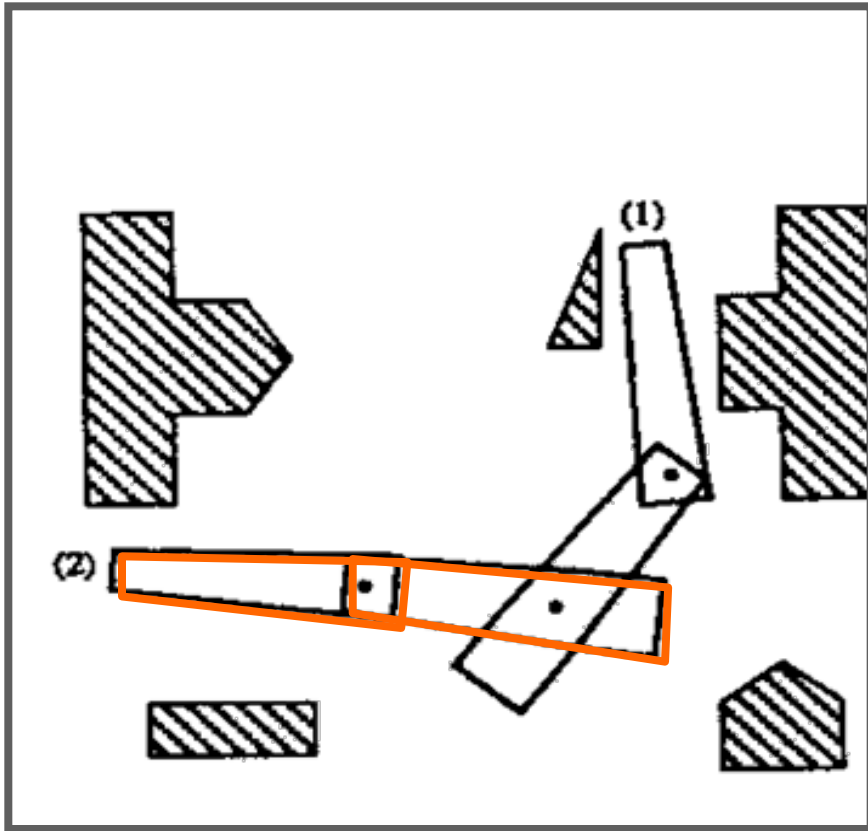


配置空间

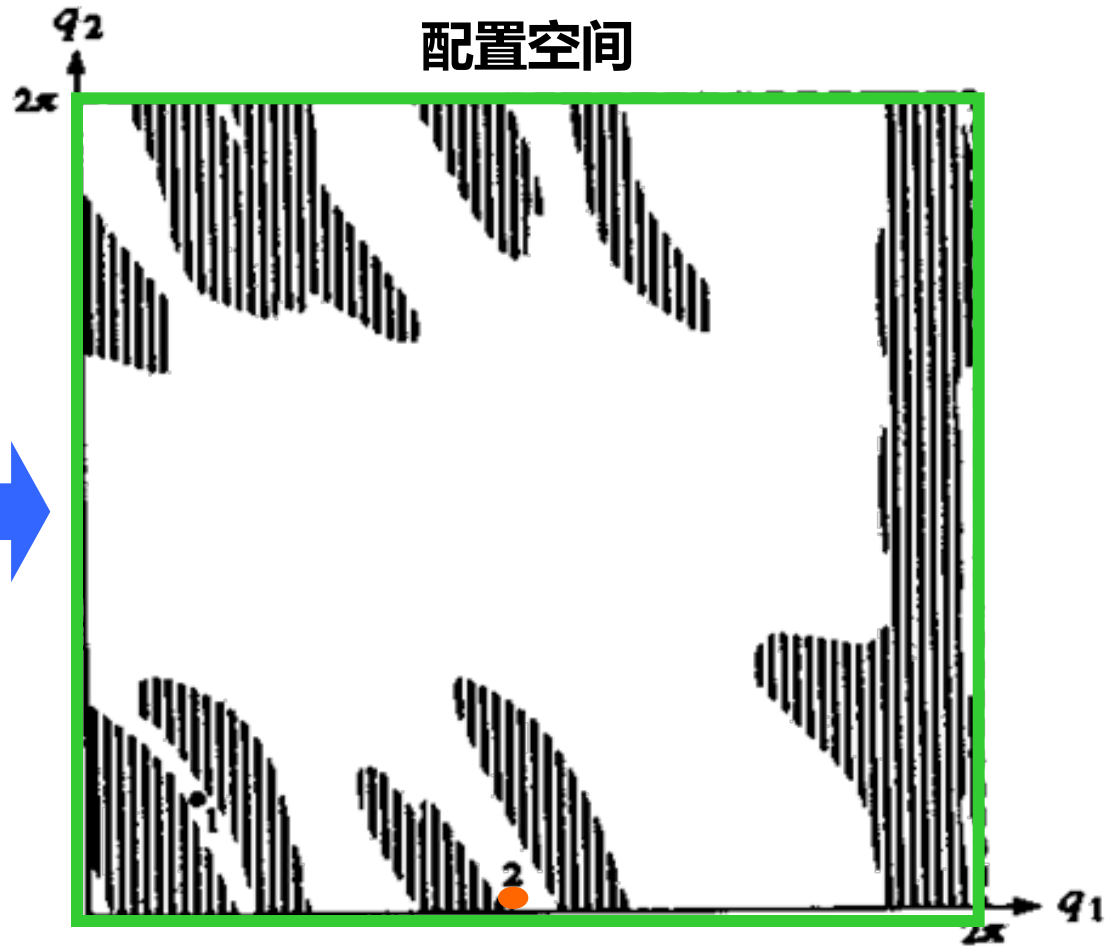


机器人如何成为一个点？

工作空间

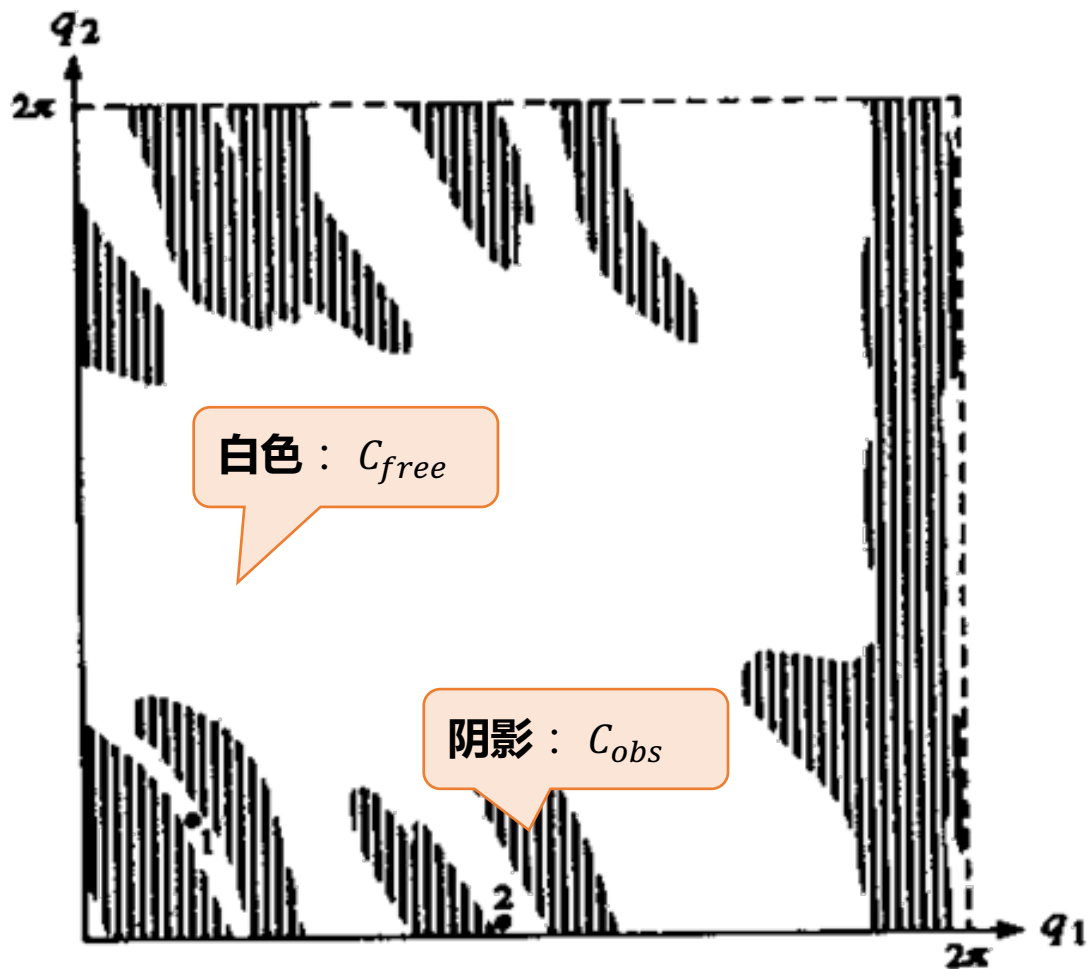


配置空间



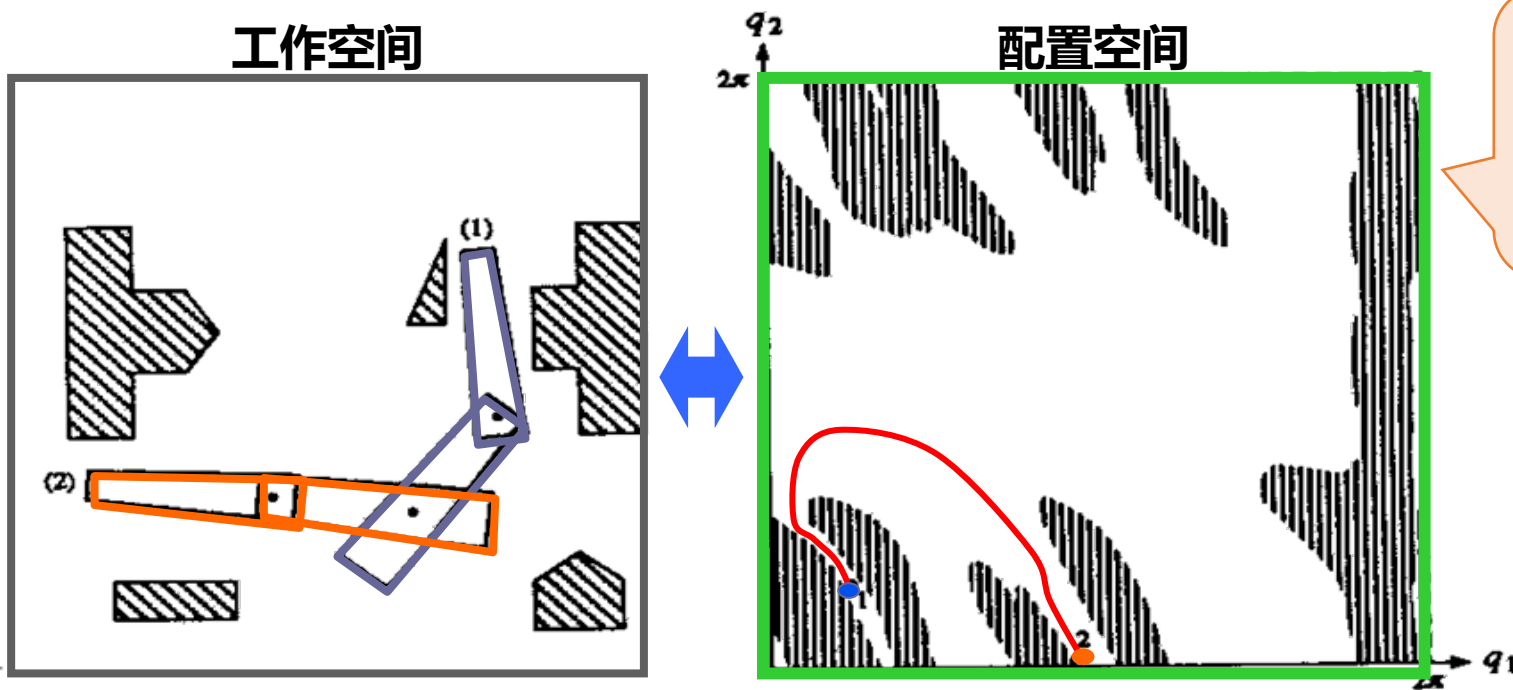
配置空间结构

- ④ 给定一个配置 q ，如果处于 q 的机器人不与工作空间中的任何障碍物相碰撞，则 q 被称为**无碰撞的** (collision free)
- ④ **自由空间** (free space , C_{free}) 是所有无碰撞配置 (collision-free configuration) 的集合
- ④ **配置空间障碍物** (C-space obstacles , C_{obs}) 是所有发生碰撞的配置集合



运动规划问题的通用定义

- ④ 在 C_{free} 中，给定一个起始配置 (start configuration) 和终点配置 (goal configuration)，计算一条完全处于 C_{free} 中的连续路径
- 输入 $\{q_s, q_g\}$ (query)
 - 输出连续变换 $\tau: [0,1] \rightarrow C_{free}$



A*, D* Lite, Hybrid A* 都是通过将 C-space 离散化为栅格，然后在其中进行搜索

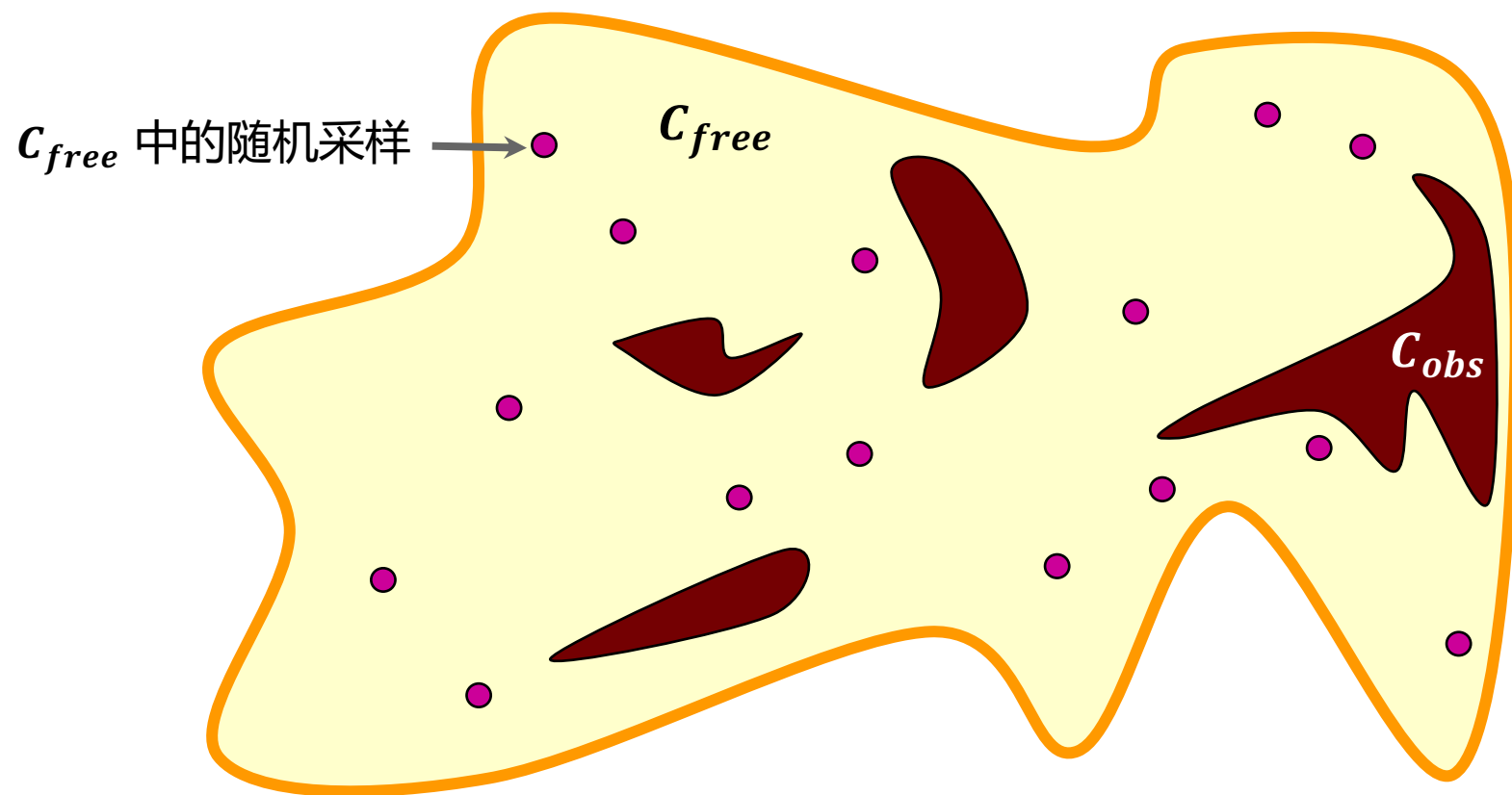
栅格搜索的计算复杂度

- ④ 栅格搜索的计算时间通常随着**配置空间的维度呈指数增长**
- ④ **例**：对于一个 d 维的配置空间，在每个维度上离散为 10 个值，就会有 10^d 个格子。在最坏情况下，需要搜索完所有格子才能达到最优解。
- ④ **例**：在越野飞车的自动驾驶问题中，若将一个 $100m \times 100m \times 20m$ 的场地按照 $0.5m$ 的粒度离散化，将角度按 15° 离散化，则有 2.2×10^{10} 个格子。
- ④ 栅格搜索算法通常不能在超过 3-DOF 的机器人系统中应用



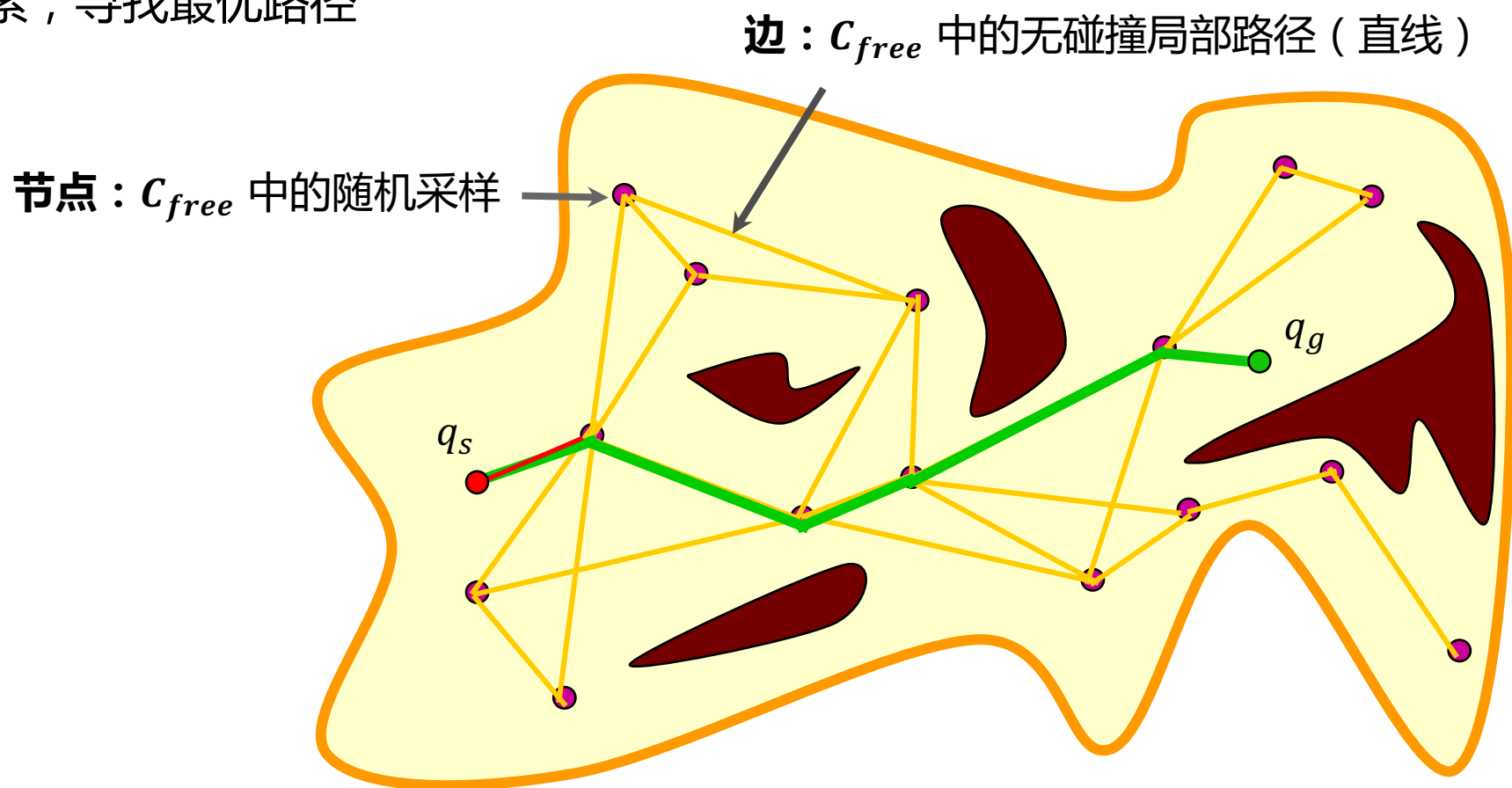
攻克高维空间中的运动规划

① 用随机采样近似表达自由空间 (C_{free})



概率道路图 (Probabilistic Roadmap, PRM)

- ① 将随机采样通过局部路径互相连接，构造一个连通的道路图 (roadmap)
- ② 对于给定 query $\{q_s, q_g\}$ ，首先将它们连接到PRM
- ③ 在图中进行搜索，寻找最优路径



PRM 算法

Input:

N: the number of roadmap nodes
geometry of a robot and obstacles

Output:

roadmap $G = (V, E)$

BasicPRM

```
1:  $V \leftarrow \emptyset$  and  $E \leftarrow \emptyset$ .
2: while  $|V| \leq N$ 
3:    $q \leftarrow$  a configuration sampled uniformly at random from  $C$ .
4:   if Collision-Free( $q$ ) = TRUE then
5:     Add  $q$  to  $V$ .
6:      $N_q \leftarrow$  a set of nodes in  $V$  that are close to  $q$ .
7:     for each  $q' \in N_q$ , in order of increasing distance  $d(q, q')$ 
8:       if LINK( $q', q$ ) = TRUE then
9:         Add an edge between  $q$  and  $q'$  to  $E$ .
10: return  $G = (V, E)$ 
```

LINK:

- (holonomic) 构造 q 到 q' 的直线路径
- (nonholonomic) 求解边界值问题得到局部路径
- 对局部路径进行碰撞检测

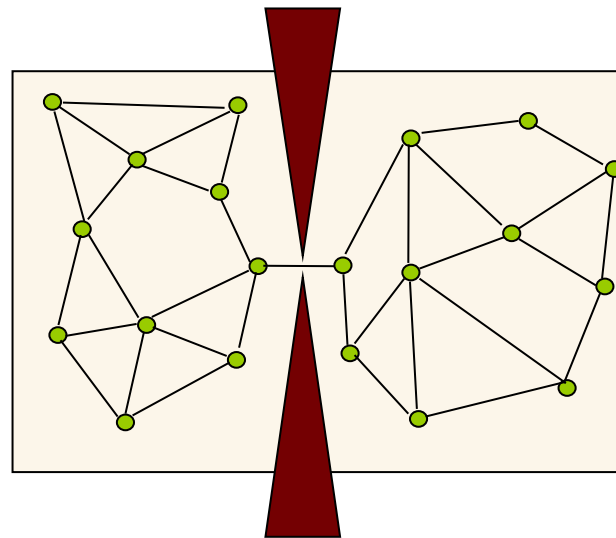
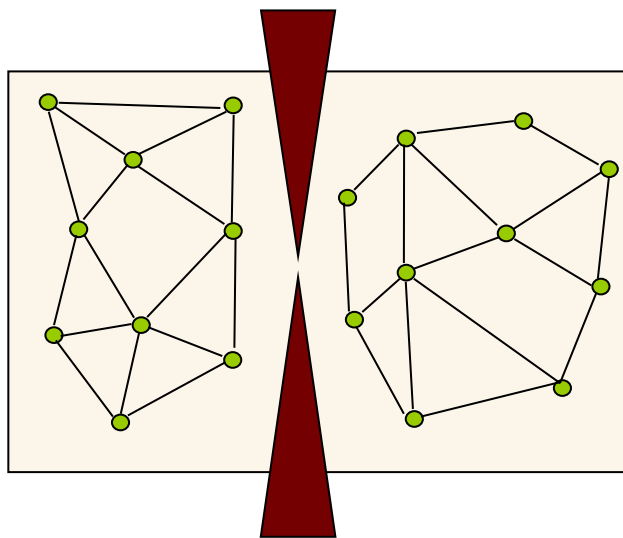
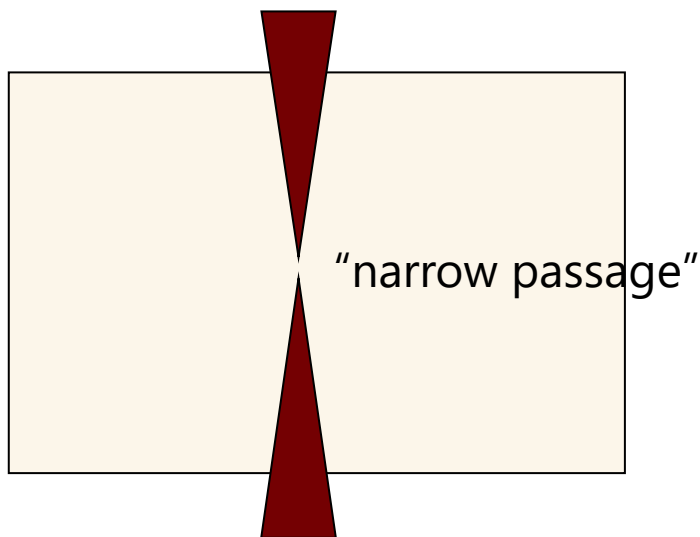
LINK是PRM中最耗时的部分

PRM 的理论性质

① PRM 具有概率完备性：

- 如果解存在，随着计算时间趋近于 ∞ ，PRM算法找到解的概率将趋近于1
- 当有足够多的随机采样时，PRM有高概率找到可行解

② PRM 不擅长窄通道问题 (narrow passage problem)



PRM + 重要性采样

④ 在连通性低的“困难区域”进行更多的采样

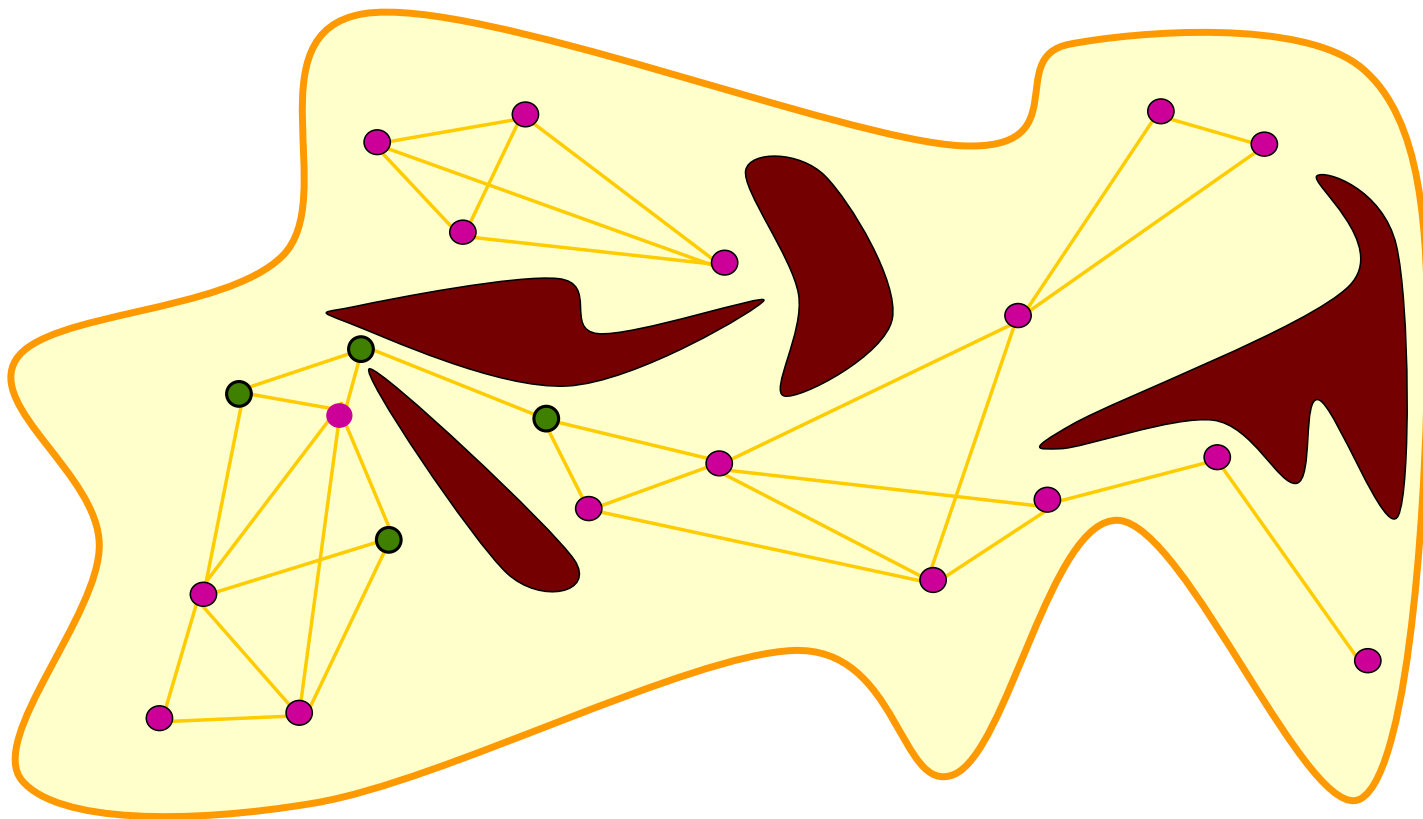
- 对于roadmap中的每一个顶点，定义一个重要性权重（ importance weight ）

$$\pi(q) = \frac{1/(\deg(q) + 1)}{\sum_{p \in V} 1/(\deg(p) + 1)}$$

- 其中 $\deg(q)$ 是顶点在 roadmap 中的连接度
- 以概率 $\pi(q)$ 选取节点 q
- 在节点 q 附近进行随机采样
- 将新的采样点添加到 PRM

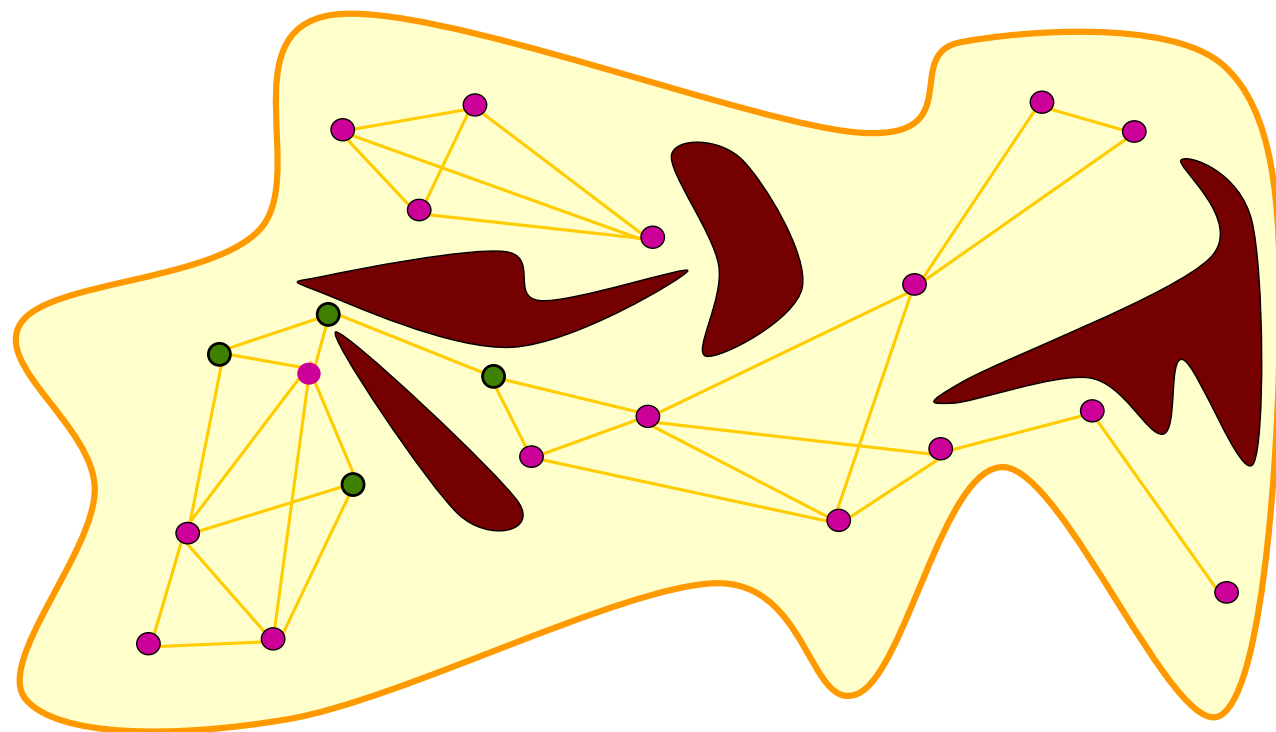
PRM + 重要性采样

④ 在连通性低的“困难区域”进行更多的采样



PRM 中的学习元素

- ④ 随机采样-> 数据
- ④ PRM -> 储存经验的容器
- ④ 对于在相同环境的新问题，利用经验快速解决
- ④ 当环境发生局部的变化，可以局部地更新 PRM，适应变化



PRM 适用与不适用场景

④ 当机器人在同一环境中需要进行许多次运动规划时适用

- 多询问运动规划 (Multi-Query Planning)

④ 在变化度高的或有动态障碍物的环境中不适用

- 机器人每次运动规划面临的环境都不一样

- PRM 可重用性非常低

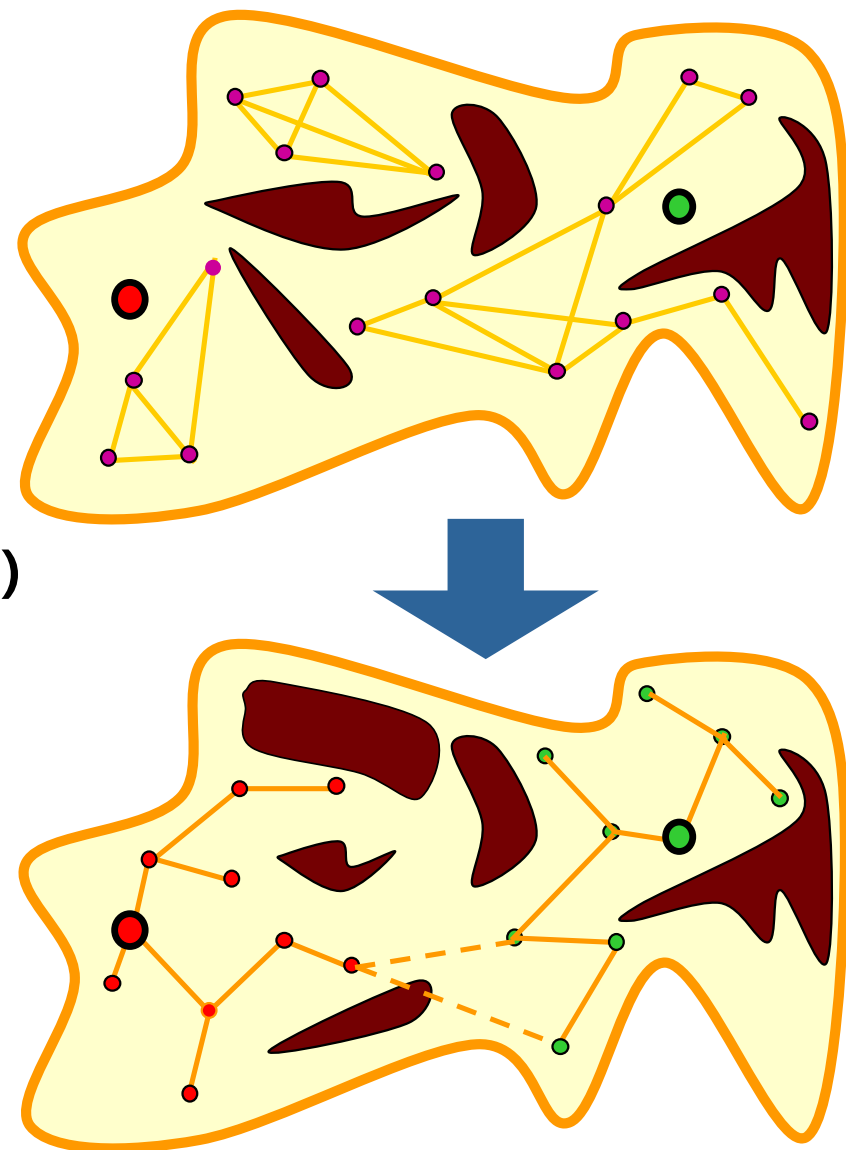
- 单询问运动规划 (Single-Query Planning)



单询问运动规划 (Single-Query Planning)

- ① 只考虑从 q_s (或者 q_g) “可到达”的配置
- ② 从 q_s 和 q_g 出发, 分别扩展一颗树
 - 每次随机采样一个全局配置, 扩展其中一颗搜索树
- ③ 不断尝试连接 (connect) 两棵树, 即连通起点与终点

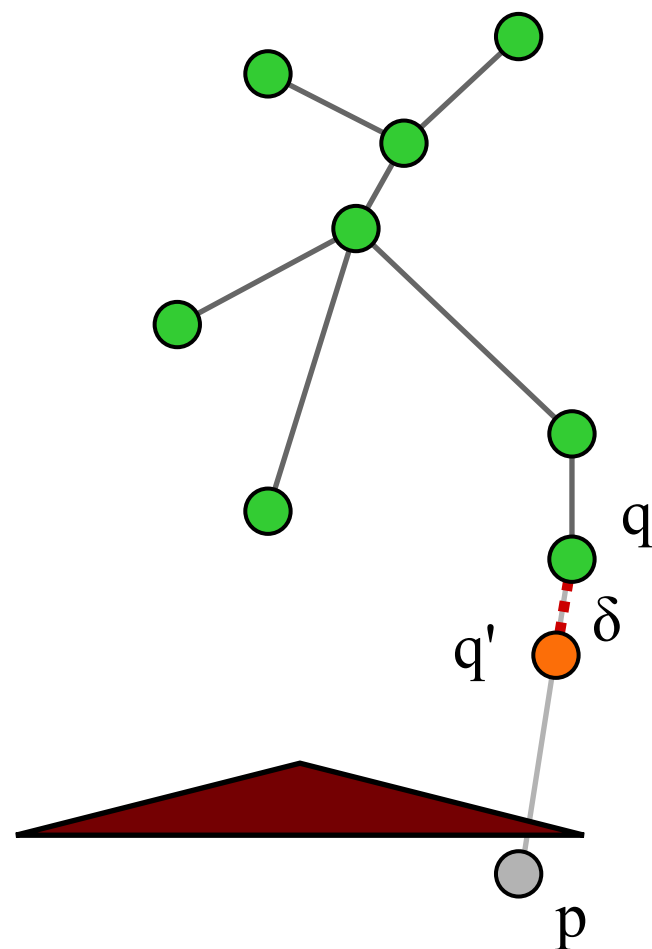
=> 快速探索随机树 (Rapidly-exploring Random Tree, RRT)



Rapidly-exploring Random Tree (RRT)

⊗ **Extend:** RRT 从一个目标采样分布 (Sampling Distribution , 比如 C-space 中的均匀分布) 中采样机器人配置 , 用以构建搜索树。在每次迭代中 :

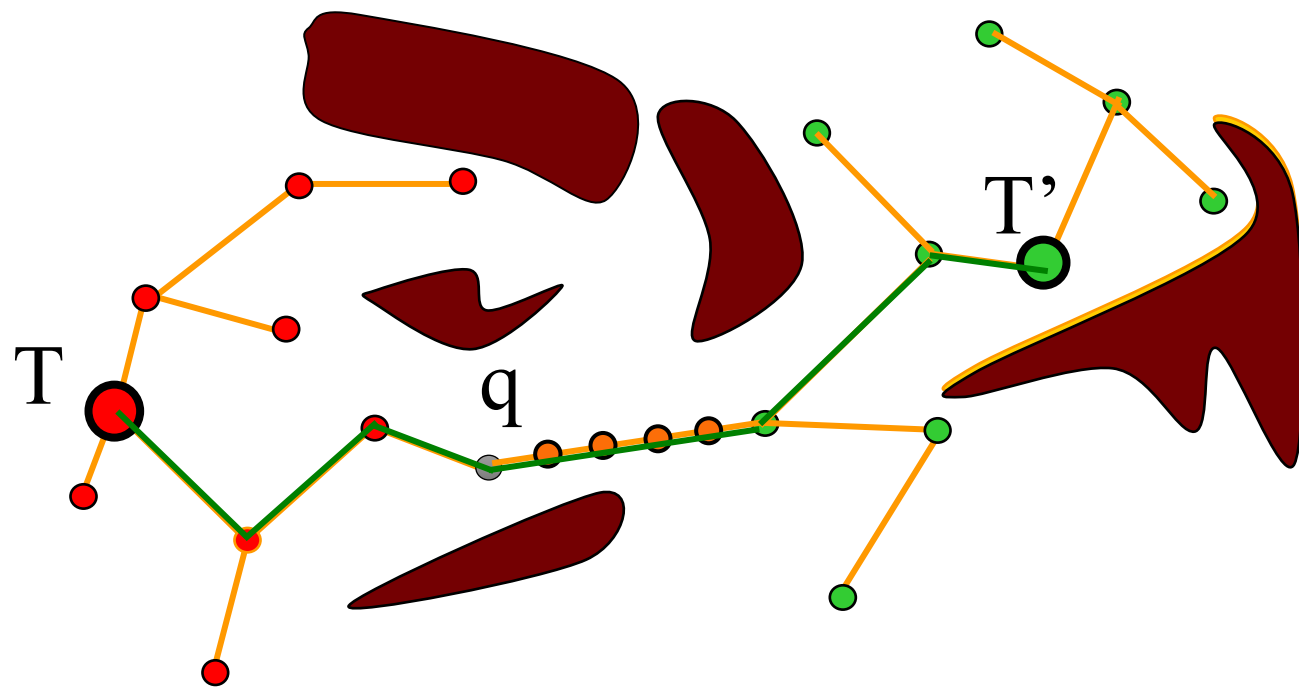
- 随机采样一个无碰撞的配置 p
- 在树中找到离 p 最近的顶点 q
- 从顶点 q 出发 , 沿着向随机配置 p 的直线方向移动 δ 距离 , 到达新的顶点 q' :
 - 若 q 到 q' 的直线路径无碰撞 , 将 q' 加入搜索树



Rapidly-exploring Random Tree (RRT)

⊗ **Connect:** 当搜索树 T 每次新扩展顶点 q , RRT 尝试将 q 作为目标, 对另一棵树 T' 进行扩展:

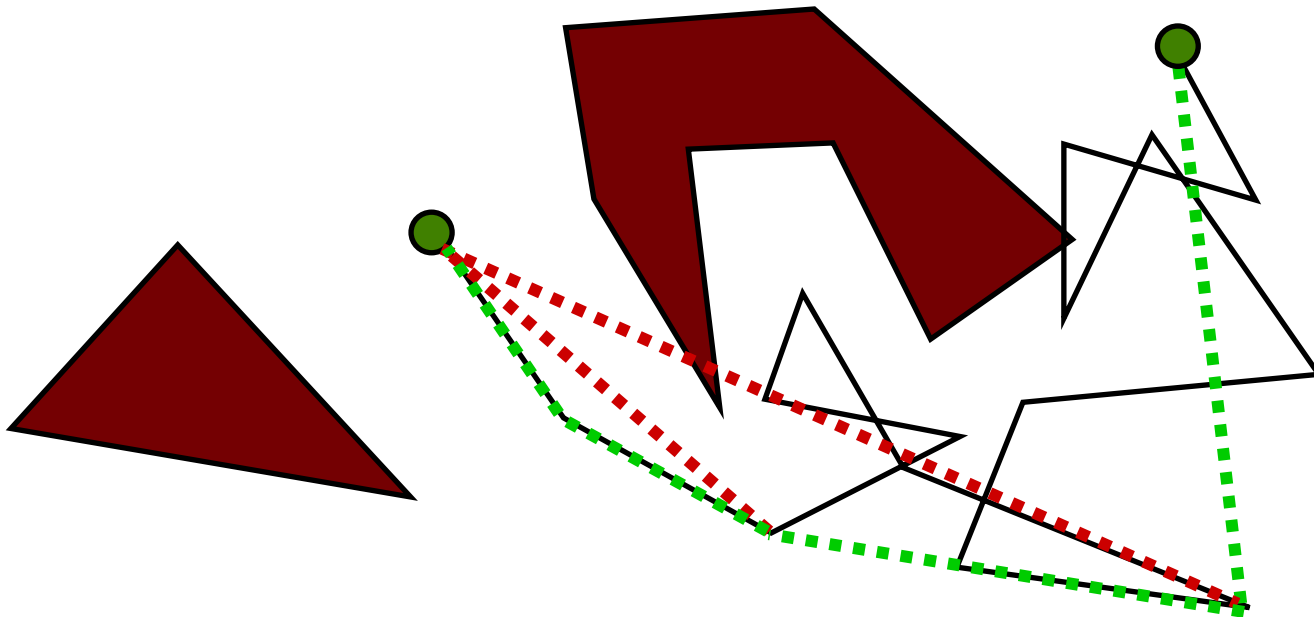
- 若 T' 成功连接到 q 则规划成功, 返回连接起点与终点的路径



Rapidly-exploring Random Tree (RRT)

④ **后处理 (shortcutting):** 沿着路径，在各个顶点不断寻找捷径 (shortcuts)，以将路径变得更平滑：

- 对于每一个顶点 p_i ，尝试与 $goal$ 和 p_j ($j > i$) 建立直线连接
- 若成功，用 (p_i, p_j) 或 $(p_i, goal)$ 替代原本的 $\{p_i, \dots, p_j\}$ ，或 $\{p_i, \dots, goal\}$ 路径



RRT 理论与实用性质

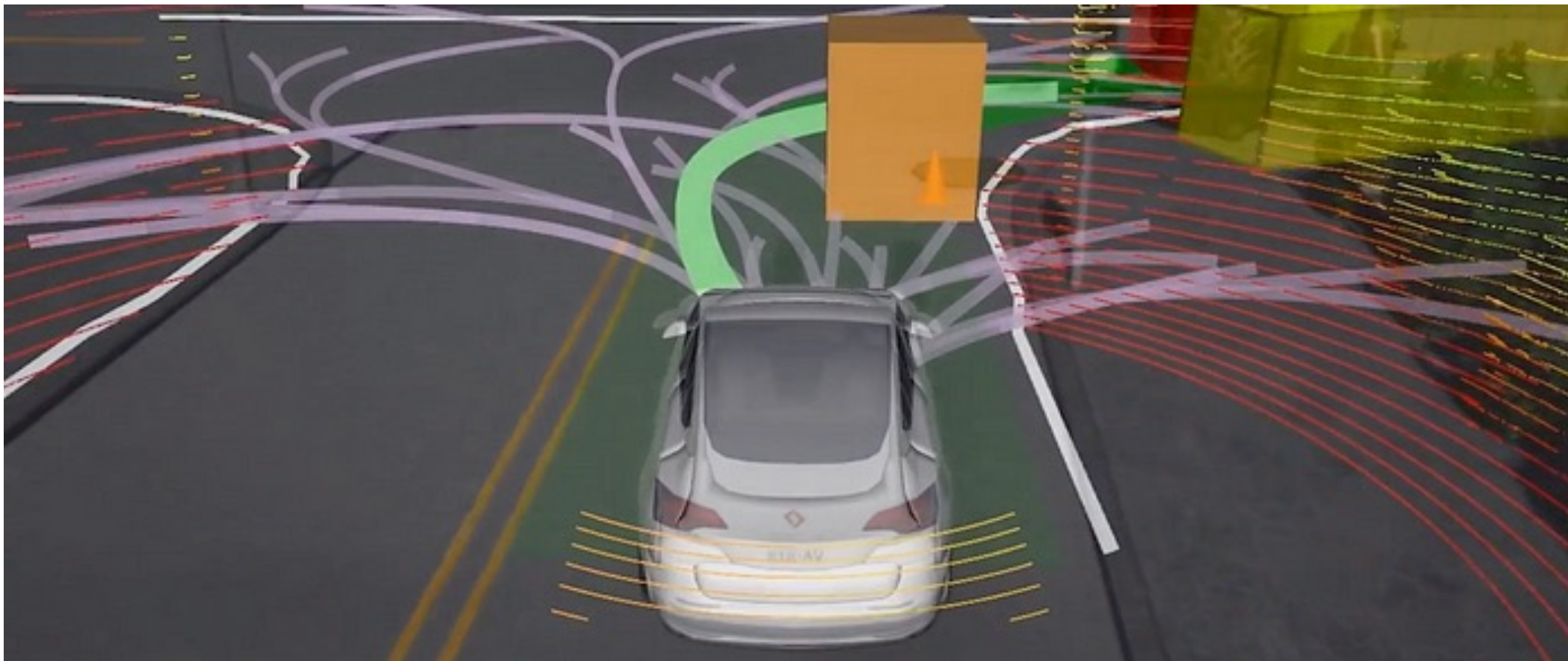
① **理论**：RRT 与 PRM 一样具有概率完备性

- 如果解存在，随着计算时间趋近于 ∞ ，RRT 找到解的概率将趋近于 1
- 当有足够多的随机采样时，RRT 有大概率找到可行解

② **实用**：RRT + shortcutting 通常能迅速地生成高质量路径

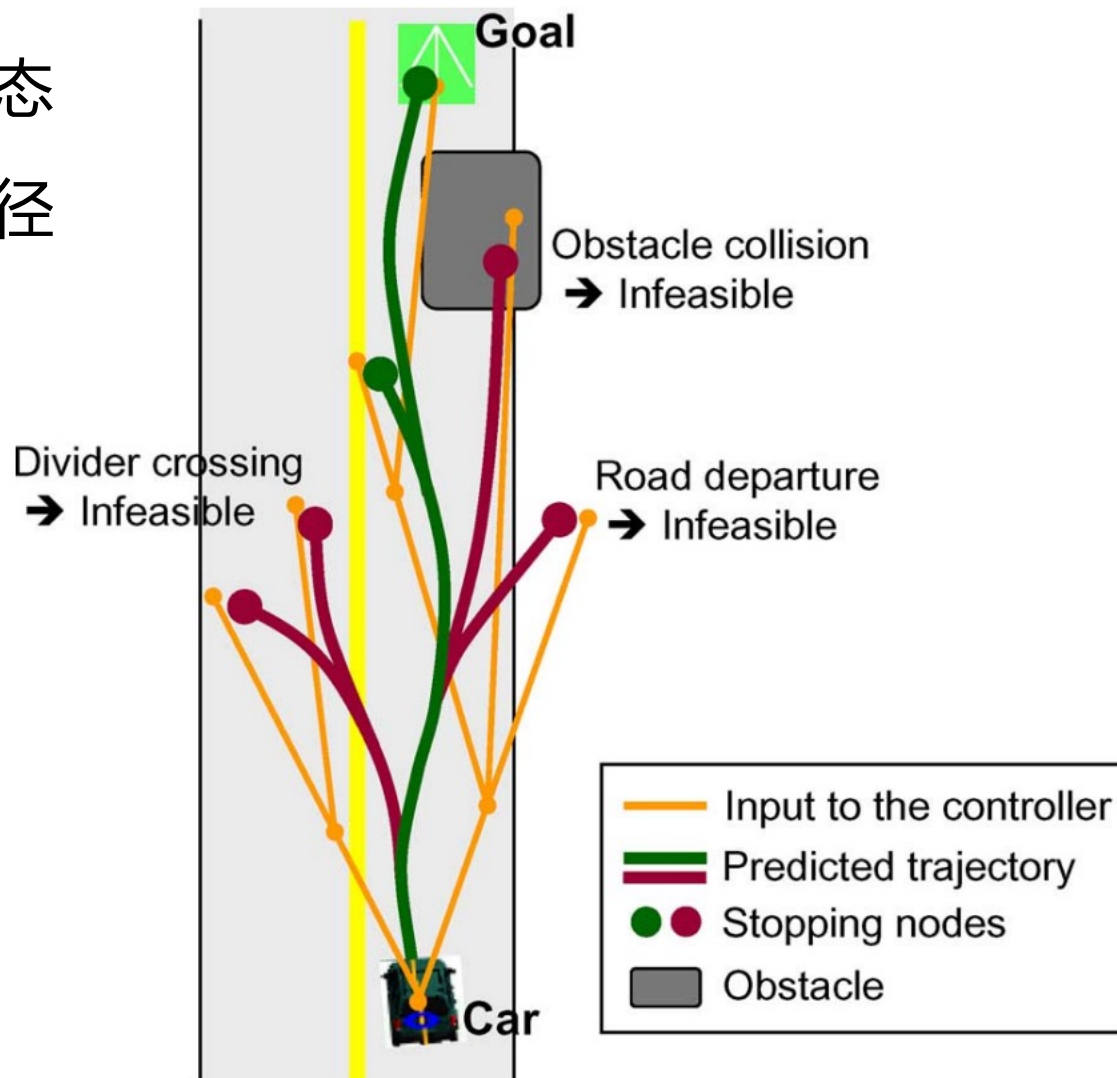
RRT 应用于自动驾驶

④ 每条边应当是车辆可以执行的路径/轨迹



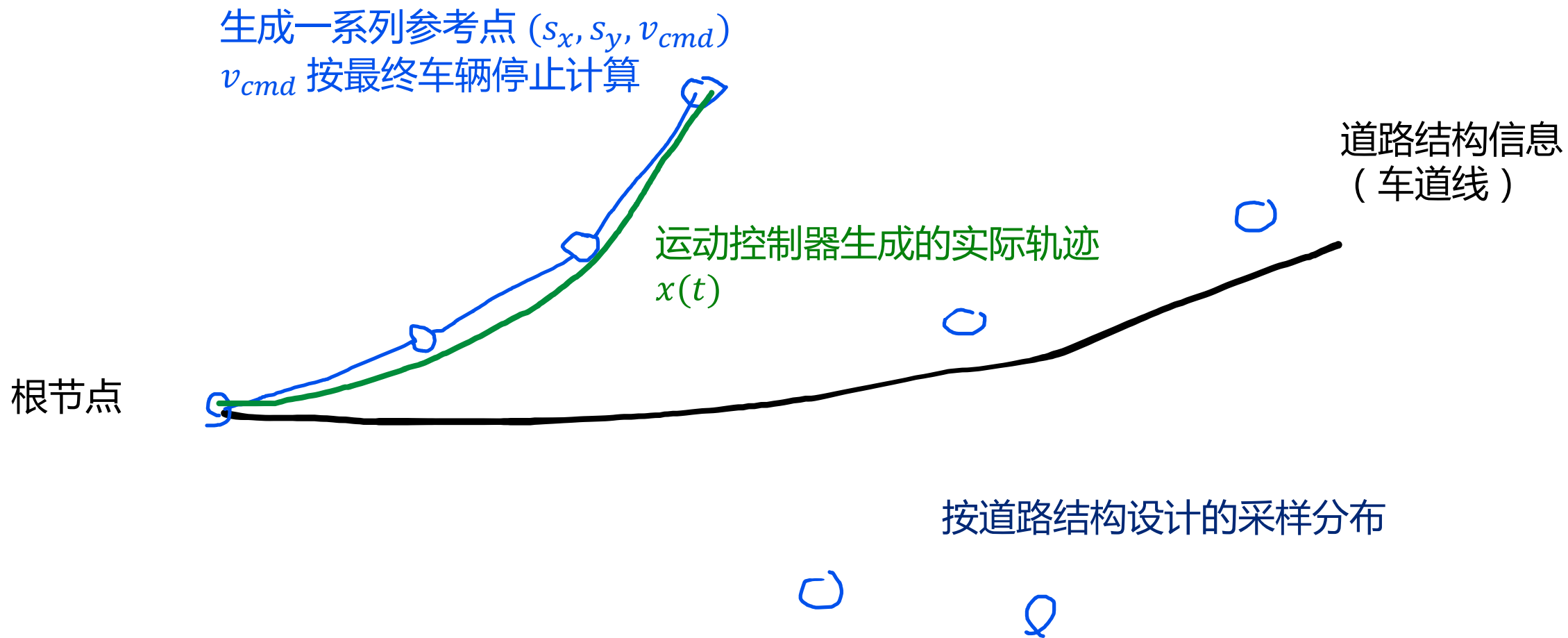
Closed-Loop RRT (CL-RRT)

- ① 采样控制（转向、速度），而不是采样状态
- ① 利用底层控制器和动力学模型生成扩展路径
- ① 直接规划轨迹，而不是路径



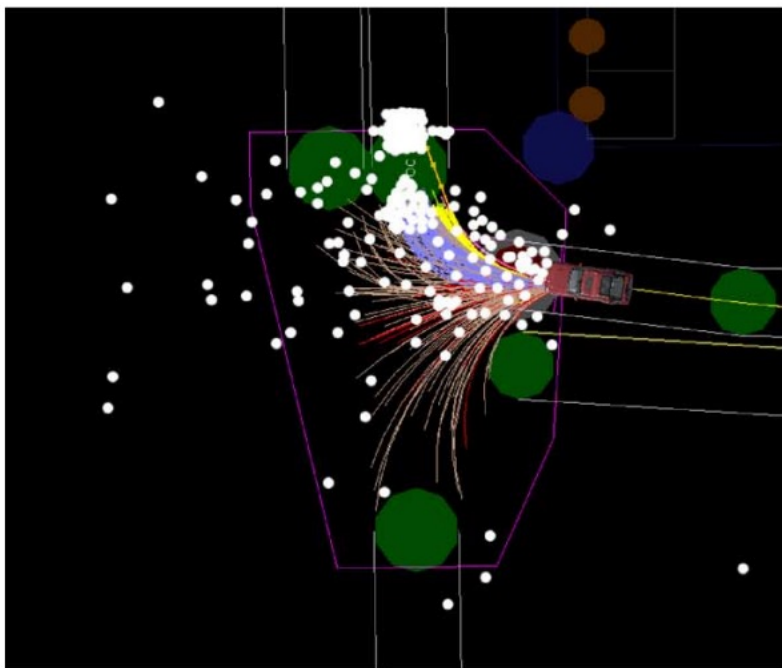
Closed-Loop RRT (CL-RRT)

④ 采样策略：根据道路结构进行偏置采样 (biased sampling)

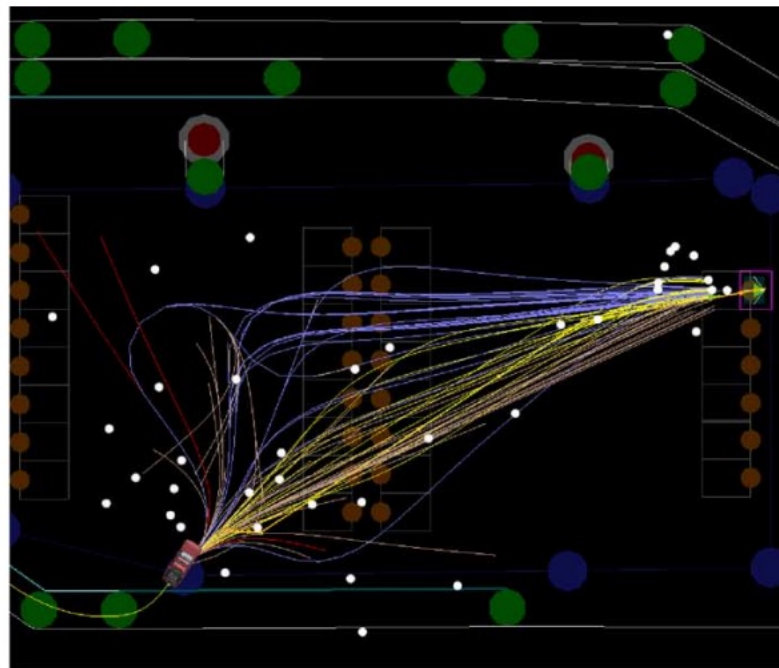


Closed-Loop RRT (CL-RRT)

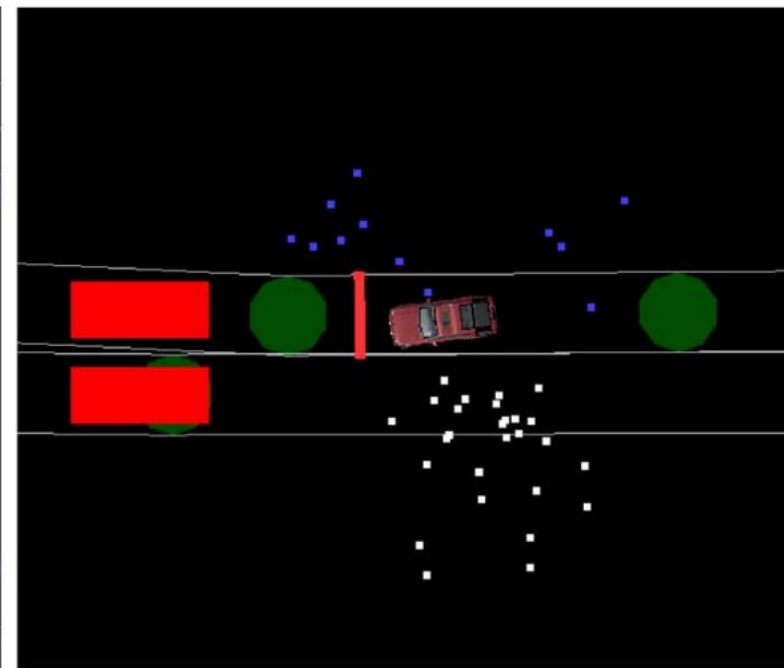
① 不同场景的采样分布：



十字路口：对整个路口区域用高斯分布覆盖



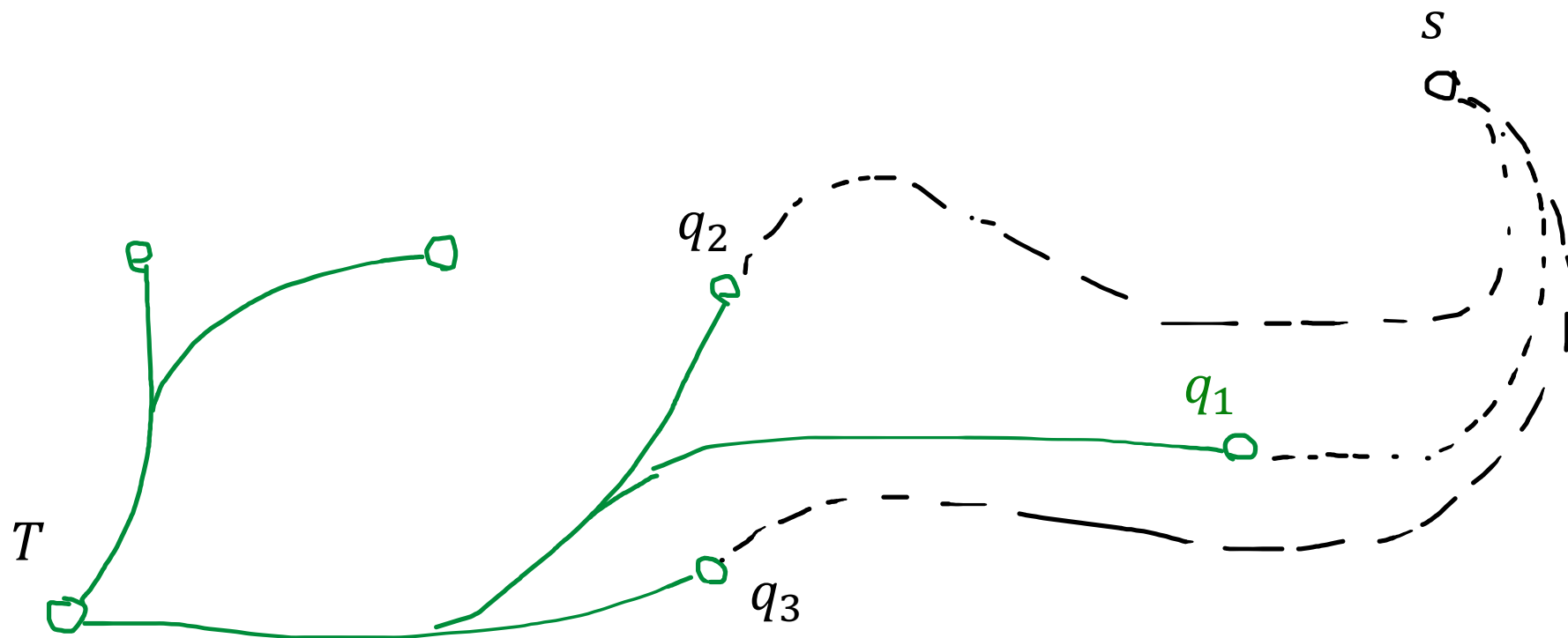
停车场：对车的前方区域与停车点的前方区域用高斯分布覆盖



单行道掉头：按照三点掉头法则，分阶段设计采样分布

Closed-Loop RRT (CL-RRT)

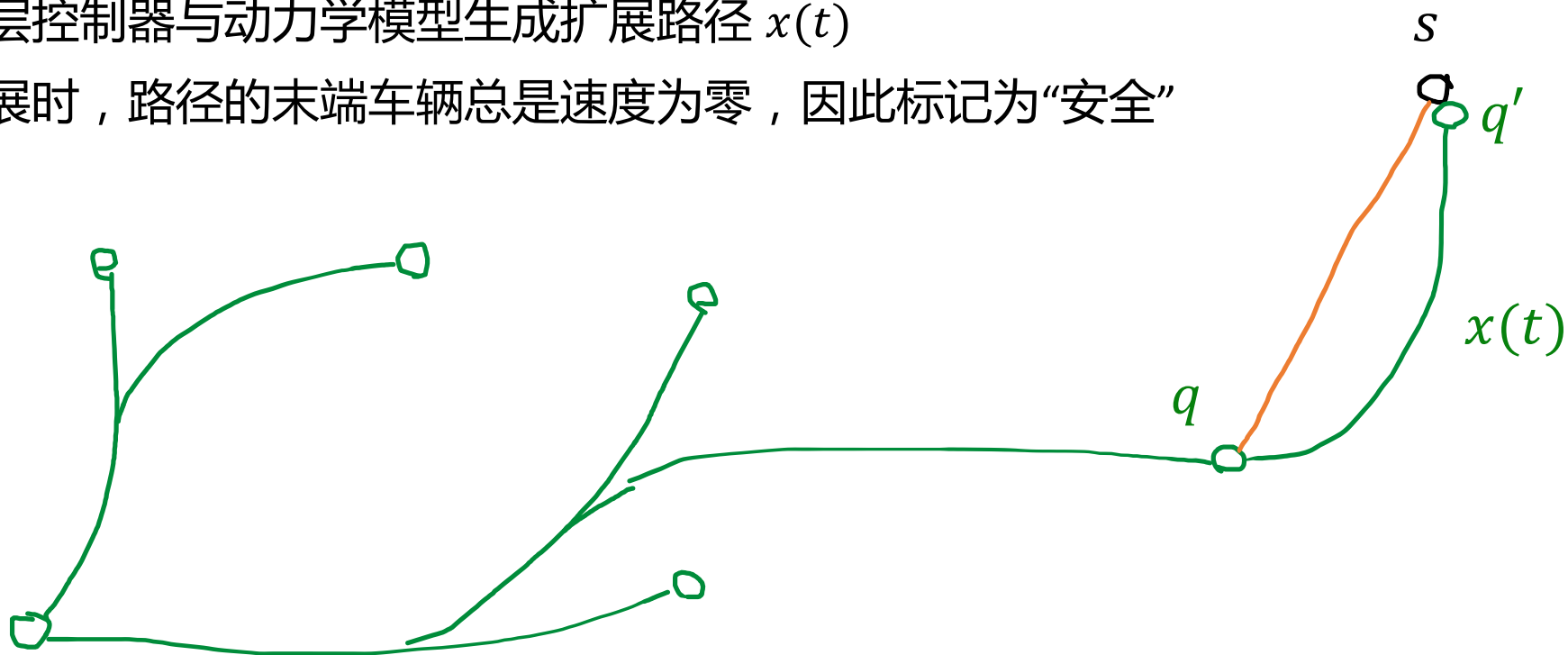
- 扩展策略：给定一个采样，根据 Dubins curve 的长度计算与树中顶点的距离，并给顶点排序



Closed-Loop RRT (CL-RRT)

扩展策略：优先扩展最近距离的顶点

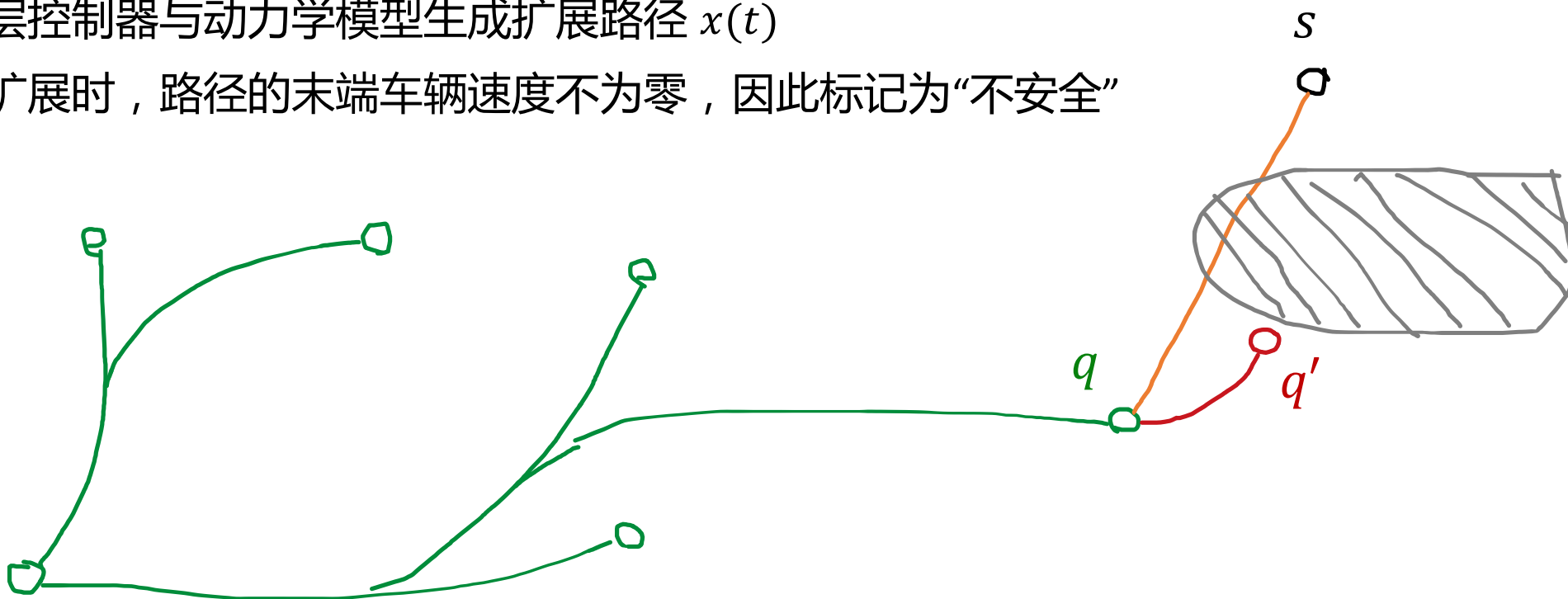
- 通过连接 q 和 s 构造参考轨迹
- 利用底层控制器与动力学模型生成扩展路径 $x(t)$
- 完全扩展时，路径的末端车辆总是速度为零，因此标记为“安全”



Closed-Loop RRT (CL-RRT)

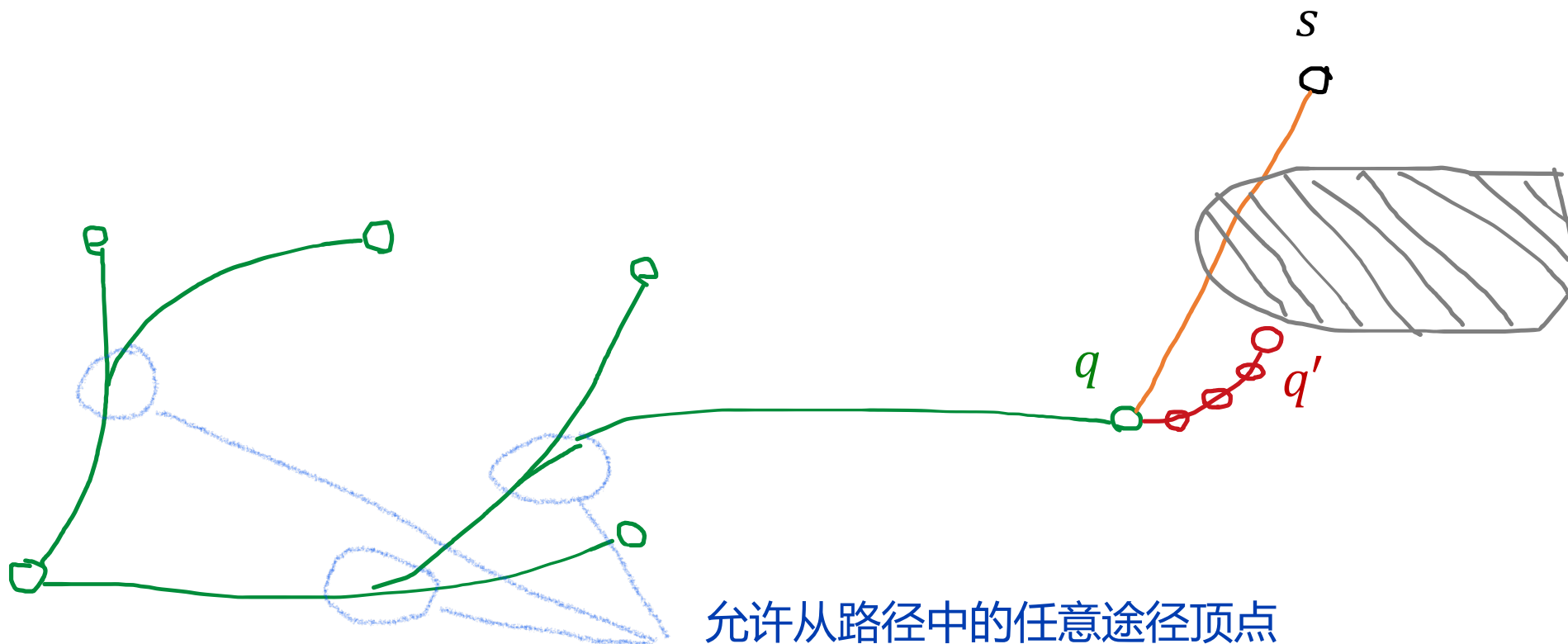
扩展策略：优先扩展最近距离的顶点

- 通过连接 q 和 s 构造参考轨迹
- 利用底层控制器与动力学模型生成扩展路径 $x(t)$
- 不完全扩展时，路径的末端车辆速度不为零，因此标记为“不安全”



Closed-Loop RRT (CL-RRT)

- ④ **扩展策略**：每次扩展时，会添加一串途径顶点，以允许从途径点扩展路径



允许从路径中的任意途径顶点
(车速不为0) 扩展

Closed-Loop RRT (CL-RRT)

⊗ 执行逻辑伪代码：

Algorithm 2 Execution loop of RRT.

```
1: repeat
2:   Update the current vehicle states  $x_0$  and environmental
   constraints  $\mathcal{X}_{\text{free}}(t)$ 
3:   Propagate the states by the computation time and obtain
    $x(t_0 + \Delta t)$ 
4:   repeat
5:     Expand_tree()
6:   until time limit  $\Delta t$  is reached
7:   Choose the best safe node sequence in the tree
8:   if No such sequence exists then
9:     Send E-Stop to controller and goto line 2
10:  end if
11:  Repropagate from the latest states  $x(t_0 + \Delta t)$  using
   the  $\mathbf{r}$  associated with the best node sequence, and obtain
    $x(t)$ ,  $t \in [t_1, t_2]$ 
12:  if  $x(t) \in X_{\text{free}}(t) \forall t \in [t_1, t_2]$  then
13:    Send the best reference path  $\mathbf{r}$  to controller
14:  else
15:    Remove the infeasible portion and its children from
    the tree, and goto line 7
16:  end if
17: until the vehicle reaches goal
```

预测下一时间步的状态 (interleaving planning and execution)

RRT 树搜索

若有解，选择最优的“安全”路径

若无解，选择紧急停车

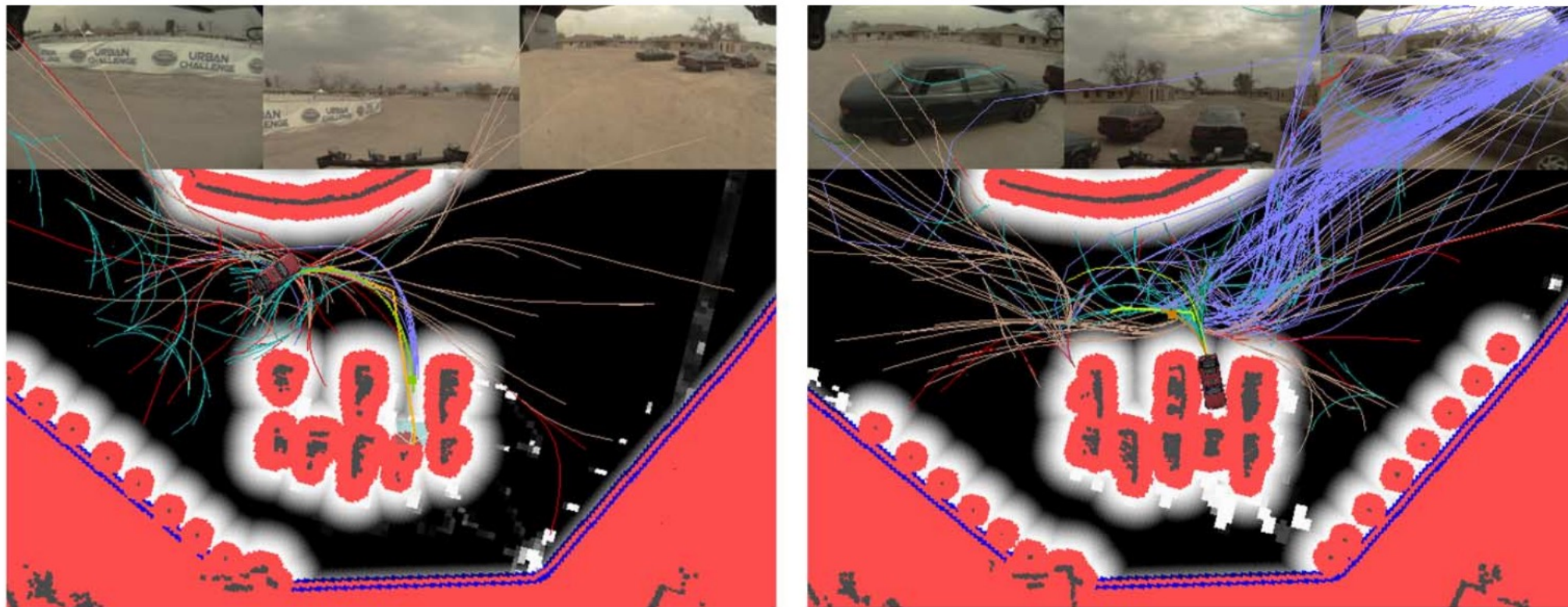
模拟最优控制序列，得到参考轨迹 $x(t)$

若无碰撞，给运动控制器执行

若有碰撞，在树中找其他最优路径 (why?)

直到车辆到达终点

CL-RRT 效果演示 - 停车



紫色：到达goal的前向轨迹

浅棕色：未到达goal的前向轨迹

蓝绿色：倒车轨迹

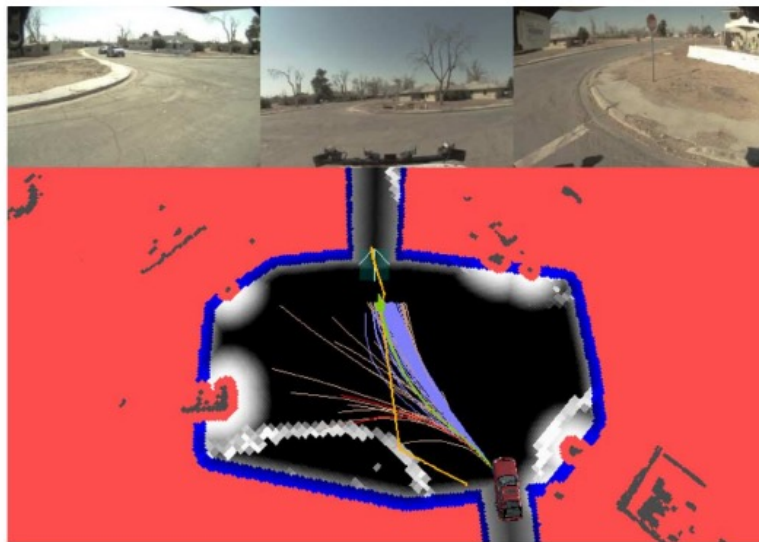
红色：不安全轨迹

绿色：最优轨迹

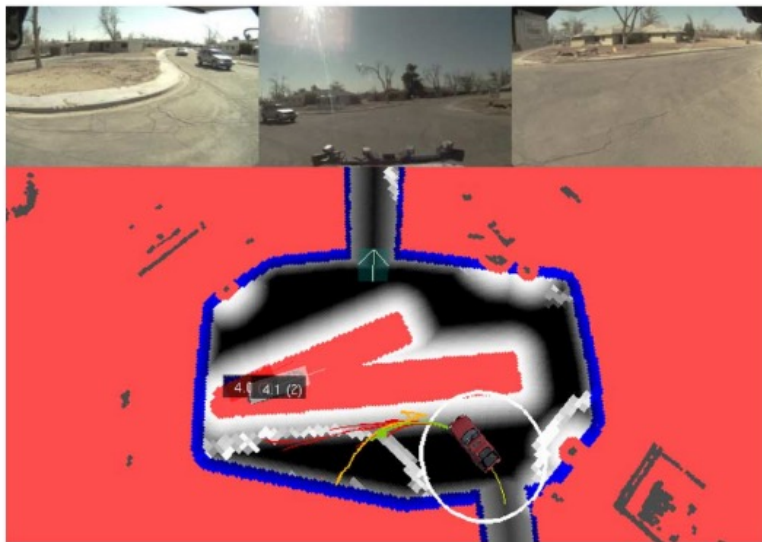
CL-RRT 效果演示 - 十字路口



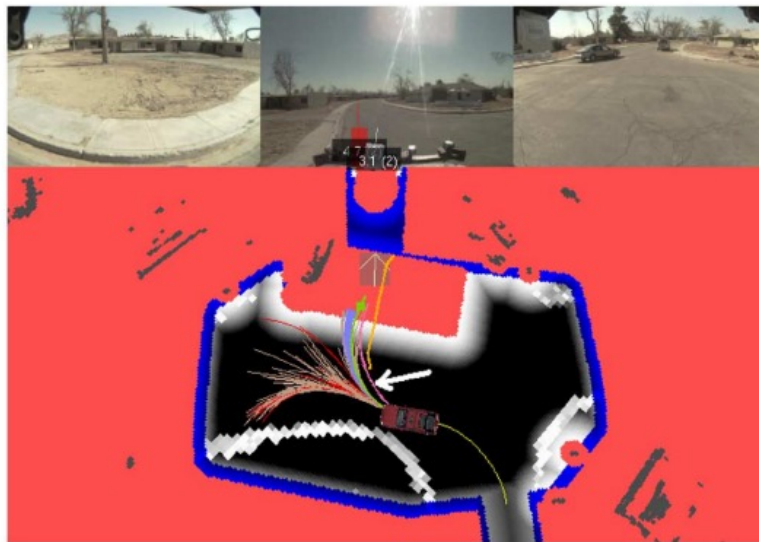
(a) Odin approaches the intersection, Talos stopped at t_0 .



(b) Odin stops at intersection, Talos starts maneuver at t_1 .



(c) Odin moves into intersection, Talos detected potential collision and executes avoidance maneuver at t_2 .



(d) Odin clears intersection, Talos proceeds through intersection at t_3 .

紫色：到达goal的前向轨迹
浅棕色：未到达goal的前向轨迹
蓝绿色：倒车轨迹
红色：不安全轨迹
绿色：最优轨迹

第九讲总结

④ 自动驾驶路径规划算法

- Hybrid A*
- Conformal lattice planner

④ 动态环境中的规划

- 运动预测
- 时空搜索

④ 自动驾驶速度曲线生成

- 目标速度分布
- 线性、梯形

④ 基于采样的运动规划算法

- PRM
- RRT
- 自动驾驶：CL-RRT

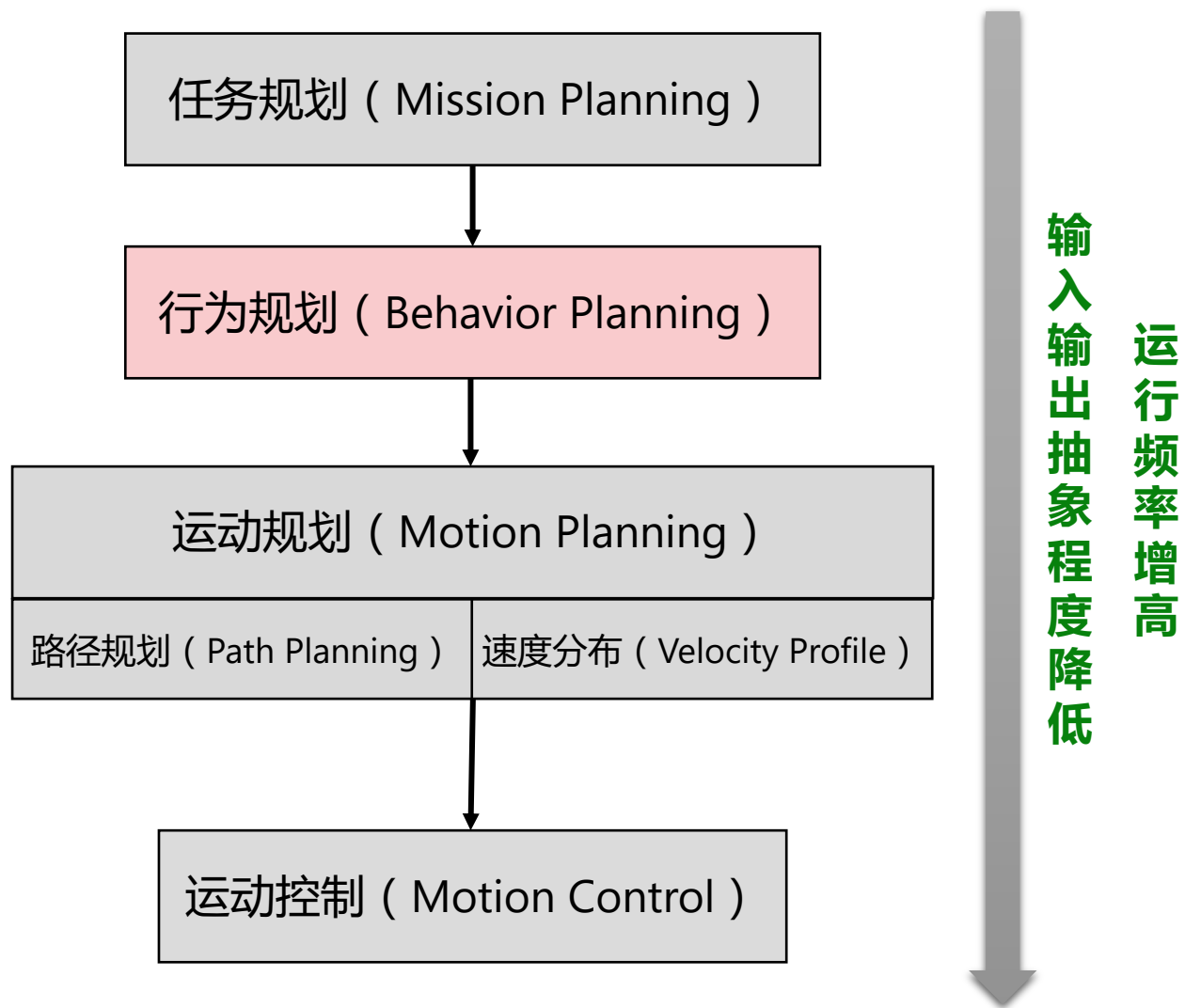
第九讲扩展阅读

- ④ **Conformal Lattice Planner** : M. Mcnaughton, C. Urmson, J. M. Dolan, and J.-W. Lee, “Motion planning for autonomous driving with a conformal spatiotemporal lattice,” 2011 IEEE International Conference on Robotics and Automation, 2011.
- ④ **螺旋线求解边界值问题** : A. Kelly and B. Nagy, “Reactive Nonholonomic Trajectory Generation via Parametric Optimal Control,” The International Journal of Robotics Research, vol. 22, no. 7, pp. 583–601, 2003.
- ④ **行人运动预测 survey** : Rudenko, Andrey, Luigi Palmieri, Michael Herman, Kris M. Kitani, Darius M. Gavrila, and Kai O. Arras. "Human motion trajectory prediction: A survey." The International Journal of Robotics Research 39, no. 8 (2020): 895-935.
- ④ **交通运动预测（深度学习，MRTR）** : Gan, Yiqian, Hao Xiao, Yizhe Zhao, Ethan Zhang, Zhe Huang, Xin Ye, and Lingting Ge. "MGTR: Multi-granular transformer for motion prediction with lidar." arXiv preprint arXiv:2312.02409 (2023).
- ④ **交通运动预测（约束优化，GAMMA）** : Luo, Yuanfu, Panpan Cai, Yiyuan Lee, and David Hsu. "Gamma: A general agent motion model for autonomous driving." IEEE Robotics and Automation Letters 7, no. 2 (2022): 3499-3506.

第九讲扩展阅读

- ④ **PRM**: Kavraki, Lydia E., Petr Svestka, J-C. Latombe, and Mark H. Overmars. "Probabilistic roadmaps for path planning in high-dimensional configuration spaces." IEEE transactions on Robotics and Automation 12, no. 4 (1996): 566-580.
- ④ **RRT-connect**: An efficient approach to single-query path planning. J. J. Kuffner and S. M. LaValle. In Proceedings IEEE International Conference on Robotics and Automation, pages 995-1001, 2000.
- ④ **RRT* 与 PRM*** : Karaman, Sertac, and Emilio Frazzoli. "Sampling-based algorithms for optimal motion planning." The international journal of robotics research 30, no. 7 (2011): 846-894. Karaman, Sertac, and Emilio Frazzoli. "Sampling-based algorithms for optimal motion planning." The international journal of robotics research 30, no. 7 (2011): 846-894.
- ④ **CL-RRT**: Kuwata, Yoshiaki, Justin Teo, Gaston Fiore, Sertac Karaman, Emilio Frazzoli, and Jonathan P. How. "Real-time motion planning with applications to autonomous urban driving." IEEE Transactions on control systems technology 17, no. 5 (2009): 1105-1118.
- ④ **基于RRT的最新轨迹规划研究** : Shen, Congkai, Siyuan Yu, Bogdan I. Epureanu, and Tulga Ersal. "An Efficient Global Trajectory Planner for Highly Dynamical Nonholonomic Autonomous Vehicles on 3D Terrains." IEEE Transactions on Robotics (2023).
- ④ **基于PRM + MPC 的最新运动规划研究** : de Groot, Oscar, Laura Ferranti, Dariu Gavrilă, and Javier Alonso-Mora. "Topology-Driven Parallel Trajectory Optimization in Dynamic Environments." arXiv preprint arXiv:2401.06021 (2024).

层级式自动驾驶规划架构



第十讲：决策规划



蔡盼盼 副教授
上海交通大学清源研究院

研究领域：机器人规划、机器人学习、自动驾驶

邮箱：Cai_panpan@sjtu.edu.cn

网站：<https://cindycia.github.io/>



确定性环境与随机环境

① 确定性环境：

- 可以准确预测环境动态（自车的行为结果与障碍物的运动）

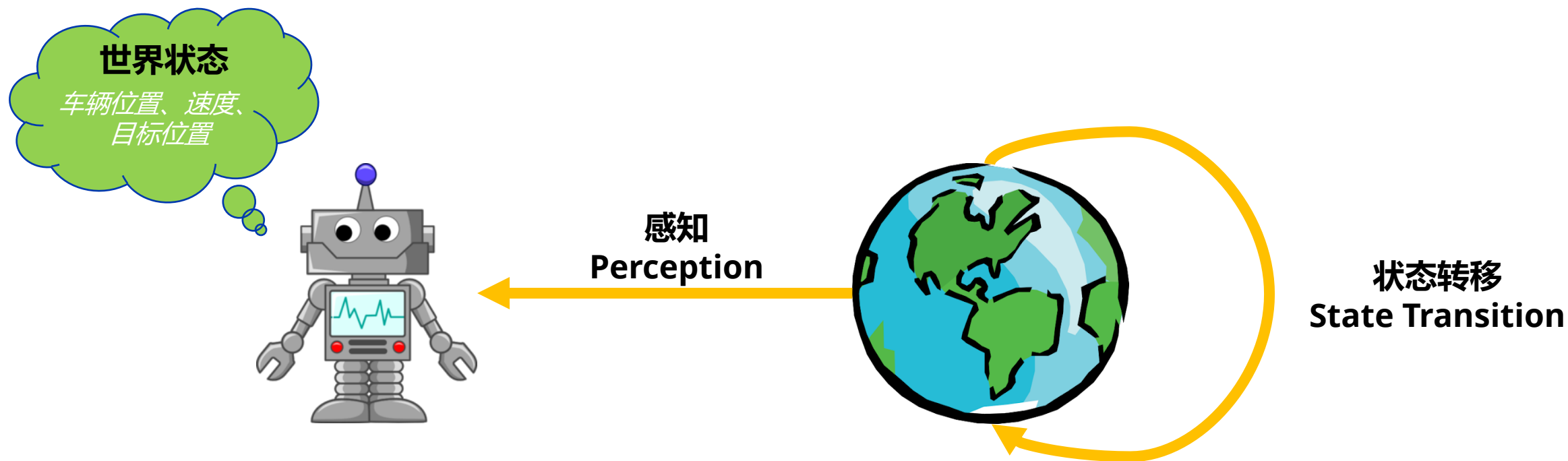
② 随机环境：

- 无法准确预测环境动态（自车的行为结果与障碍物的运动）

机器人与随机环境的交互

被动观察：

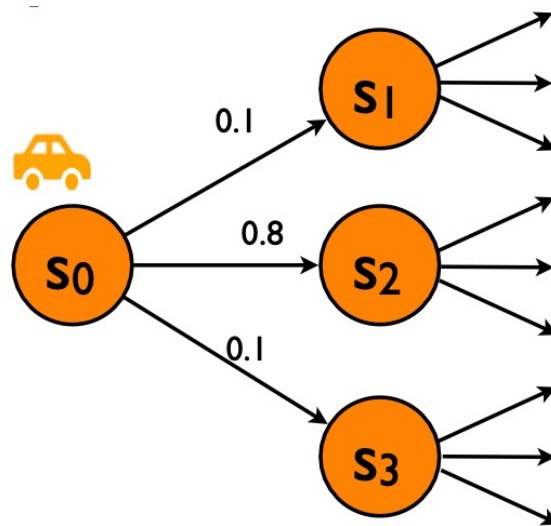
- 车辆停在十字路口，观察其他车辆和行人的行为（感知）



马尔科夫链 (Markov Chain)

④ Markov chain 包含两个基本元素：

- S : 状态空间
 - 状态 s 可以表示场景中所有人、车所在的几何状态、行为状态
- $T(s, s') = p(s'|s)$: 状态转移函数
 - 表达状态转移的**随机性**：若当前世界处在状态 s , 下一步转移到状态 s' 的概率是多少？



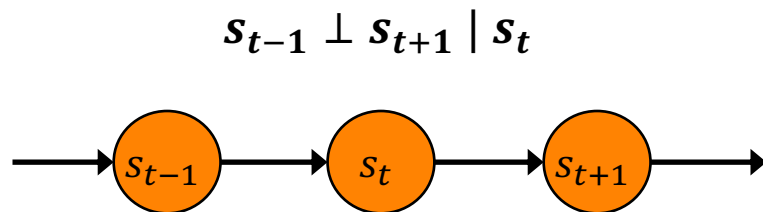
$P(s'|s)$:

	S0	S1	S2	S3
S0	0	0.1	0.8	0.1
S1	...			
S2	...			
S3	...			

马尔科夫链 (Markov Chain)

假设：

1. 离散时间
 - 用离散时间步近似地表征连续时间
2. 马尔科夫性 (Markovian)
 - 当给定当前状态时，过去状态与未来状态为独立的随机变量
 - Markov chain的动态贝叶斯图蕴含了条件独立性假设
 - Causal chain 被阻隔



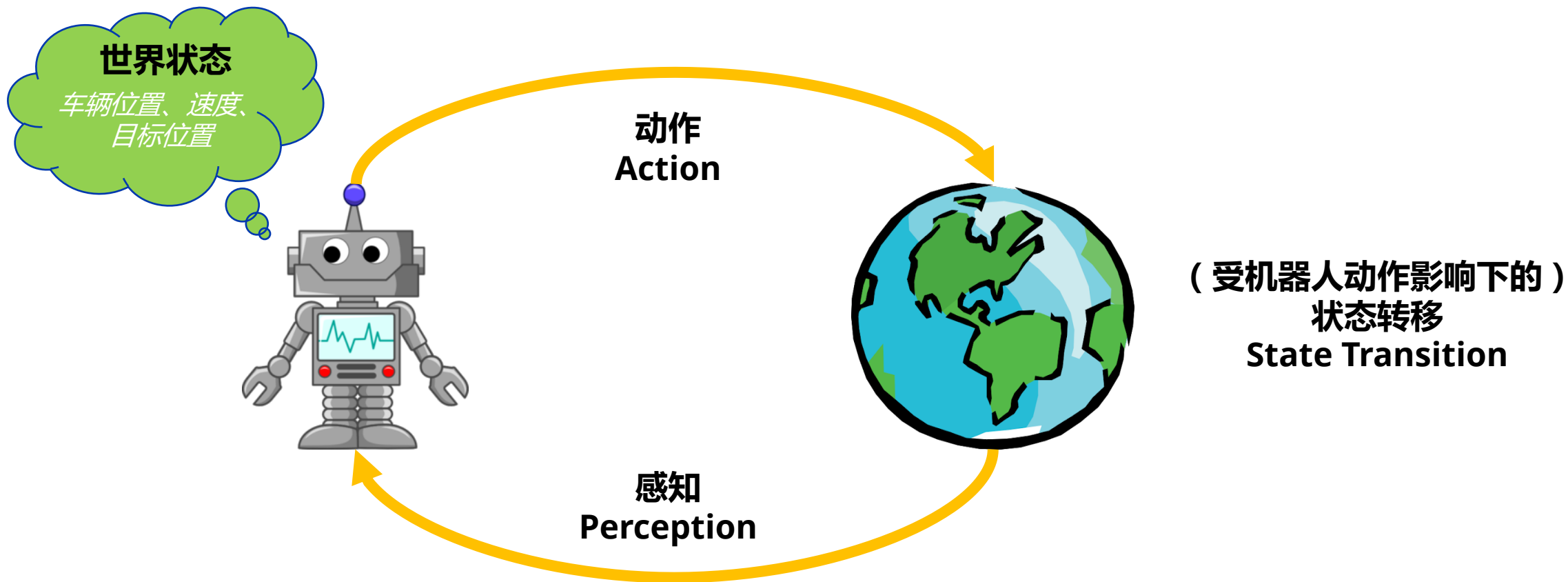
$P(s'|s)$:

	s0	s1	s2	s3
s0	0	0.1	0.8	0.1
s1	...			
s2	...			
s3	...			

机器人与随机环境的交互

① 主动交互：

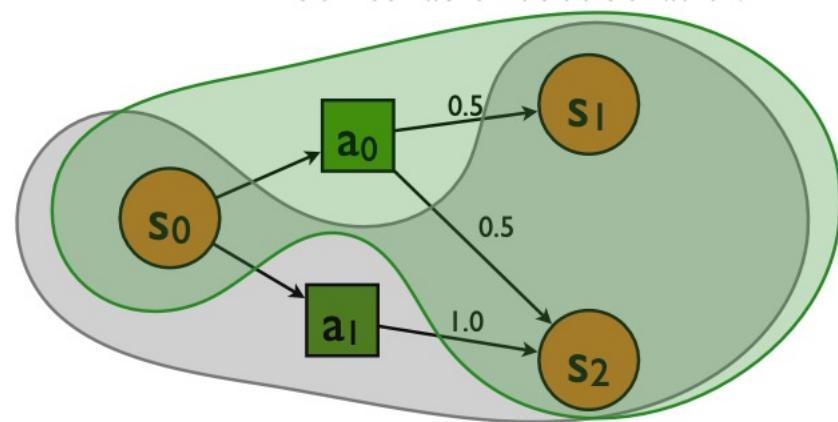
- 车辆观察其他车辆和行人的行为（感知），并找机会穿过十字路口（动作）



马尔科夫决策过程 (Markov Decision Process)

④ MDP 包含了一下四个元素：

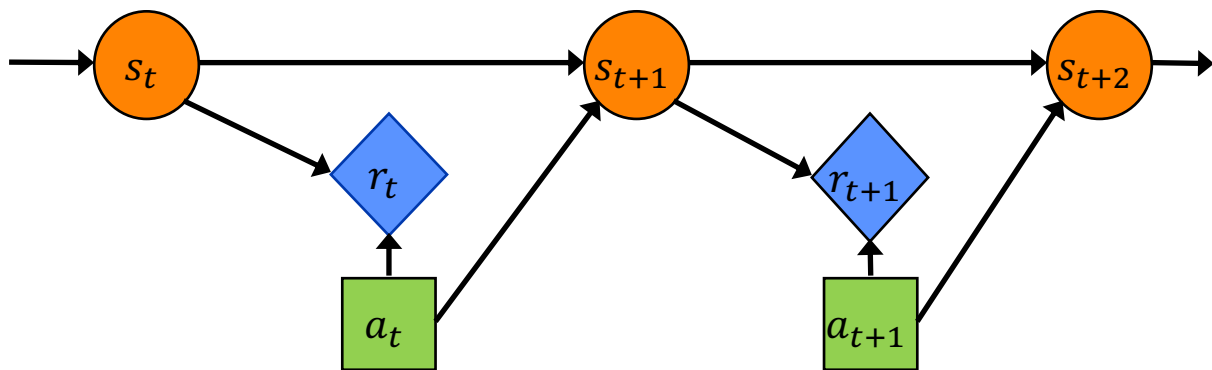
- S : 状态空间
 - 状态 s 可以表示场景中所有人、车所在的几何、行为状态
- A : 动作空间
 - 动作 a 可以表示自车的行为
 - 底层行为：方向盘角度、加速度
 - 高层行为：跟车、变道、避让, ...
- $T(s, a, s') = p(s'|s, a)$: 状态转移函数
 - 表达机器人行为带来的不确定性结果：若当前世界处在状态 s , 机器人执行动作 a , 世界下一步转移到状态 s' 的概率是多少？
- $R(s, a)$: 奖励函数
 - 表达机器人任务：若机器人在世界状态 s 执行动作 a , 所获得的即时奖励是多少？
 - 例：碰撞 (-30000) , 到达终点 (+100) , 变道 (-4) , ...



马尔科夫决策过程 (Markov Decision Process)

假设：

1. 离散时间：用离散时间步近似地表征连续时间
2. 马尔科夫性 (Markovian)：当给定当前状态时，过去状态与未来状态为独立的随机变量
 - MDP 的动态贝叶斯图蕴含了独立性假设
 - Causal chain 通路被阻隔
 - Common Cause 通路被阻隔



发生了什么事？

$$s_{t-1} \perp s_{t+1} \mid s_t$$

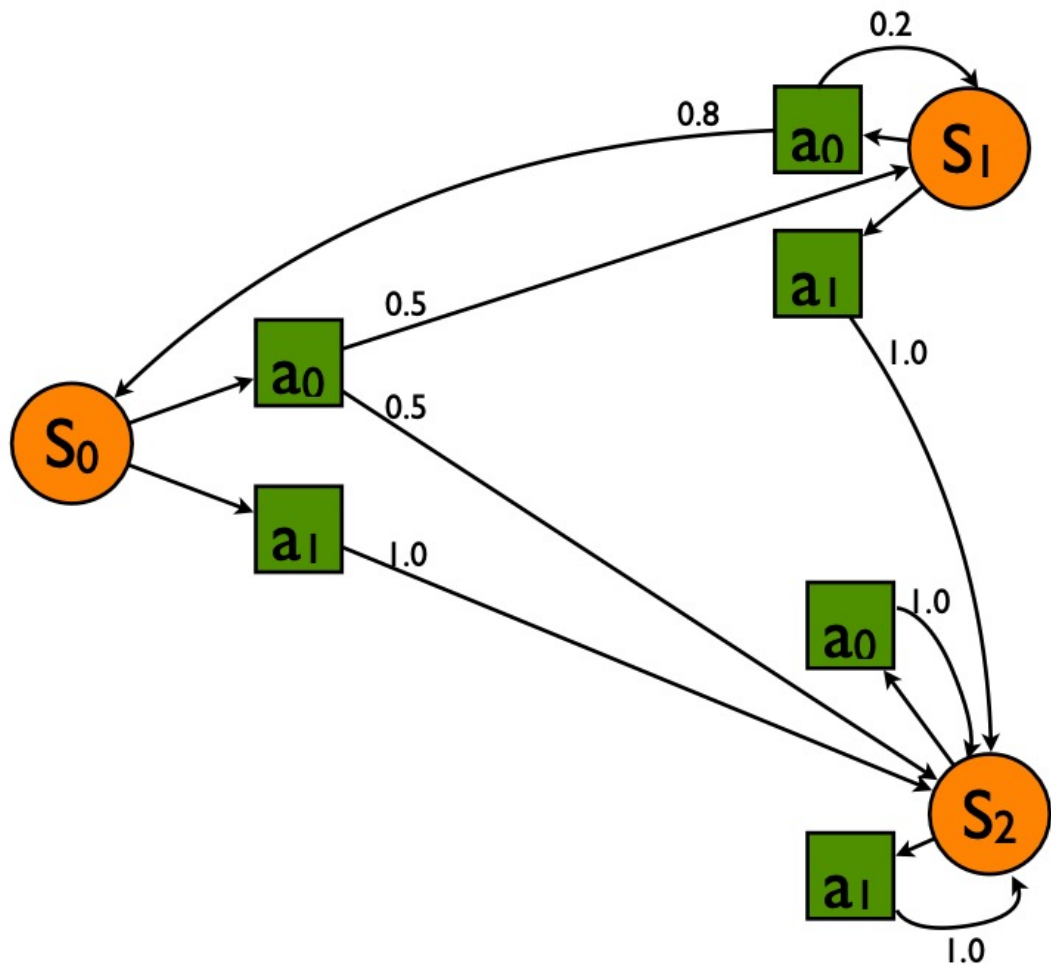
导致了什么奖励/惩罚？

$$s_{t-1} \perp r_t \mid s_t$$

机器人应当如何决策？

$$s_{t+1} \perp r_t \mid s_t$$

MDP 状态空间图



s_2 是一个吸收状态 (absorbing state) !

- 进入 s_2 后逃离的概率为0
- 在 s_1 执行 a_1 一定会进入 s_2
- 在 s_0 执行 a_1 也一定会进入 s_2
- 不断执行 a_0 在 s_0 与 s_1 之间循环？
 - 每次循环都有 $0.8 \cdot 0.5$ 的概率落入 s_2
 - 随着时间趋于无穷，落入 s_2 的概率将趋于1

有限时域 MDP 规划 (Finite horizon MDP planning)

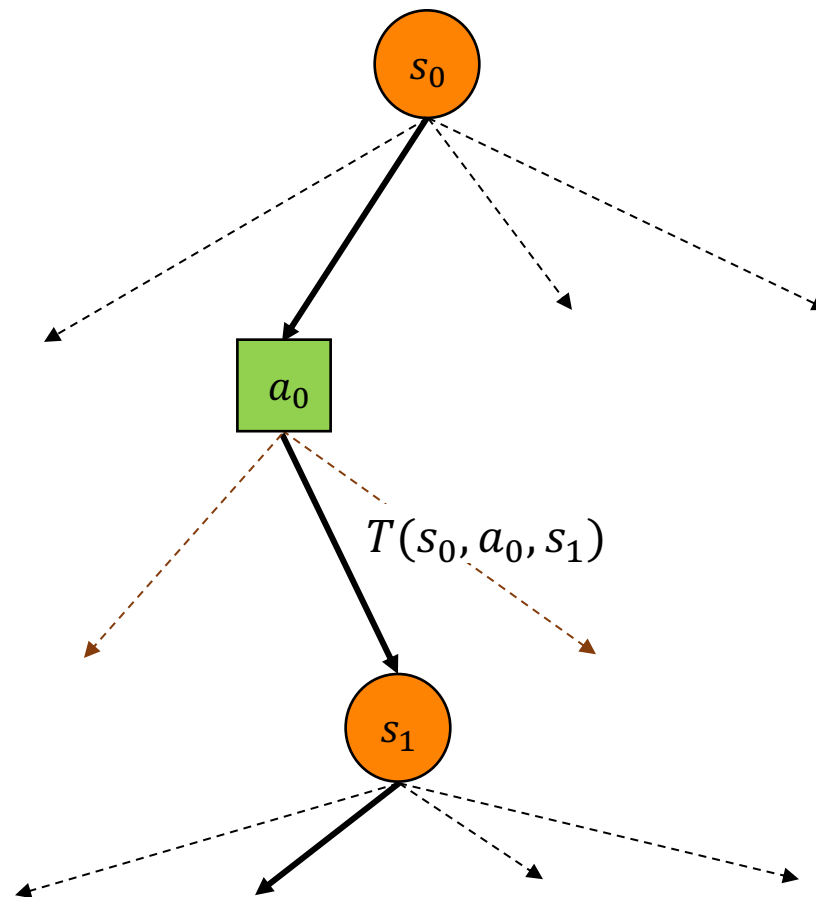
④ 找到一条动作序列，使得某个前瞻时域内的价值最大化

- **时域 (horizon)** : 前瞻的时间步数
- **价值 (value)** : 沿着动作序列的累积奖励的期望值

$$V = \mathbb{E} \left[\sum_{t=0}^H \gamma^t R(s_t, a_t) \right]$$

对所有可能发生的
轨迹求期望值

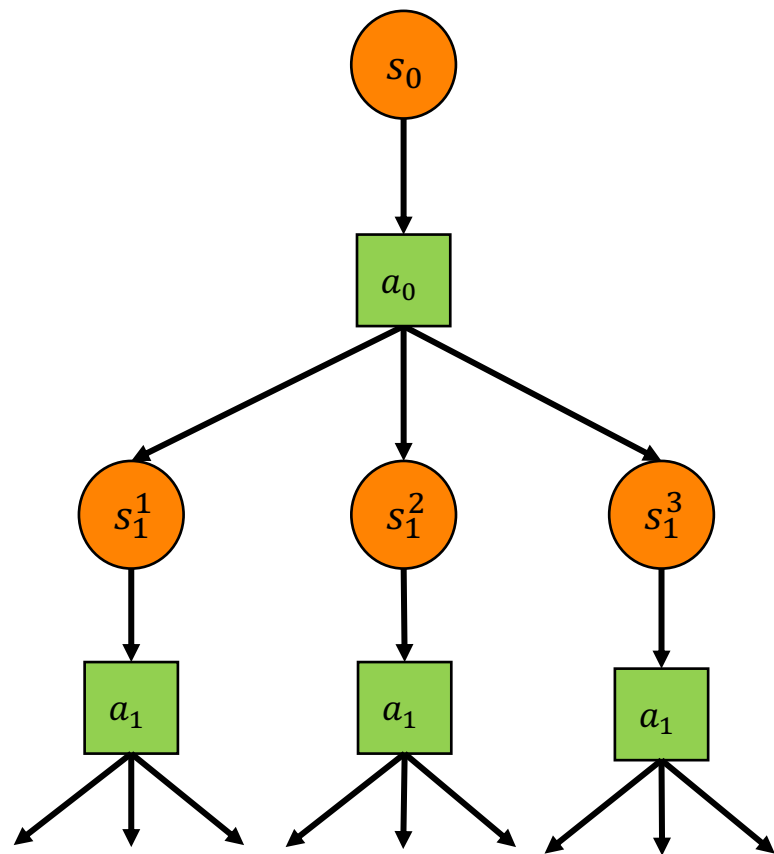
对整个前瞻时域
求累积奖励



有限时域 MDP 规划的解

Finite horizon MDP的解可以表达为两种形式：

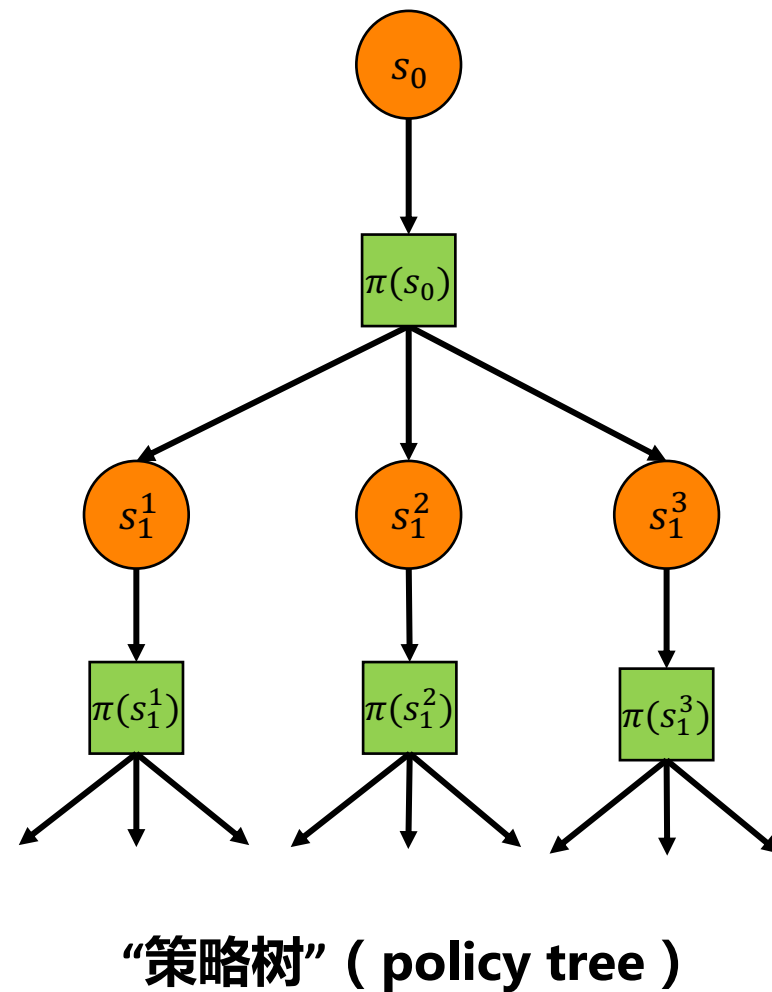
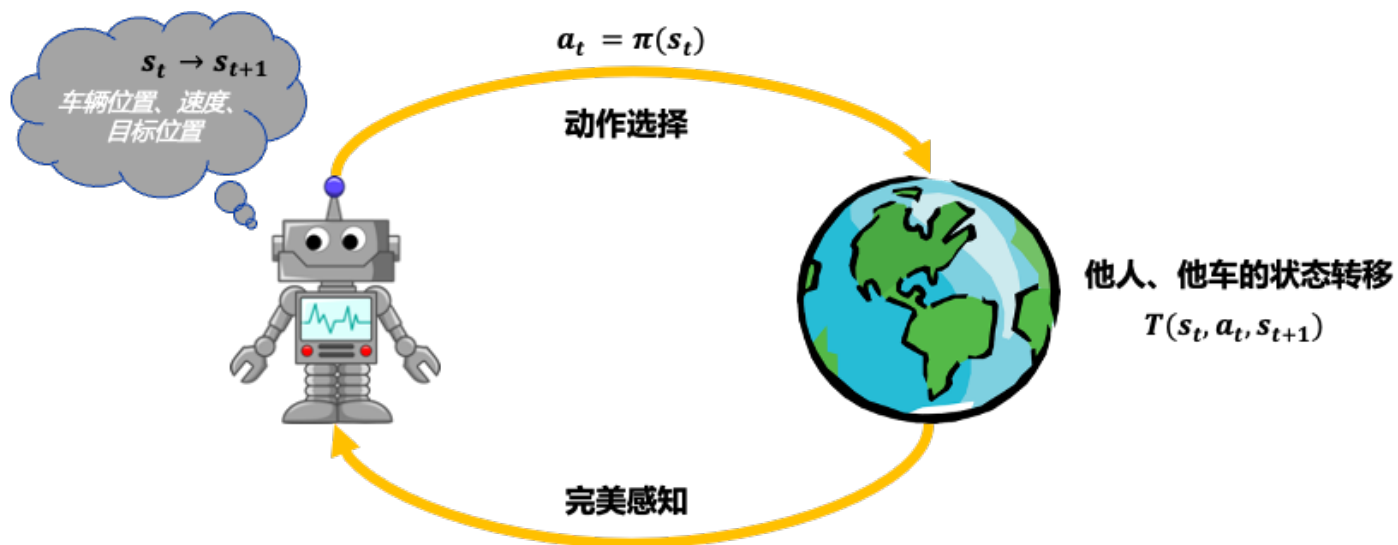
- ① **开环计划** (Open-loop plan) : $a_t = \pi(t)$
 - 针对任意时间 t , 指定一个相应的机器人动作 a_t
 - 但机器人动作对世界状态的影响结果是不确定的, 开环策略无法根据未来可能的情况灵活调整动作



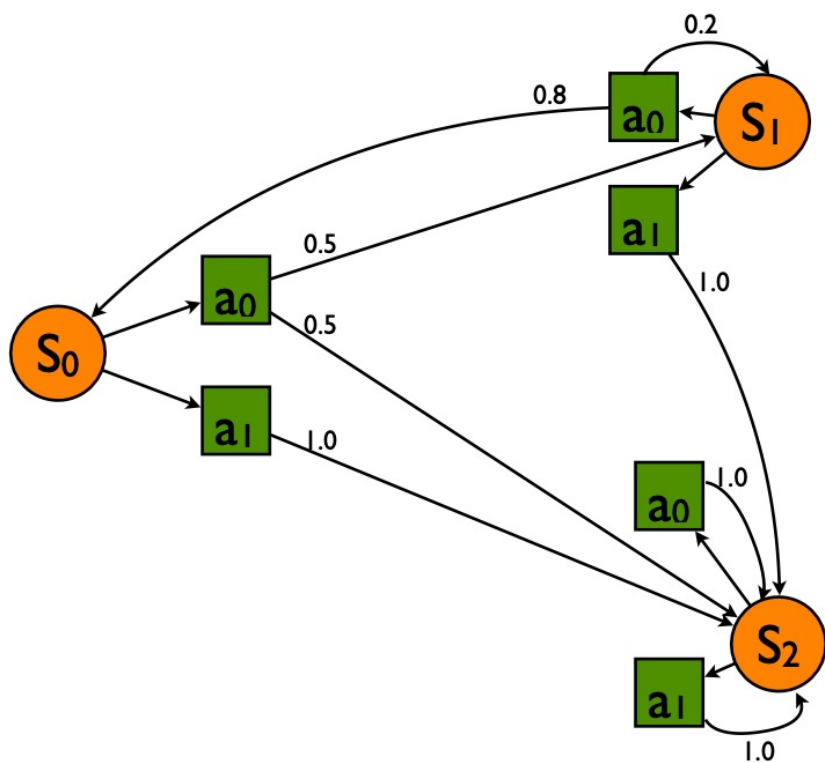
有限时域 MDP 规划的解

Finite horizon MDP的解可以表达为两种形式：

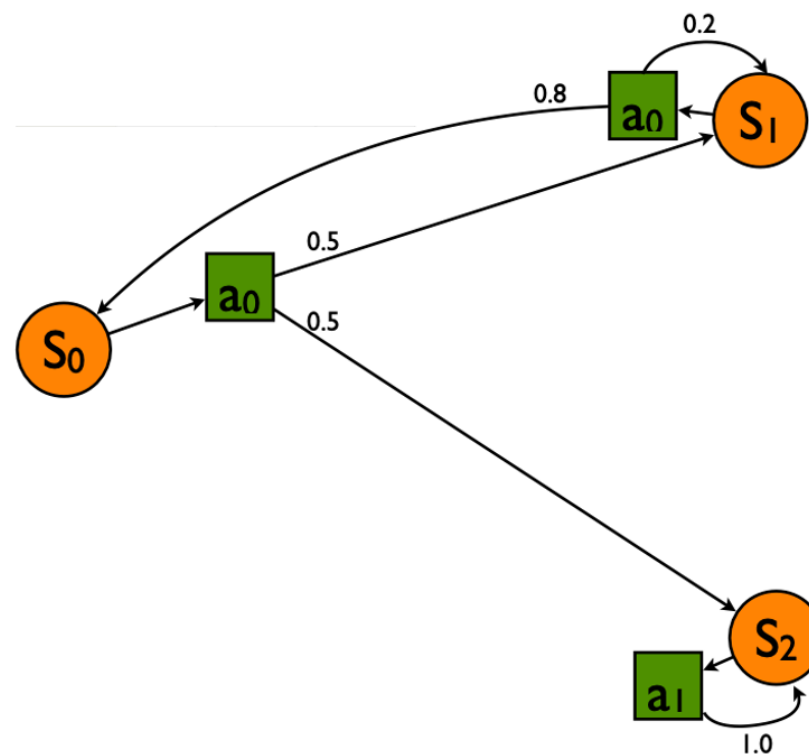
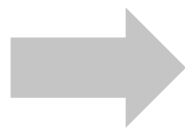
- ① **闭环计划** (Closed-loop plan) : $a_t = \pi(s_t)$
 - 根据任意的世界状态 s_t , 指定一个相应的机器人动作 a_t
 - Closed-loop plan 通常称作**策略 (policy)**



策略图 (Policy Graph)



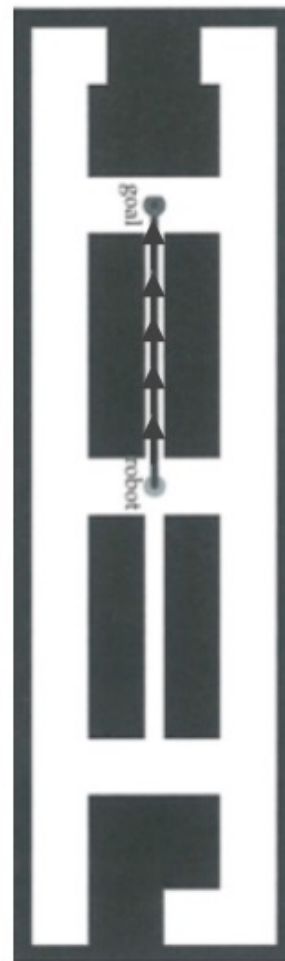
$\pi : S \rightarrow A$



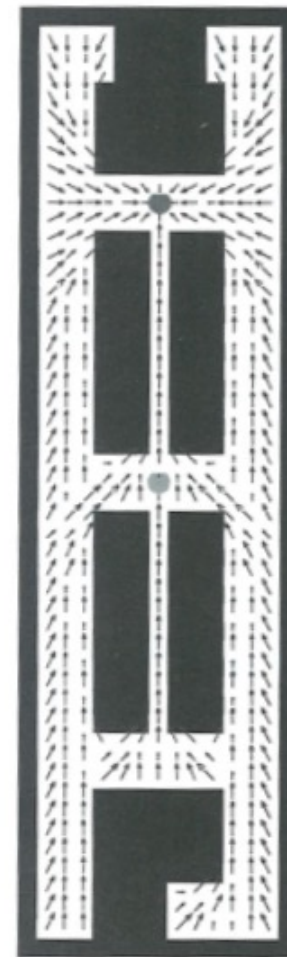
有限时域 MDP 规划的解 (例)

- ④ 开环计划 (Open-loop plan) : $a_t = \pi(t)$
 - 针对任意时间 t , 指定一个相应的机器人动作 a_t
- ④ 闭环计划/策略 (Closed-loop plan) : $a_t = \pi(s_t)$
 - 针对任意的世界状态 s_t , 指定一个相应的机器人动作 a_t
- ④ RRT 输出的是 ?
- ④ CL-RRT 输出的是 ?

open-loop



closed-loop



思考题

④ 考虑两个相似的环境：

- 第一个环境具有**确定性**的环境动态（deterministic dynamics），即每次机器人运动都导致同样的结果。
- 另一个环境具有**随机性**的环境动态（stochastic dynamics），即每次机器人运动都可能导致不同的结果。机器人以 0.9 的概率到达目的位置，以 0.1 的概率偏移到其他位置（可能落入黑色区域，reward 为 -1）。

④ 两个环境中的最优策略有何不同？

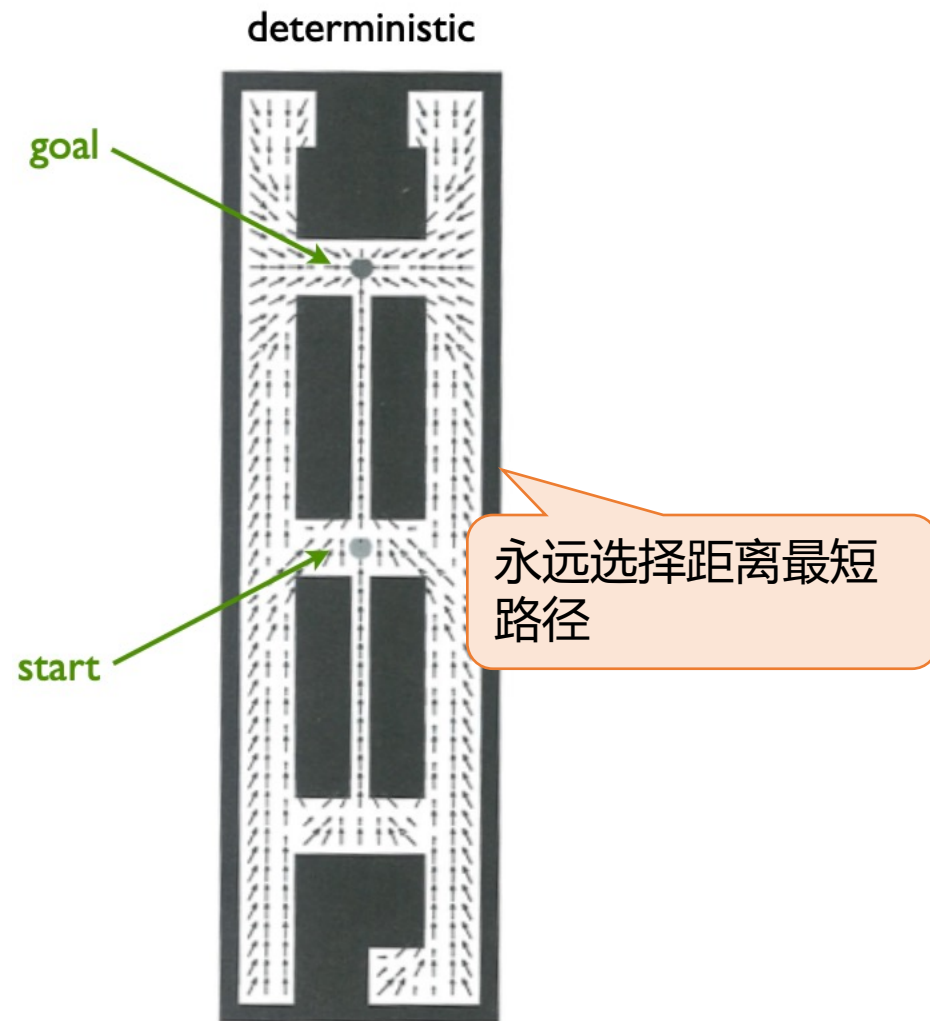


思考题

④ 考虑两个相似的环境：

- 第一个环境具有**确定性**的环境动态（deterministic dynamics），即每次机器人运动都导致同样的结果。
- 另一个环境具有**随机性**的环境动态（stochastic dynamics），即每次机器人运动都可能导致不同的结果。机器人以 0.9 的概率到达目的位置，以 0.1 的概率偏移到其他位置（可能落入黑色区域，reward 为 -1）。

④ 两个环境中的最优策略有何不同？

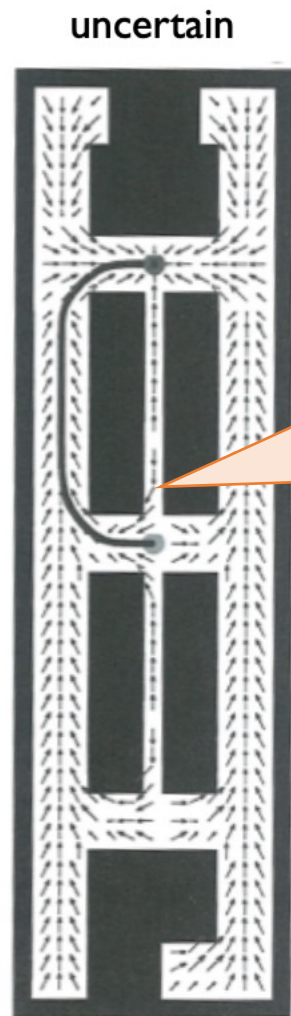


思考题

① 考虑两个相似的环境：

- 第一个环境具有**确定性**的环境动态（deterministic dynamics），即每次机器人运动都导致同样的结果。
- 另一个环境具有**随机性**的环境动态（stochastic dynamics），即每次机器人运动都可能导致不同的结果。机器人以 0.9 的概率到达目的位置，以 0.1 的概率偏移到其他位置（可能落入黑色区域，reward 为 -1）。

② 两个环境中的最优策略有何不同？



前进距离最短，但后退更加安全（奖励更高）

有限时域 MDP 规划（闭环策略版本）

④ 找到一个**最优策略**，使得某个前瞻时域内的价值最大化

- **策略价值 (value)**：执行**策略**可获得的累积奖励的期望值

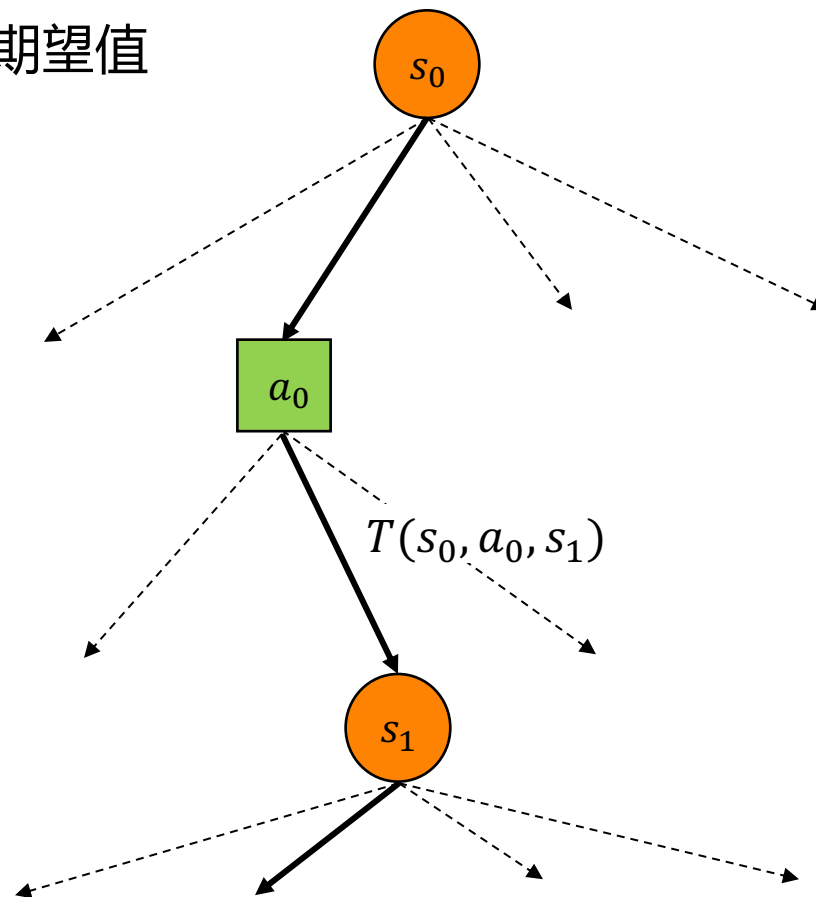
$$V^\pi(s) = \mathbb{E} \left[\sum_{t=0}^H \gamma^t R(s_t, a_t) \mid s_0 = s, a_t = \pi(s_t) \right]$$

考虑所有可能发生的轨迹

整个前瞻时域内的累积奖励

机器人始终按策略 π 选择动作

- **最优?**



有限时域 MDP 规划 (最优量)

④ **最优值** (optimal value) : 从状态 s 出发, 所能达到的最优策略价值

$$V^*(s) = \max_{\pi} V^{\pi}(s)$$

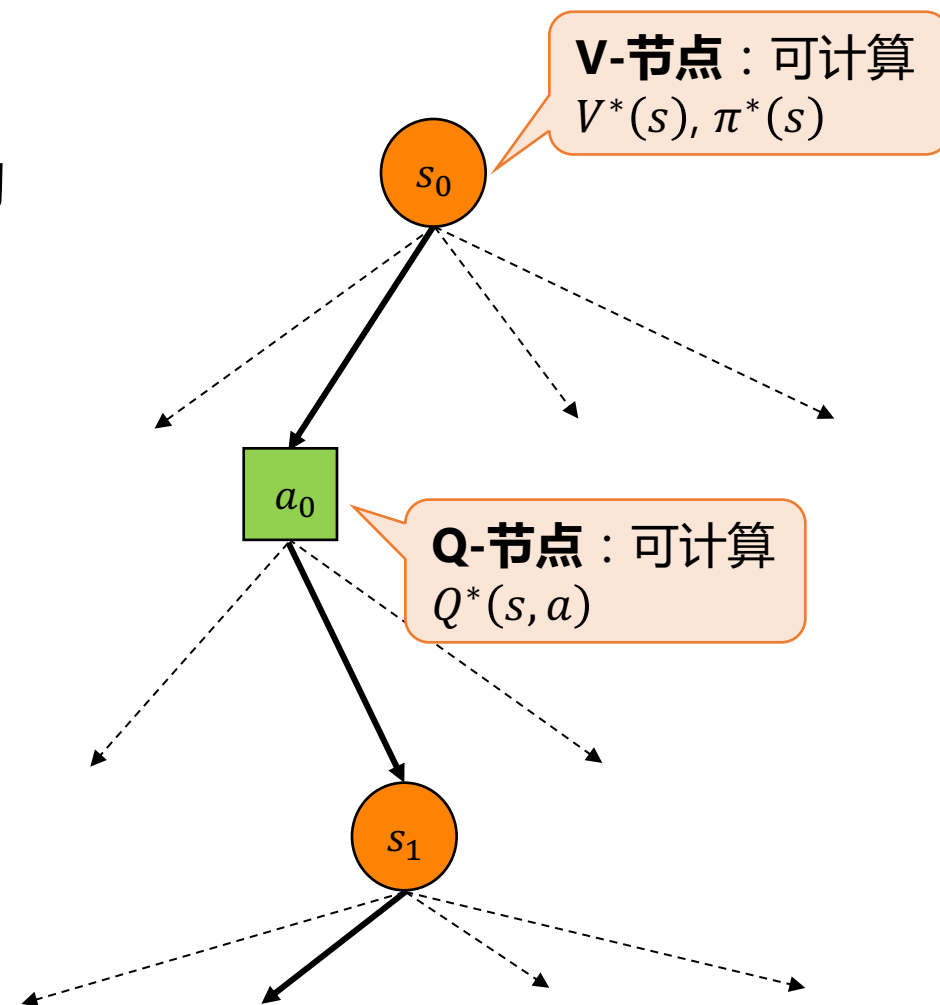
$$= \max_{\pi} \mathbb{E} \left[\sum_{i=0}^H \gamma^i R(s_i, a_i) \mid s_0 = s, a_i = \pi(s_i) \right]$$

④ **最优策略** (optimal policy) : 使值最大化的策略

$$\pi^*(s) = \operatorname{argmax}_{\pi} V^{\pi}(s)$$

④ **最优 Q 值** (optimal q-value) : 从状态 s 出发, 执行动作 a 之后, 所能达到的最优值

$$Q^*(s, a) = R(s_0, a) + \max_{\pi} \mathbb{E}[V^{\pi}(s_1)]$$



a 可以是任意动作!

最优量计算：Bellman 最优性条件

MDP的最优值满足以下充分必要条件：

① 最优值 (optimal value) 版本：

$$V^*(s) = \max_a R(s, a) + \gamma \sum_{s'} T(s, a, s') V^*(s')$$

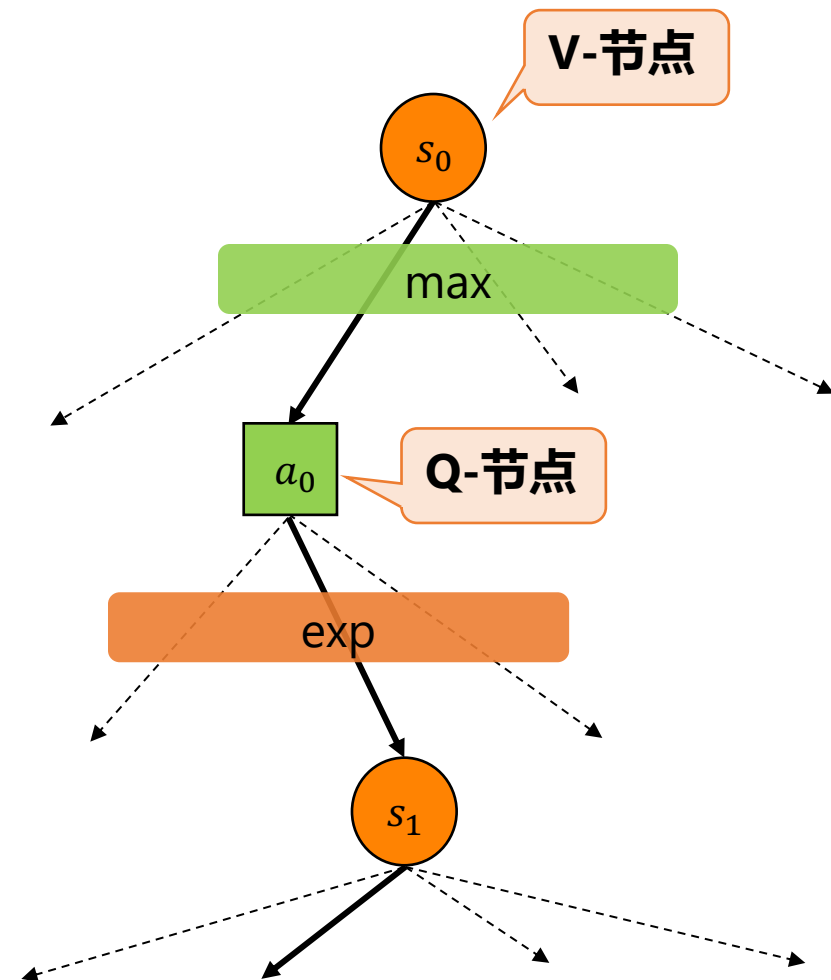
② 最优 Q 值 - V值双循环版本：

$$Q^*(s, a) = R(s, a) + \gamma \sum_{s'} T(s, a, s') V^*(s')$$

$$V^*(s) = \max_a Q^*(s, a)$$

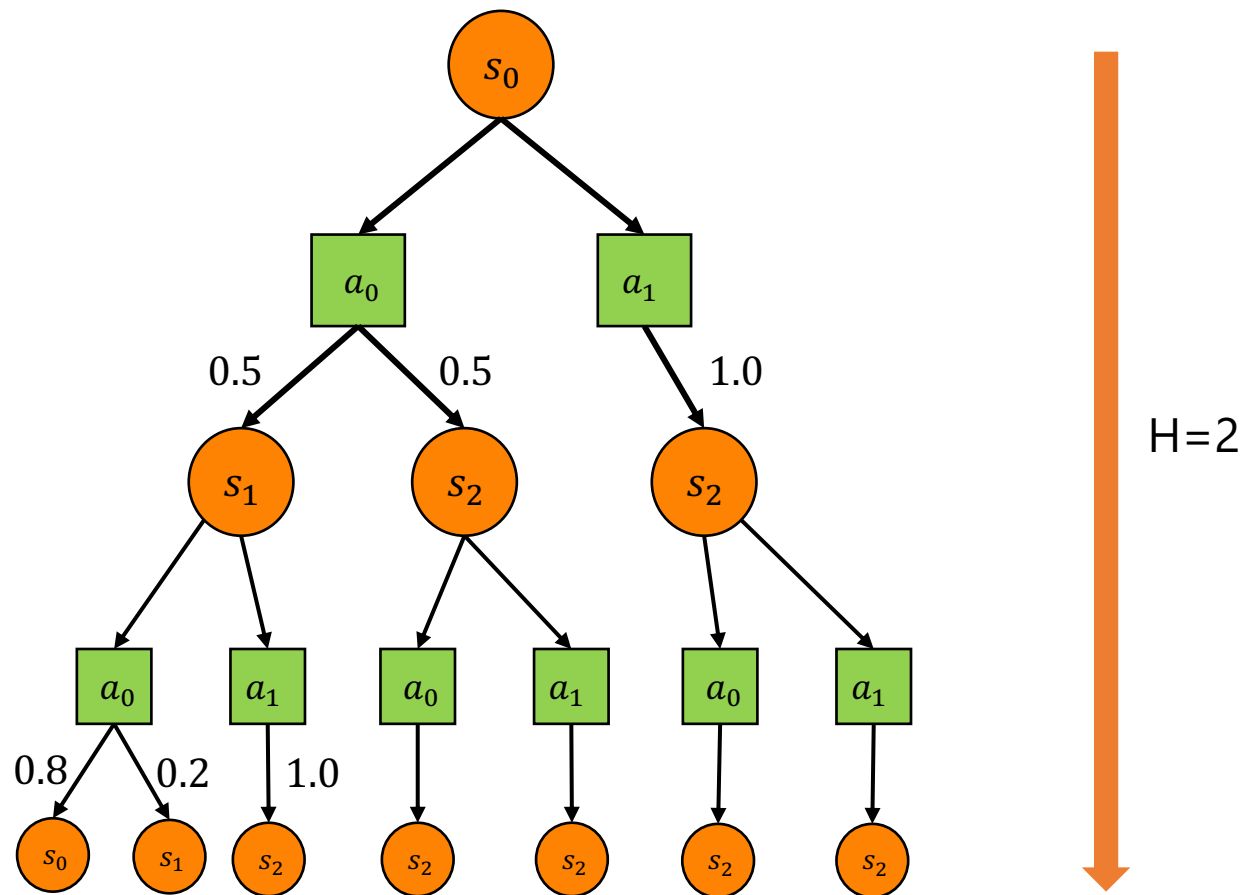
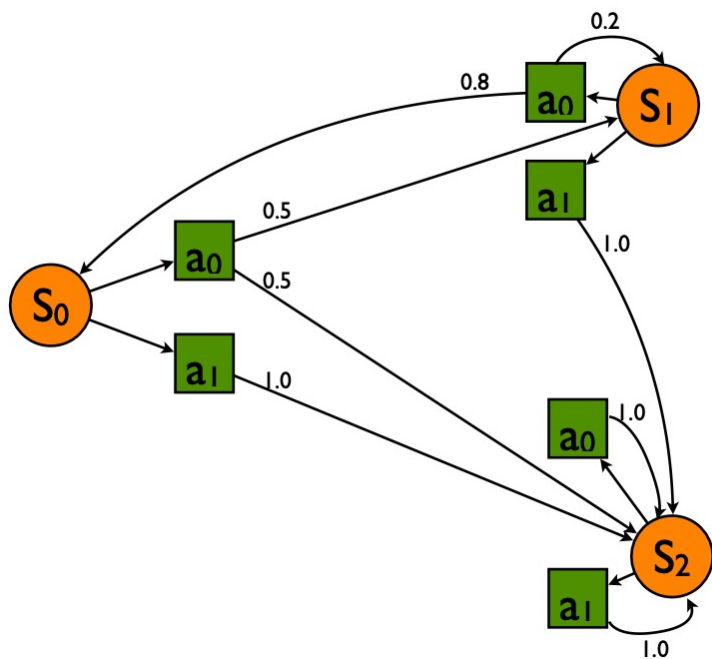
③ 最优策略 (optimal policy) 版本：

$$\pi^*(s) = \operatorname{argmax}_a Q^*(s, a)$$



MDP 规划与树搜索

前瞻时域内，所有可能的轨迹构成一棵树：



MDP规划与树搜索

在树中运用 Bellman equation , 得到

动态规划算法 :

- 在所有叶节点 s 赋值 $V(s)=0$
- 上移半层 , 对所有 Q-节点计算 :

$$Q(s, a) = R(s, a) + \sum_{s'} T(s, a, s') V(s')$$

(其中 s' 是 s 的子节点)

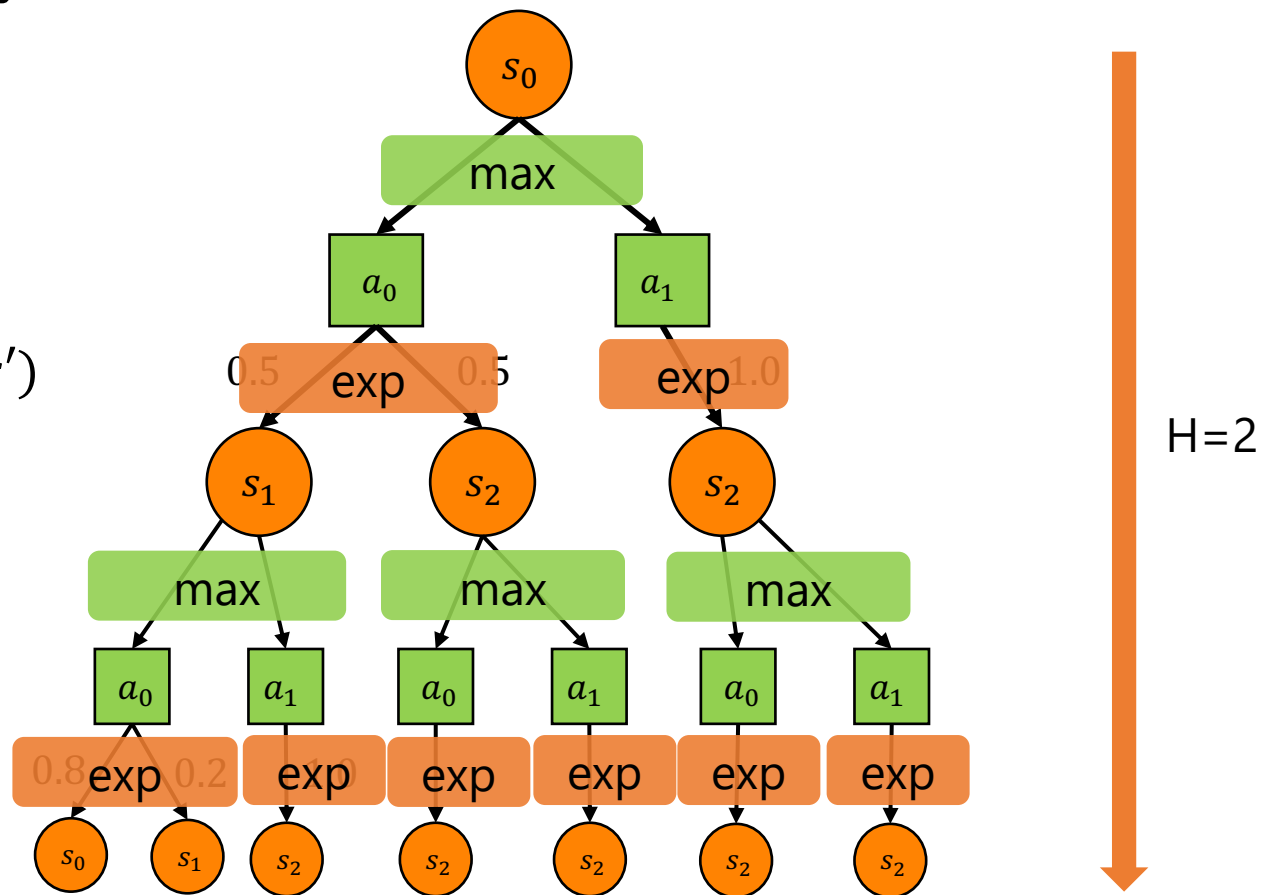
- 上移半层 , 对所有 V-节点计算 :

$$V(s) = \max_a Q(s, a)$$

(其中 a 是机器人可选择的动作)

- 循环直至处理完根节点 s_0
- 对于任意树节点 s , 最优策略为:

$$\pi(s) = \operatorname{argmax}_a Q(s, a)$$



$$V^*(s) = \max_a R(s, a) + \gamma \sum_{s'} T(s, a, s') V^*(s')$$

动态规划算法的优缺点

④ 优点：

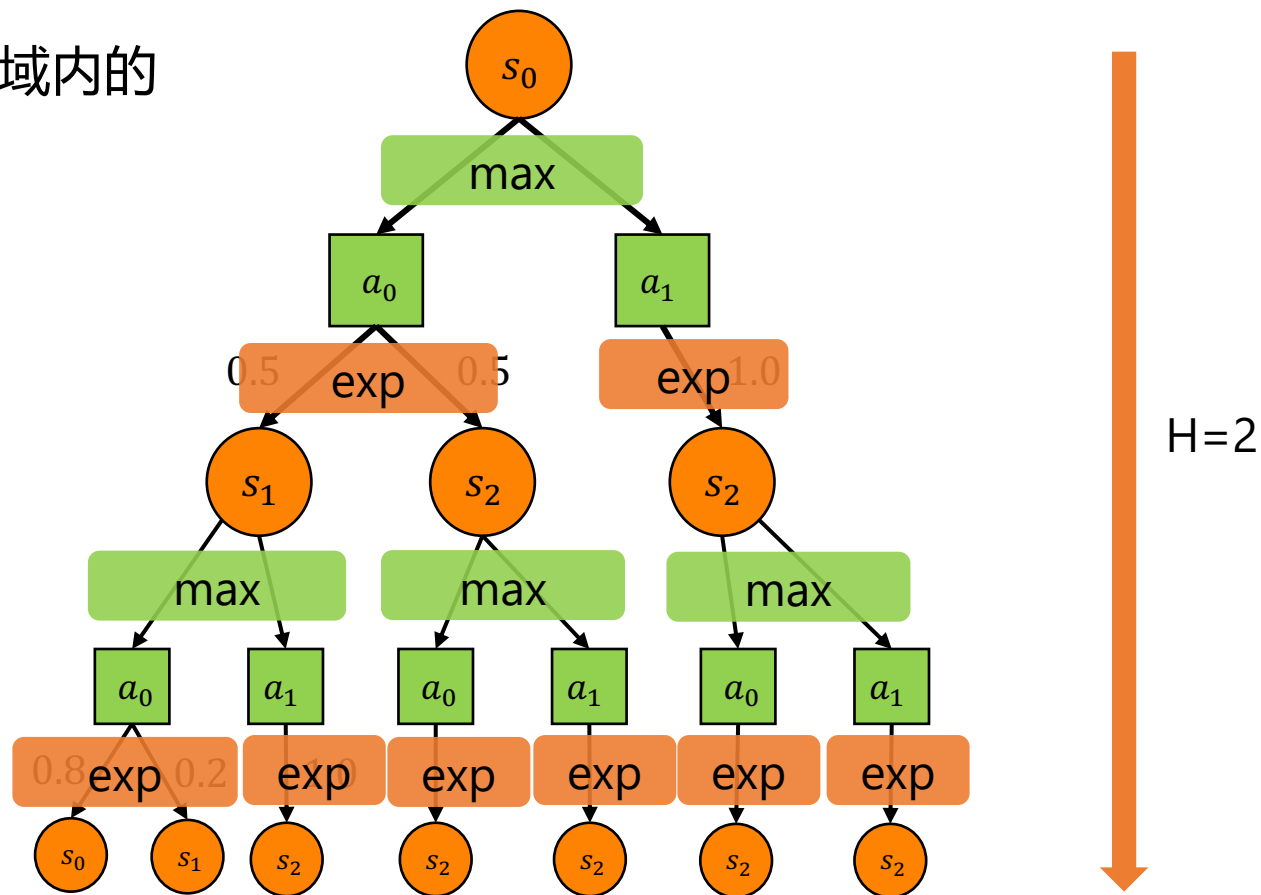
- 为所有未来可能遇到的状态计算了在时域内的最优策略，策略树可以运行 H 步

④ 缺点：

- 计算复杂度：

$$O(|A|^H |S|^H)$$

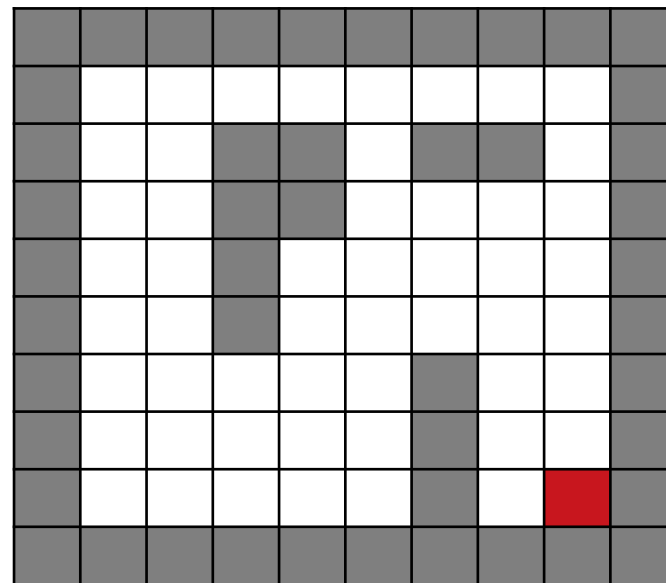
- 对于示例问题：重复的分支太多



$$V^*(s) = \max_a R(s, a) + \sum_{s'} T(s, a, s') V^*(s')$$

MDP规划问题（例）

- ④ 机器人的工作空间是一个 10x10 栅格：
 - 灰色代表障碍物
 - 终点在右下角
 - 到达终点取得+1奖励，其余时间没有奖励
- ④ 没有障碍物的情况下，机器人在每一步可以选择移动到相邻4个格子，成功率为3/4。失败时，机器人会以同等的概率滑到其他3个格子。
- ④ 机器人也可以选择停在原地不动
- ④ $\gamma = 0.9$



S?
A?
T?
R?

MDP规划问题 (例)

④ 值迭代 (Value Iteration)

- 初始化时, 对所有状态 s 赋值:

$$V^0(s) = 0$$

- 每次迭代时, 对所有状态 s 计算:

$$V^t(s) = \max_a R(s, a) + \gamma \sum_{s'} T(s, a, s') V^{t-1}(s')$$

- 迭代至所有 $V(s)$ 收敛

Iteration 50

0	0	0	0	0	0	0	0	0	0
0	0.44	0.54	0.59	0.82	1.15	0.85	1.09	1.52	0
0	0.59	0.69	0	0	1.52	0	0	2.13	0
0	0.75	0.90	0	0	2.12	2.55	2.98	3.00	0
0	0.95	1.18	0	2.00	2.70	3.22	3.80	3.88	0
0	1.20	1.55	1.87	2.41	2.92	3.51	4.52	5.00	0
0	1.15	1.47	1.74	2.05	2.25	0	5.34	6.47	0
0	0.99	1.26	1.49	1.72	1.74	0	6.69	8.44	0
0	0.74	0.99	1.17	1.34	1.27	0	7.96	9.94	0
0	0	0	0	0	0	0	0	0	0

如何提取最优策略?

动态规划算法的优缺点

④ 优点：

- 计算了所有未来可能遇到的状态在时域内的最优策略，策略树可以运行 H 步

④ 缺点：

- 计算复杂度：

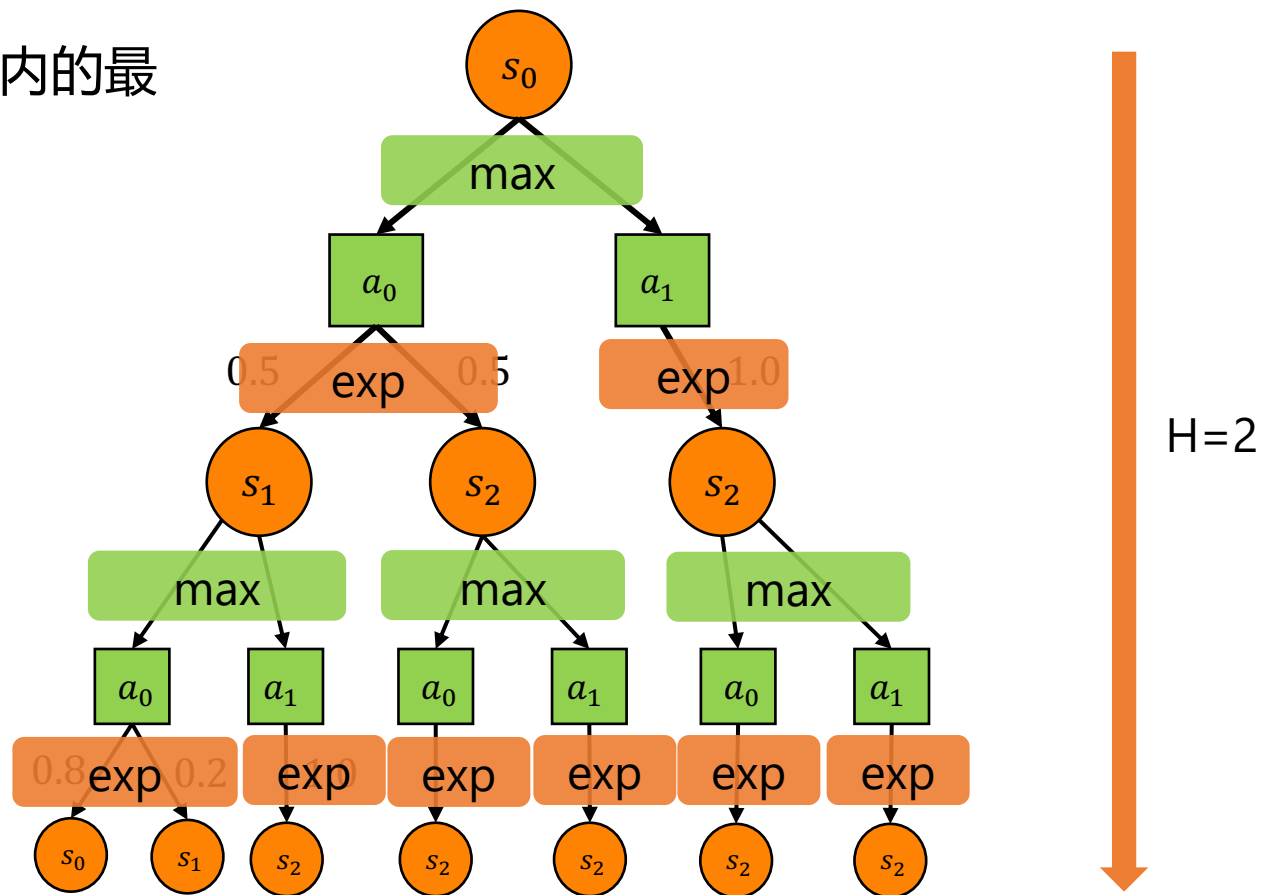
$$O(|A|^H |S|^H)$$

- 对于示例问题：重复的分支太多

-> 值迭代: $O(N|A||S|^2)$

- 对于自动驾驶问题：

- $|A|=?$
- $|S|=?$



$$V^*(s) = \max_a R(s, a) + \sum_{s'} T(s, a, s') V^*(s')$$